UNIVERSIDAD DE HUANUCO

FACULTAD DE INGENIERIA PROGRAMA ACADÉMICO DE INGENIERIA CIVIL



TESIS

"Evaluación de la resistencia a la flexión sometido a altas temperaturas de vigas de concreto elaborado con 1% de fibra de vidrio para un f´c=210kg/cm2 en la ciudad de Huánuco – 2023"

PARA OPTAR EL TÍTULO PROFESIONAL DE INGENIERO CIVIL

AUTOR: Isidro Salazar, Rosamel Abel

ASESOR: Taboada Trujillo, William Paolo

HUÁNUCO – PERÚ 2025









TIPO DEL TRABAJO DE INVESTIGACIÓN:

- Tesis (X)
- Trabajo de Suficiencia Profesional()
- Trabajo de Investigación ()
- Trabajo Académico ()

LÍNEAS DE INVESTIGACIÓN: Estructuras AÑO DE LA LÍNEA DE INVESTIGACIÓN (2020)

CAMPO DE CONOCIMIENTO OCDE:

Área: Ingeniería, Tecnología Sub área: Ingeniería civil Disciplina: Ingeniería civil DATOS DEL PROGRAMA:

Nombre del Grado/Título a recibir: Título

Profesional de Ingeniero Civil Código del Programa: P07 Tipo de Financiamiento:

- Propio (X)UDH ()
- Fondos Concursables ()

DATOS DEL AUTOR:

Documento Nacional de Identidad (DNI): 42889200

DATOS DEL ASESOR:

Documento Nacional de Identidad (DNI): 40847625 Grado/Título: Doctor en medio ambiente y desarrollo

sostenible

Código ORCID: 0000-0002-4594-1491

DATOS DE LOS JURADOS:

N°	APELLIDOS Y NOMBRES	GRADO	DNI	Código ORCID
1	Jara Trujillo, Alberto Carlos	Maestro en ingeniería, con mención en gestión ambiental y desarrollo sostenible	41891649	0000-0001- 8392-1769
2	Verastegui Ayala, Yessica Julia	Maestro en ciencias con mención en ingeniería de transportes	43962020	0000-0002- 4387-5013
3	Trujillo Ariza, Yelen Lisseth	Maestro en medio ambiente y desarrollo sostenible, mención en gestión ambiental	70502371	0000-0002- 5650-3745



UNIVERSIDAD DE HUANUCO

Facultad de Ingeniería

PROGRAMA ACADÉMICO DE INGENIERÍA CIVIL

ACTA DE SUSTENTACIÓN DE TESIS PARA OPTAR EL TÍTULO PROFESIONAL DE INGENIERO(A)

CIVIL

En la ciudad de Huánuco, siendo las 17:00 horas del día martes 04 de marzo de 2025, en cumplimiento de lo señalado en el Reglamento de Grados y Títulos de la Universidad de Huánuco, se reunieron los Jurados Calificadores integrado por los docentes:

*	MG. ALBERTO CARLOS JARA TRUJILLO	PRESIDENTE
*	MG. YESSICA JULIA VERASTEGUI AYALA	SECRETARIA
*	MG. YELEN LISSETH TRUJILLO ARIZA	VOCAL

Nombrados mediante RESOLUCIÓN No 0337-2025-D-FI-UDH, para evaluar la Tesis intitulada: "EVALUACIÓN DE LA RESISTENCIA A LA FLEXIÓN SOMETIDO A ALTAS TEMPERATURAS DE VIGAS DE CONCRETO ELABORADO CON 1% DE FIBRA DE VIDRIO PARA UN F'C=210KG/CM2 EN LA CIUDAD DE HUÁNUCO – 2023", presentado por el (la) Bachiller. Bach. Rosamel Abel ISIDRO SALAZAR, para optar el Título Profesional de Ingeniero(a) Civil.

Dicho acto de sustentación se desarrolló en dos etapas: exposición y absolución de preguntas: procediéndose luego a la evaluación por parte de los miembros del Jurado.

Habiendo absuelto las objeciones que le fueron formuladas por los miembros del Jurado y de conformidad con las respectivas disposiciones reglamentarias, procedieron a deliberar y calificar, declarándolo(a) APROBADO.... por ...MAYORIA... con el calificativo cuantitativo de .1.1....... y cualitativo de .SUFICIENTE. (Art. 47).

Siendo las .../२:50... horas del día 04 del mes de marzo del año 2025, los miembros del Jurado Calificador firman la presente Acta en señal de conformidad.

MG. ALBERTO CARLOS JARA TRUJILLO

DNI: 41891649 ORCID: 0000-0001-8392-1769

PRESIDENTE

MG. YESSICA JULIA VERASTEGUI AYALA DNI: 43962020

ORCID: 0000-0002-4387-5013

SECRETARIO (A)

MG. YELEN LISSET TRUJILLO ARIZA

DNI: 70502371 ORCID: 0000-0002-5650-3745

VOCAL



UNIVERSIDAD DE HUÁNUCO



CONSTANCIA DE ORIGINALIDAD

El comité de integridad científica, realizó la revisión del trabajo de investigación del estudiante: ROSAMEL ABEL ISIDRO SALAZAR, de la investigación titulada "Evaluación de la resistencia a la flexión sometido a altas temperaturas de vigas de concreto elaborado con 1% de fibra de vidrio para un F´C=210kg/cm2 en la ciudad de Huánuco - 2023", con asesor(a) WILLIAM PAOLO TABOADA TRUJILLO, designado(a) mediante documento: RESOLUCIÓN Nº 2115-2022-D-FI-UDH del P. A. de INGENIERÍA CIVIL.

Puede constar que la misma tiene un índice de similitud del 25 % verificable en el reporte final del análisis de originalidad mediante el Software Turnitin.

Por lo que concluyo que cada una de las coincidencias detectadas no constituyen plagio y cumple con todas las normas de la Universidad de Huánuco.

Se expide la presente, a solicitud del interesado para los fines que estime conveniente.

Huánuco, 21 de noviembre de 2024



RICHARD J. SOLIS TOLEDO D.N.I.: 47074047 cod. ORCID: 0000-0002-7629-6421 RASPONIANBLE CONTRACTOR

FERNANDO F. SILVERIO BRAVO D.N.I.: 40618286 cod. ORCID: 0009-0008-6777-3370

20. ISIDRO SALAZAR, ROSAMEL ABEL.docx

INFORME DE ORIGINALIDAD

INDICE DE SIMILITUD

25%

FUENTES DE INTERNET

PUBLICACIONES

TRABAJOS DEL **ESTUDIANTE**

FUENTES PRIMARIAS

hdl.handle.net Fuente de Internet

repositorio.udh.edu.pe

Fuente de Internet

repositorio.unheval.edu.pe

Fuente de Internet

repositorio.ucv.edu.pe

Fuente de Internet

1library.co

Fuente de Internet



RICHARD J. SOLIS TOLEDO D.N.I.: 47074047

cod. ORCID: 0000-0002-7629-6421



FERNANDO F. SILVERIO BRAVO D.N.I.: 40618286

cod. ORCID: 0009-0008-6777-3370

DEDICATORIA

A mis amados padres, cuyo amor sin límites y apoyo constante han sido el eje que ha guiado cada paso de mi camino académico, les dedico este trabajo con profundo agradecimiento. Sus sacrificios, enseñanzas y valores han sido la inspiración detrás de cada logro alcanzado.

A mis queridos seres queridos, quienes han estado a mi lado en cada desafío y triunfo, les dedico este trabajo con gratitud. Su aliento, comprensión y cariño han sido mi mayor fortaleza en este viaje.

A mis entrañables amigos, cuya presencia ha llenado de alegría y compañerismo cada momento de mi experiencia universitaria, les dedico este trabajo con afecto. Su apoyo incondicional y complicidad han enriquecido mi vida de innumerables maneras.

AGRADECIMIENTOS

Quiero expresar mi más sincero agradecimiento a la Universidad por brindarme el privilegio de cursar mis estudios universitarios en esta prestigiosa institución. La excelencia académica, el compromiso con la innovación y el ambiente de aprendizaje enriquecedor han sido fundamentales en mi formación integral.

Agradezco profundamente a mis estimados docentes por su dedicación y pasión por la enseñanza. Su guía experta y sus enseñanzas han sido la base sobre la cual he construido mi conocimiento y habilidades. Cada lección impartida ha dejado una marca indeleble en mi formación académica y personal.

A mi respetado asesor, le debo un especial reconocimiento por su orientación experta y su apoyo imperecedero a lo largo de la realización de este trabajo. Sus conocimientos, consejos y motivación son cruciales para alcanzar los objetivos propuestos y superar los desafíos encontrados en el camino.

ÍNDICE

DEDICATORIA	II
AGRADECIMIENTOS	III
ÍNDICE	IV
ÍNDICE DE TABLAS	VII
ÍNDICE DE FIGURAS	IX
RESUMEN	X
ABSTRACT	XI
INTRODUCCIÓN	XII
CAPITULO I	14
PROBLEMA DE INVESTIGACIÓN	14
1.1. DESCRIPCIÓN DEL PROBLEMA	14
1.2. FORMULACIÓN DEL PROBLEMA	15
1.2.1. PROBLEMA GENERAL	15
1.2.2. PROBLEMAS ESPECÍFICOS	
1.3. OBJETIVOS	16
1.3.1. OBJETIVO GENERAL	16
1.3.2. OBJETIVOS ESPECÍFICOS	16
1.4. JUSTIFICACIÓN DE LA INVESTIGACIÓN	
1.4.1. JUSTIFICACIÓN TEÓRICA	16
1.4.2. JUSTIFICACIÓN PRÁCTICA	17
1.4.3. JUSTIFICACIÓN SOCIAL	18
1.5. LIMITACIONES DE LA INVESTIGACIÓN	19
1.6. VIABILIDAD DE LA INVESTIGACIÓN	19
CAPITULO II	20
MARCO TEÓRICO	20
2.1. ANTECEDENTES DE LA INVESTIGACIÓN	20
2.1.1. ANTECEDENTES INTERNACIONALES	20
2.1.2. ANTECEDENTES NACIONALES	21
2.1.3. ANTECEDENTES LOCALES	22
2.2. BASES TEÓRICAS	24
2.2.1. CONCRETO	24
2.2.2. AGUA	24

2.2.3	3.	AGREGADOS	.25
2.2.4	1.	AGREGADO FINO	.25
2.2.5	5.	AGREGADO GRUESO	.25
2.2.6	6.	ENSAYO DE LA RESISTENCIA A LA FLEXIÓN	.25
2.2.7	7.	CALOR EN EL CONCRETO	.27
2.2.8	3.	CAMBIOS FÍSICOS DEL CONCRETO AL SER SOMETIDO A	\
ALT	AS	TEMPERATURAS	.27
2.2.9	9.	MICRO FISURAS Y CUARTEADURAS EN MAPA	.27
2.2.1	10.	DESINTEGRACIÓN POR FATIGA	.27
2.2.1	11.	COLORACIÓN	.27
2.2.1	12.	CALCINACIÓN INCIPIENTE	.28
2.2.1	13.	CALCINACIÓN SUPERFICIAL	.28
2.2.1	14.	FIBRAS	.29
2.3. I	DEF	FINICIONES CONCEPTUALES	.33
2.4. I	HIP	ÓTESIS	.35
2.4.1	۱.	HIPÓTESIS GENERAL	.35
2.4.2	2.	HIPÓTESIS ESPECÍFICOS	.35
2.5.	VAF	RIABLES	.36
2.5.1	۱.	VARIABLE DEPENDIENTE	.36
2.5.2	2.	VARIABLE INDEPENDIENTE	.36
		ERACIONALIZACIÓN DE VARIABLES	
CAPITUI	LO	III	.38
METOD	OLC	OGIA DE LA INVESTIGACIÓN	.38
3.1.	TIP	O DE INVESTIGACIÓN	.38
3.1.1	۱.	ENFOQUE	.38
3.1.2	2.	ALCANCE O NIVEL	.38
3.1.3	3.	DISEÑO	.38
3.2. I	POE	BLACIÓN Y MUESTRA	.39
3.2.1	۱.	POBLACIÓN	.39
3.2.2	2.	MUESTRA	.39
3.3.	TÉC	CNICAS E INSTRUMENTOS DE RECOLECCIÓN DE DATOS	.39
3.3.1	۱.	TÉCNICA	.39
3.3.2	2.	INSTRUMENTOS	.40
3.3.3	3.	FICHAS DE EVALUACIÓN Y OBSERVACIÓN	.40

3.4. TÉCNICAS PARA EL PROCESAMIENTO Y ANÁLISIS DE LA	
INFORMACIÓN	40
3.4.1. TÉCNICAS DE PROCESAMIENTO	40
3.4.2. ANÁLISIS DE LA INFORMACIÓN	40
CAPITULO IV	41
RESULTADOS	41
4.1. PROCESAMIENTO DE DATOS	41
4.2. CONTRASTACIÓN Y PRUEBA DE HIPÓTESIS	50
4.2.1. HIPÓTESIS GENERAL	50
4.2.2. HIPÓTESIS ESPECIFICA 1	53
4.2.3. HIPÓTESIS ESPECIFICA 2	56
4.2.4. HIPÓTESIS ESPECIFICA 3	59
CAPITULO V	63
DISCUSIÓN DE RESULTADOS	63
5.1. PRESENTACIÓN DE LA CONTRASTACIÓN DE LOS	
RESULTADOS DEL TRABAJO DE INVESTIGACIÓN	63
CONCLUSIONES	66
RECOMENDACIONES	68
REFERENCIAS BIBLIOGRÁFICAS	70
ANEXOS	76

ÍNDICE DE TABLAS

Tabla 1 Influencia de la Temperatura Sobre la Coloración y Pérdida de
Resistencia del Concreto28
Tabla 2 Principales propiedades de la fibra de vidrio33
Tabla 3 Cantidad de muestras a realizar39
Tabla 4 Ensayo a flexión del concreto convencional a 7 días41
Tabla 5 Ensayo a flexión del concreto convencional a 14 días41
Tabla 6 Ensayo a flexión del concreto convencional a 28 días42
Tabla 7 Media y desviación estándar42
Tabla 8 Ensayo a flexión al 1% con fibra de vidrio expuesto a 120°C a 7 días
Tabla 9 Ensayo a flexión al 1% con fibra de vidrio expuesto a 120°C a 14 días44
Tabla 10 Ensayo a flexión al 1% con fibra de vidrio expuesto a 120°C a 28
días44
Tabla 11 Media y desviación estándar44
Tabla 12 Ensayo a flexión al 1% con fibra de vidrio expuesto a 150°C a 7
días
Tabla 13 Ensayo a flexión al 1% con fibra de vidrio expuesto a 150°C a 14 días46
Tabla 14 Ensayo a flexión al 1% con fibra de vidrio expuesto a 150°C a 28
días46
Tabla 15 Media y desviación estándar46
Tabla 16 Ensayo a flexión al 1% con fibra de vidrio expuesto a 170°C a 7
días47
Tabla 17 Ensayo a flexión al 1% con fibra de vidrio expuesto a 170°C a 14
días48
Tabla 18 Ensayo a flexión al 1% con fibra de vidrio expuesto a 170°C a 28
días48
Tabla 19 Media y desviación estándar48
Tabla 20 Comparación de resultados del concreto convencional y a
diferentes temperaturas50
Tabla 21 Comparación de del ensavo a flexión del concreto convencional v

del promedio al 1% con fibra de vidrio expuesto a 120°C, 150°C y 170°C	J51
Tabla 22 Pruebas de normalidad de ambos grupos	52
Tabla 23 Prueba "t" evaluada en las muestras relacionadas	52
Tabla 24 Comparación de resultados del concreto convencional y a	
temperatura de 120°C	53
Tabla 25 Comparación de del ensayo a flexión del concreto convencion	al y
con 1% con fibra de vidrio expuesto a 120°C	54
Tabla 26 Pruebas de normalidad de ambos grupos	55
Tabla 27 Prueba t evaluada en las muestras relacionadas	55
Tabla 28 Comparación de resultados del concreto convencional y a	
temperatura de 150°C	56
Tabla 29 Comparación de del ensayo a flexión del concreto convencion	al y
con 1% con fibra de vidrio expuesto a 150°C	57
Tabla 30 Pruebas de normalidad de ambos grupos	58
Tabla 31 Prueba t evaluada en las muestras relacionadas	58
Tabla 32 Comparación de resultados del concreto convencional y a	
temperatura de 170°C	59
Tabla 33 Comparación de del ensayo a flexión del concreto convencion	al y
con 1% con fibra de vidrio expuesto a 170°C	60
Tabla 34 Pruebas de normalidad de ambos grupos	61
Tabla 35 Prueba t evaluada en las muestras relacionadas	61

ÍNDICE DE FIGURAS

Figura 1 Máquina de rotura	.26
Figura 2 Coloración y daño del concreto expuesto a rangos de temperatura	129
Figura 3 Fibras con distintas morfologías	.29
Figura 4 Ensayo a flexión del concreto convencional a 28 días	.43
Figura 5 Ensayo a flexión al 1% con fibra de vidrio expuesto a 120°C a 28	
días	.45
Figura 6 Ensayo a flexión al 1% con fibra de vidrio expuesto a 150°C a 28	
días	.47
Figura 7 Ensayo a flexión al 1% con fibra de vidrio expuesto a 170°C a 28	
días	.49
Figura 8 Comparación de los resultados de laboratorio	.51
Figura 9 Comparación de los resultados de laboratorio	.54
Figura 10 Comparación de los resultados de laboratorio	.57
Figura 11 Comparación de los resultados de laboratorio	.60

RESUMEN

El presente trabajo de investigación se centra en el análisis de la resistencia a la flexión y su comportamiento adverso bajo condiciones de altas temperaturas en vigas de concreto reforzado con un 1% de fibra de vidrio, con una resistencia característica a la compresión f'c=210 kg/cm². A lo largo del estudio, se llevó a cabo una serie de exámenes y análisis para evaluar cómo la inclusión de fibra de vidrio afecta la capacidad de las vigas de concreto para resistir cargas de flexión y cómo esta resistencia se ve comprometida cuando se exponen a altas temperaturas. Los resultados obtenidos revelan una disminución significativa en la resistencia a la flexión de las vigas de concreto con fibra de vidrio cuando son sometidas a condiciones de calor extremo. Esta disminución sugiere una vulnerabilidad del material ante la exposición a altas temperaturas, lo que plantea preocupaciones sobre la integridad estructural y la seguridad de las construcciones en entornos con riesgos térmicos. Para abordar estos desafíos, se proponen diversas recomendaciones, entre las que se incluyen el estudio detallado de los mecanismos de degradación que operan bajo condiciones térmicas extremas, la optimización de la composición del concreto mediante ajustes en la proporción y tipo de fibras de vidrio, y el desarrollo de métodos adicionales de refuerzo que puedan mejorar la capacidad de las vigas para resistir cargas de flexión en situaciones de calor intenso. En conclusión, este trabajo de investigación ofrece una visión integral sobre los desafíos asociados con la resistencia a la flexión de vigas de concreto reforzado con fibra de vidrio en condiciones de altas temperaturas, y propone medidas para mejorar la seguridad y durabilidad de las estructuras en entornos con riesgos térmicos.

Palabras claves: Fibra de vidrio, flexión, altas temperaturas, vigas, concreto.

ABSTRACT

The present research work focuses on the analysis of the flexural resistance and its adverse behavior under high temperature conditions in concrete beams reinforced with 1% fiberglass, with a characteristic compression resistance f'c= 210kg/cm². Throughout the study, a series of experiments and analyzes were carried out to evaluate how the inclusion of fiberglass affects the ability of concrete beams to resist bending loads and how this resistance is compromised when exposed to high temperatures. The results obtained reveal a significant decrease in the flexural strength of concrete beams with fiberglass when they are subjected to extreme heat conditions. This decrease suggests a vulnerability of the material to exposure to high temperatures, raising concerns about the structural integrity and safety of buildings in thermally hazardous environments. To address these challenges, various recommendations are proposed, including detailed study of degradation mechanisms operating under extreme thermal conditions, optimization of concrete composition through adjustments in the proportion and type of glass fibers, and the development of additional strengthening methods that can improve the ability of beams to resist bending loads in situations of intense heat. In conclusion, this research work offers a comprehensive view on the challenges associated with the flexural strength of fiberglass reinforced concrete beams under high temperature conditions, and proposes measures to improve the safety and durability of structures in environments with thermal risks.

Keywords: Fiberglass, bending, high temperatures, beams, concrete.

INTRODUCCIÓN

El diseño y la construcción de estructuras resistentes y duraderas son aspectos cruciales en ingeniería civil, especialmente en entornos expuestos a condiciones extremas. En este contexto, la investigación se enfoca en un componente esencial de las estructuras de concreto: la resistencia a la flexión de vigas elaboradas con un 1% de fibra de vidrio y con una resistencia característica a la compresión f'c=210 kg/cm². Este estudio tiene como objetivo examinar de manera detallada cómo la inclusión de fibra de vidrio afecta la capacidad de las vigas para resistir cargas de flexión y, particularmente, cómo este rendimiento se ve afectado negativamente al someter el material a altas temperaturas.

La fibra de vidrio, conocida por sus propiedades de refuerzo y mejora de la tenacidad del concreto, ha sido objeto de interés en el desarrollo de materiales estructurales avanzados. Sin embargo, la exposición a condiciones térmicas elevadas plantea desafíos significativos que requieren una comprensión profunda de las interacciones entre la fibra de vidrio y la matriz de concreto, así como de los efectos resultantes en la resistencia a la flexión de las vigas.

La importancia de este estudio radica en la creciente necesidad de construir estructuras que puedan resistir eventos extremos, como incendios o altas temperaturas ambientales. La resistencia a la flexión es esencial para mantener la estabilidad y la integridad de las estructuras, y comprender cómo la fibra de vidrio afecta este aspecto bajo condiciones térmicas adversas es importante para garantizar la seguridad y la durabilidad de las construcciones modernas.

A medida que avanzamos hacia enfoques constructivos más avanzados y sostenibles, la investigación sobre el comportamiento de materiales específicos, como el concreto reforzado con fibra de vidrio, se vuelve esencial para impulsar innovaciones en el diseño estructural. Este trabajo busca contribuir a la base de conocimientos existente, proporcionando información valiosa que pueda orientar futuros desarrollos en el campo de la ingeniería

civil y la construcción de infraestructuras resilientes ante diversos escenarios
ambientales.

CAPITULO I

PROBLEMA DE INVESTIGACIÓN

1.1. DESCRIPCIÓN DEL PROBLEMA

A nivel internacional, la creciente demanda de vigas elaboradas con fibra de vidrio en diversas aplicaciones estructurales ha impulsado la necesidad de abordar el problema de la resistencia a la flexión bajo altas temperaturas. Lockuan y La Peña (2020), en su investigación añade fibra de vidrio en diferentes porcentajes donde obtiene resultados positivos con respecto a su comportamiento mecánica tanto a flexión y compresión, a esto se suma que la fibra de vidrio hace que el concreto sea más ligero. El uso de fibras de vidrio ha sido ampliamente adoptada en la construcción de infraestructuras, componentes aeroespaciales y equipamientos industriales. Existen estudios que demuestran que al añadir fibra de vidrio al concreto vigas y son sometidas a temperaturas elevadas debido a incendios, condiciones ambientales extremas o procesos industriales, experimentan una mejora relativa en sus propiedades mecánicas. Desde una perspectiva estructura, el desafío radica en desarrollar soluciones que permitan mejorar la resistencia a la flexión de las vigas de fibra de vidrio en condiciones de alta temperatura, sin comprometer su rendimiento en condiciones normales. La necesidad de normas internacionales, guías de diseño y estándares de calidad para vigas de fibra de vidrio resilientes a altas temperaturas se ha convertido en una prioridad para asegurar la seguridad y la confiabilidad de las estructuras y equipos a escala mundial.

De la misma manera a nivel nacional, ingenieros, investigadores y expertos en materiales están trabajando para abordar el problema de la resistencia a la flexión de vigas de fibra de vidrio bajo altas temperaturas. En muchas regiones del Perú la fibra de vidrio se ha utilizado para reemplazar materiales tradicionales en diversas aplicaciones debido a su durabilidad y resistencia a la corrosión. Sin embargo, la falta de conocimientos técnicos y desarrollos específicos para enfrentar el deterioro en las propiedades mecánicas en ambientes de alta temperatura ha restringido su uso en

aplicaciones cruciales, como en estructuras de edificios, puentes y en la industria petroquímica. Por lo que se requiere investigación en ingeniería de materiales para desarrollar compuestos de fibra de vidrio con mayor resistencia a la flexión bajo altas temperaturas, así como modelos de análisis estructural para evaluar el comportamiento estructural y térmico de las vigas. Los programas de colaboración entre universidades, empresas y agencias gubernamentales pueden impulsar la innovación y la adopción de tecnologías que permitan un mejor rendimiento de las vigas de fibra de vidrio en condiciones extremas.

En la ciudad de Huánuco, los ingenieros civiles enfrentan el desafío de diseñar y especificar vigas con fibra de vidrio que cumplan con los requisitos estructurales y operativos en condiciones térmicas extremas. La falta de conocimiento técnico especializado en el uso de materiales compuestos y en el análisis de comportamiento térmico de estas vigas puede llevar a soluciones inadecuadas y potencialmente riesgosas. También el otro problema es que la población busca que sus elementos estructurales sean más resistentes y si se pueden añadir más componentes esto ayudaría en gran medida. Por lo tanto, es necesario promover la capacitación y la colaboración entre profesionales de la ingeniería, empresas constructoras y fabricantes de materiales para asegurar que las vigas de fibra de vidrio sean utilizadas de manera segura y efectiva en contextos específicos.

1.2. FORMULACIÓN DEL PROBLEMA

1.2.1. PROBLEMA GENERAL

¿Cuál será la resistencia a la flexión sometido a altas temperaturas de vigas de concreto elaborado con 1% de fibra de vidrio para un f´c=210kg/cm2 en la ciudad de Huánuco – 2023?

1.2.2. PROBLEMAS ESPECÍFICOS

¿Cuál será la resistencia a la flexión a la temperatura de 120°C de vigas de concreto elaborado con 1% de fibra de vidrio para un f´c=210kg/cm2 en la ciudad de Huánuco – 2023?

¿Cuál será la resistencia a la flexión a la temperatura de 150°C de vigas de concreto elaborado con 1% de fibra de vidrio para un f´c=210kg/cm2 en la ciudad de Huánuco – 2023?

¿Cuál será la resistencia a la flexión a la temperatura de 170°C de vigas de concreto elaborado con 1% de fibra de vidrio para un f´c=210kg/cm2 en la ciudad de Huánuco – 2023?

1.3. OBJETIVOS

1.3.1. OBJETIVO GENERAL

Determinar la resistencia a la flexión sometido a altas temperaturas de vigas de concreto elaborado con 1% de fibra de vidrio para un f´c=210kg/cm2 en la ciudad de Huánuco – 2023.

1.3.2. OBJETIVOS ESPECÍFICOS

Determinar la resistencia a la flexión a la temperatura de 120°C de vigas de concreto elaborado con 1% de fibra de vidrio para un f´c=210kg/cm2 en la ciudad de Huánuco – 2023.

Determinar la resistencia a la flexión a la temperatura de 150°C de vigas de concreto elaborado con 1% de fibra de vidrio para un f´c=210kg/cm2 en la ciudad de Huánuco – 2023.

Determinar la resistencia a la flexión a la temperatura de 170°C de vigas de concreto elaborado con 1% de fibra de vidrio para un f´c=210kg/cm2 en la ciudad de Huánuco – 2023.

1.4. JUSTIFICACIÓN DE LA INVESTIGACIÓN

1.4.1. JUSTIFICACIÓN TEÓRICA

La resistencia a flexión de las vigas es un parámetro crítico en el diseño y construcción de estructuras, ya que garantiza su estabilidad y capacidad de carga. Las normas que utilizaremos definen los procedimientos y criterios para llevar a cabo pruebas y ensayos que

evalúen la resistencia a la flexión de las vigas de fibra de vidrio bajo altas temperaturas. La estandarización asegura que los resultados sean comparables y consistentes, facilitando la toma de decisiones y la selección adecuada de materiales y diseños en diferentes proyectos y aplicaciones. Las normas brindan un incentivo para la investigación y el desarrollo de soluciones que mejoren la resistencia a la flexión de las vigas de fibra de vidrio en condiciones de alta temperatura.

La presente investigación contó con antecedentes relacionadas al tema de estudio que analizan de manera experimental la propiedad mecánica de flexión en vigas; así mismo se contó con normativas nacionales como las normas técnicas peruanas NTP 339.088 para ver el control de calidad del agua para realizar el diseño de mezcla, así mismo se tomó en consideración la NTP 400.037 para los agregados finos y gruesos donde estos deben ser considerados para una adecuada selección, así como para el diseño de mezcla. De la misma manera se tomó en cuenta la NTP 339.059 y la NTP 339.079 que nos indicó el procedimiento de cómo se realizará el ensayo a flexión de vigas para nuestra investigación, esto nos permitió que nuestro ensayo en laboratorio sea el más correcto.

1.4.2. JUSTIFICACIÓN PRÁCTICA

Desde una perspectiva practica la mejora de la resistencia a la flexión de vigas de fibra de vidrio sometidas a altas temperaturas garantiza una mayor seguridad y durabilidad en las estructuras donde se utilizan. Se demostró que al reforzar la capacidad de carga y resistencia mecánica de estas vigas en condiciones térmicas extremas, se reducen significativamente los riesgos de fallas y colapsos catastróficos, protegiendo así la integridad de las infraestructuras y la vida humana, por lo que para poder cumplir se tuvo que realizar estudios que servirán para obtener los datos reales, estos estudios fueron primeramente para evaluar la calidad de los materiales que componen el concreto como el ensayo de desgaste de los ángeles, la granulometría de los agregados tanto finos y gruesos así como además garantizar la calidad del agua

para una adecuada dosificación del concreto; posteriormente las muestras de vigas tanto con adición de 1% de fibra de vidrio se le sometió a altas temperaturas de 120°C, 150°C y 170 °C para su análisis respectivo; posteriormente las muestras de vigas patrón y experimentales se les realizó los ensayos de rotura a flexión siguiendo los parámetros establecidos según las normas técnicas peruanas.

1.4.3. JUSTIFICACIÓN SOCIAL

La investigación sobre la adición de fibra de vidrio a las vigas de concreto y su comportamiento bajo altas temperaturas tiene un profundo impacto social positivo, ya que al mejorar la resistencia a la flexión de las vigas, se aumenta la seguridad estructural de edificaciones y otras infraestructuras, reduciendo el riesgo de colapso durante eventos extremos como incendios. Esto es crucial en áreas urbanas densamente pobladas y en infraestructuras críticas como hospitales, escuelas y edificios gubernamentales, donde la integridad estructural puede significar la diferencia entre la vida y la muerte. Al proporcionar mayor seguridad y estabilidad a las estructuras, se protegen vidas humanas y se garantiza el funcionamiento continuo de servicios esenciales en situaciones de emergencia. Además, esta investigación promueve el desarrollo sostenible y la innovación en la construcción. La utilización de fibra de vidrio, un material duradero y resistente, extiende la duración útil de las estructuras y disminuye la necesidad de arreglos frecuentes, lo que disminuye el consumo de recursos naturales y la generación de residuos. Esto contribuye a una construcción más sostenible y responsable con el medio ambiente. Paralelamente, la adopción de tecnologías avanzadas y materiales innovadores competitividad del sector, fomentando la creación de empleos especializados y mejorando la calidad de las construcciones. Estos avances no solo benefician económicamente a los propietarios y gobiernos locales mediante la reducción de costos de mantenimiento, sino que también fortalecen la confianza de la sociedad en la seguridad y durabilidad de las infraestructuras modernas.

1.5. LIMITACIONES DE LA INVESTIGACIÓN

No contar con normas relacionado con la fibra de vidrio, solo existen normas relacionado con el concreto.

El estudio se realizó netamente para el ensayo a flexión en vigas, así mismo el único material que se adicionó fue la fibra de vidrio.

1.6. VIABILIDAD DE LA INVESTIGACIÓN

Se cuenta con bibliografía necesario a nivel nacional, e internacional para realizar de manera positiva la investigación.

Se cuenta con los recursos económicos necesarios para realizar la investigación.

Se cuenta con laboratorios donde podemos realizar nuestros ensayos.

CAPITULO II

MARCO TEÓRICO

2.1. ANTECEDENTES DE LA INVESTIGACIÓN

2.1.1. ANTECEDENTES INTERNACIONALES

Ospina (2021) en la tesis titulada Análisis de concreto adicionado con residuos de llanta de caucho para la elaboración de prefabricados para urbanismo. La investigación tiene como principal objetivo Evaluar la factibilidad técnica de utilizar una mezcla de concreto con sustitución parcial del agregado fino por residuos de llantas de caucho para fabricar prefabricados en proyectos de urbanismo, con el objetivo de reducir el impacto ambiental. La investigación tiene como resultado en la resistencia a la flexión del concreto con adición de (10,20 y 30) % de caucho obtuvo como resultados promedio después de los 28 días, (2,07 – 1,94 – 1,71) MPa. La investigación concluyó que el caucho mezclado con hormigón tiene un alto impacto negativo en la resistencia a la flexión, lo que restringe el porcentaje de caucho a proporciones bajas para mitigar el riesgo de proyectos que necesitan una buena resistencia a la flexión.

Figueroa y Bello (2018), en la tesis titulada Evaluación y diagnóstico de la resistencia a compresión y a flexión del concreto simple después de expuesto a 450° C. La investigación tiene como el objetivo principal es analizar cómo se comporta la resistencia a la compresión y flexión del concreto simple cuando está expuesto a una temperatura de 450°C. La investigación dio como resultados del concreto a flexión del concreto simple después de expuesto a 450°C dieron como resultados promedió en los días 7, 14 y 28 días (1.79, 4.2, 5.32) KN. La investigación concluye que a una temperatura promedio de 450°C, la presencia de fisuras y microfisuras hace que disminuya la resistencia a la flexión de cada elemento. La cantidad en la que disminuye la resistencia de cada elemento depende de la temperatura y el tiempo al que está expuesto.

Amaya y Ramírez (2019), en la tesis titulada evaluación del comportamiento mecánico del concreto reforzado con fibras. La investigación tiene como principal objetivo examinar el rendimiento mecánico del concreto reforzado con distintas fibras para identificar cuál material ofrece un mejor desempeño bajo pruebas de compresión y flexión. La investigación dio como resultados del concreto con adición de fibras de vidrio en el ensayo de resistencia a la flexión después de curado en 14 y 28 días dieron como resultado promedio (477,95 - 567,10) Psi. La investigación concluye que la agregación de fibra de vidrio en el concreto, mejora su resistencia a la flexión teniendo un incremento ligero respecto a las muestras patrón.

2.1.2. ANTECEDENTES NACIONALES

Meza (2019), en la tesis titulada evaluación de las propiedades mecánicas del concreto armado expuesto al fuego en intervalos de tiempos, Lambayeque; 2018. La investigación se centra en evaluar las propiedades mecánicas del concreto armado cuando se expone al fuego en diferentes intervalos de tiempo, con el fin de proponer mejoras. Tras 32 días de curado, se midió la resistencia a la flexión del concreto sometido a temperaturas de 15 minutos (550 - 650) °C, 30 minutos (650 - 750) °C y 60 minutos (750 - 850) °C, obteniendo resistencias promedio de 252, 240 y 230 Kg/cm², respectivamente. Los resultados muestran una disminución del 17% en el módulo de rotura después de 30 minutos de exposición al fuego y una reducción del 25% tras una hora.

Roque (2020), en la tesis titulada propiedades mecánicas del concreto de mediana resistencia sometido a altas temperaturas del fuego, Lima - 2019. La investigación busca evaluar cómo las altas temperaturas afectan las propiedades mecánicas del hormigón de mediana resistencia en Lima, 2019. Tras 7, 14 y 28 días de curado, se midió la resistencia a la flexión del concreto de 210 kg/cm² expuesto a 900°C, obteniendo valores de 24.27, 25.19 y 26.03 kg/cm² respectivamente. Se concluyó que este concreto, tras una hora a 900°C, reduce su resistencia en un 41.22%.

Román (2018), en la tesis titulada evaluación de efectos del fuego en componentes de concreto armado para determinar el grado de deterioro en sus propiedades mecánicas. La investigación tiene como objetivo determinar el grado de deterioro de las propiedades mecánicas en elementos del concreto armado causado por efectos del fuego. La investigación dio como resultados de la resistencia a la flexión del concreto 210 kg/cm² sometido a una temperatura de 150 y 350°C por un periodo de 1 y 2 horas, dio como resistencia promedio (30 – 27) Kg/cm² y (24 – 20) Kg/cm². La investigación concluye que la resistencia a la flexión del concreto 210 kg/cm² sometido a una temperatura de 150 y 350°C por un periodo de 1 y 2 horas, el concreto reduce su resistencia en un 9.99% y 16.39% para una temperatura de 150°C y para 350°C concreto reduce su resistencia en un 26.69% y 36.68%.

Lockuan y La Peña (2020), en la tesis titulada Influencia de la fibra de vidrio al 1%, 2% y 3% en las resistencias a la compresión y flexión del concreto f'c =210kg/cm² con respecto al agregado fino – Chimbote – 2020. La investigación tiene como objetivo determinar la influencia de la fibra de vidrio al 1%,2% y 3% en las resistencias a la compresión y flexión del concreto f'c =210kg/cm² con respecto al agregado fino – Chimbote - 2020. La investigación dio como resultados de la resistencia a la flexión del concreto 210 kg/cm² con adición de fibra de vidrio en un 0.5% dieron como resultados promedios en los 7,14 y 28 días (52.0 - 53.5 - 65.5) kg/cm², (58.5 - 64.5 - 64.5) kg/cm², (65.0 - 67.5 - 69.0) kg/cm². La investigación concluye que al usar fibra de vidrio aumenta su resistencia a la flexión esta aumenta hasta casi en 10%.

2.1.3. ANTECEDENTES LOCALES

Bonifacio (2021) en la tesis titulada evaluación de la resistencia a compresión y flexión del concreto incorporando fibras sintéticas de neumáticos - Huánuco 2020. Tiene como objetivo principal determinar la influencia de las fibras sintéticas de neumáticos en el concreto en comparación con el concreto convencional para f´c= 294 kg/cm². La investigación tiene como resultados en los ensayos de resistencia a la

flexión en los 7,14 y 28 días el concreto adicionado dio como resultados promedio de (36.08 – 38.85 – 45.62) kg/cm2, con 10% (29.86 – 36.23 – 37.15) kg/cm² y con 20% (29.86 – 36.23 – 37.15) kg/cm². La investigación concluye que la resistencia a la flexión no mejora con las fibras de caucho, pero a su vez el 5 % de fibras de caucho tiene un desempeño en su resistencia a la flexión que los 10 y 20% de fibras de caucho.

Flores (2020), en la tesis titulada determinar la resistencia a la flexión que alcanza el concreto reforzado con fibras de plástico PET reciclado en los pavimentos rígidos en la ciudad de Huánuco - 2019. El estudio tiene como objetivo mostrar el uso efectivo de los residuos de plástico PET generados en Huánuco. Se diseñó una mezcla de concreto con una resistencia de referencia de f'c=210 kg/cm². Comparando la resistencia a flexión del concreto normal f'c=210 kg/cm² reforzado con fibras PET tipo A y piedra ½, los resultados mostraron que las mezclas con 0.05%, 0.10% y 0.15% del volumen del espécimen no mejoran el concreto endurecido, reduciendo la resistencia en 1.81%, 5.73% y 7.11%, respectivamente, a los 28 días. Se concluye que el concreto f'c=210 kg/cm² reforzado con fibras PET, independientemente del tamaño de la piedra usada en pavimentos, mejora la resistencia si la fibra tiene mayor longitud. En esta investigación, se consideraron los tipos A (5mm x 25mm) y B (5mm x 50mm), siendo este último el que mejoró el módulo de rotura.

Duran y Velásquez (2019), En la tesis titulado resistencia a la flexión de vigas de concreto armado, reforzadas y reparadas adicionando barras de acero con aditivo epóxico, planteó como objetivo principal determinar si la resistencia a la flexión de las vigas de hormigón armado mejora cuando se reparan y refuerzan añadiendo armaduras con aditivos epóxico, donde obtuvo como resultados de la viga a flexión que estuvieron diseñadas a s/c=300 kg/cm² obtuvieron un momento ultimo de 13 tn.m, así mismo la viga diseñada s/c=300 kg/cm² y reforzada alcanza un momento ultimo de 18.585tn.m y la viga reparada alcanza un

momento ultimo de 18.560 tn.m; donde finalmente se concluye que las vigas reforzadas tienen un incremento de 42.961% más con respecto a las vigas sin reforzar y que las vigas reparadas tienen un incremento de 42.769% más con respecto a las vigas sin reforzar.

2.2. BASES TEÓRICAS

2.2.1. CONCRETO

2.2.1.1. DEFINICIÓN

Harmsen (2005), El concreto se compone principalmente de cemento, agregado fino (como arena) y agregado grueso (como piedra). Se utiliza un mortero a base de cemento, agua y arena para rellenar los espacios de vacíos y conectar las distintas partículas de los áridos gruesos. En realidad, este volumen es el resultado del uso extensivo de mortero para asegurar la formación de vacíos. Para obtener un hormigón de buena calidad, no basta con mezclar buenos materiales en las proporciones adecuadas. (pág. 11)

2.2.1.2. COMPONENTES DEL CONCRETO

Cemento

Abanto (2009), El cemento Portland es un producto comercial fácilmente disponible que puede usarse solo o mezclado con agua. Cuando se combina con arena, piedra u otras sustancias similares, reacciona con retraso con el agua para formar una masa sólida. Es un clinker finamente molido que se obtiene quemando a altas temperaturas una mezcla que contiene principalmente cal, alúmina, hierro y sílice en determinadas proporciones. (pág.15)

2.2.2. AGUA

Niño (2010), El elemento que hidratara las partículas de cemento y hace que progresen sus propiedades aglutinantes es el agua, que es un constituyente del hormigón. Dependiendo de que tanta agua que se

añada, la pasta que resulte de mezclarla con el cemento podrá quedar más fluida o menos fluida. Cuando la pasta fragua y se endurece, algo de agua (agua de hidratación) permanece en la estructura rígida de la pasta y el agua restante es evaporable. (pág.3)

2.2.3. AGREGADOS

Abanto (2009), Llamados también áridos, son materiales inertes que se mezclaran con los aglomerantes (cemento, cal,) y el agua formando los concretos y morteros. El hecho de que los agregados representen aproximadamente el 75% del volumen de una mezcla de concreto típica demuestra la importancia de los agregados. Por ello, es fundamental que los áridos tengan buena resistencia, durabilidad y durabilidad a la intemperie, así como que su superficie esté libre de contaminación como barro, limo y materia orgánica, que pueden disminuir la unión con la pasta de cemento. (pág. 23)

2.2.4. AGREGADO FINO

Según la NTP 400.037 (2018), Se considera como agregados finos a la piedra o arena natural finamente triturada, de dimensiones disminuidas y que pasan el tamiz 9 .5 mm (3/8"). Las arenas se forman debido a fragmentación natural de las rocas, y son transportadas por corrientes de aire o agua hasta acumularse en ciertos lugares. (pág. 6)

2.2.5. AGREGADO GRUESO

Según la NTP 400.037 (2018), El agregado grueso se refiere al material que queda atrapado en un tamiz de 4.75 mm (N° 4). Este material proviene de la desintegración, ya sea natural o mecánica, de las rocas, y puede incluir grava, piedra triturada, entre otros. (pág. 8)

2.2.6. ENSAYO DE LA RESISTENCIA A LA FLEXIÓN

CIP 16 (s/f.), Una forma de evaluar la resistencia a la tracción del hormigón es mediante su resistencia a la flexión. Este método mide cuánto puede soportar una viga o losa de hormigón no reforzado antes

de romperse, utilizando dimensiones de 6x6 pulgadas. Medimos las cargas sobre vigas de hormigón. sección transversal y una luz que es al menos tres veces más gruesa. La resistencia a la flexión se expresa como (MPa) y se decide mediante los procedimientos de prueba en la NTP 339.079. (pág.1). NTP 339.079 (2012), nos dice que, módulo de rotura se calculará mediante la siguiente fórmula:

En donde:

$$M_R = \frac{3PL}{2bh^2}$$

Mr: es el módulo de rotura, en MPa.

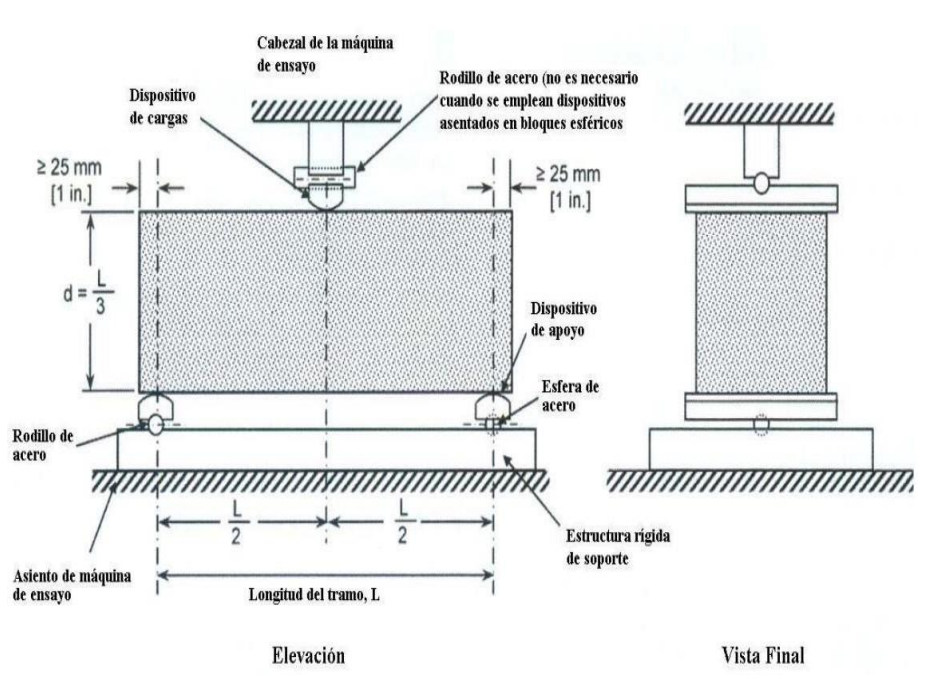
P: Es la carga máxima de rotura indicada por la máquina de ensayo, en N

L: Es la luz libre entre apoyos, en mm

b: Es el ancho promedio de la viga en la sección de falla, en mm h: Es la altura promedio de la viga en la sección de falla, en mm NOTA. El peso de la viga no está incluido en los cálculos antes detallados. (p.7)

Figura 1

Máquina de rotura



Nota. Se muestra la máquina para el ensayo. NTP 339.079,2012, p. 10

2.2.7. CALOR EN EL CONCRETO

Según Alomá y Malaver (2007), El calor es un tipo de energía que se transfiere a un sistema y su entorno como resultado de una diferencia de temperatura. Se requiere una diferencia de temperatura para que una interacción de energía se clasifique como calor. Como resultado, cuando dos sistemas están a la misma temperatura no hay transmisión de calor.

Pérez et al. (2023) El hormigón, gracias a su incombustibilidad y baja conductividad térmica, resiste bien altas temperaturas. A diferencia de materiales como el metal y la madera, no emite gases nocivos cuando se calienta. Además, su mayor masa y volumen aumentan su durabilidad. (pág. 4).

2.2.8. CAMBIOS FÍSICOS DEL CONCRETO AL SER SOMETIDO A ALTAS TEMPERATURAS

Figueroa y Bello (2018) nos menciona que, al exponerse a estas temperaturas, el concreto puede experimentar tanto cambios mecánicos como físicos, lo que puede resultar en fisuras y variaciones en su color.

2.2.9. MICRO FISURAS Y CUARTEADURAS EN MAPA

Producido por la contracción térmica del hormigón a altas temperaturas, lo que se interpreta en planos de rotura a lo largo de toda la estructura.

2.2.10. DESINTEGRACIÓN POR FATIGA

Cuando se expone a altas temperaturas durante un período prolongado de tiempo, se conoce como el desprendimiento de la superficie exterior del hormigón de una estructura.

2.2.11. COLORACIÓN

Como consecuencia de las elevadas temperaturas a las que está expuesta la estructura, la tonalidad interna y externa de la estructura cambia.

Tabla 1Influencia de la Temperatura Sobre la Coloración y Pérdida de Resistencia del Concreto

Temperatura (°C)	Color del concreto	Resistencia Residual
		(%)
20	Gris	100
200	Gris	95
300	Rosa	95
400	Rosa	80
500	Rosa	75
600	Rojo	55
900	Gris Rojizo	10
1000	Amarillo Anaranjado	0

Nota. En la siguiente tabla se detalla las perdidas posibles del concreto a temperaturas, Figueroa y Bello, 2018, p. 34.

2.2.12. CALCINACIÓN INCIPIENTE

Aunque la coloración del hormigón no cambia significativamente, todavía es posible detectar diminutas micro fisuras con forma de mapa debido a un cambio de tonalidad (color gris natural).

2.2.13. CALCINACIÓN SUPERFICIAL

Presenta fisuración térmica por alabeo (color rosa) y una ligera coloración amarillenta que puede dar lugar a la descarbonatación. (pág. 35)

Figura 2

Coloración y daño del concreto expuesto a rangos de temperatura

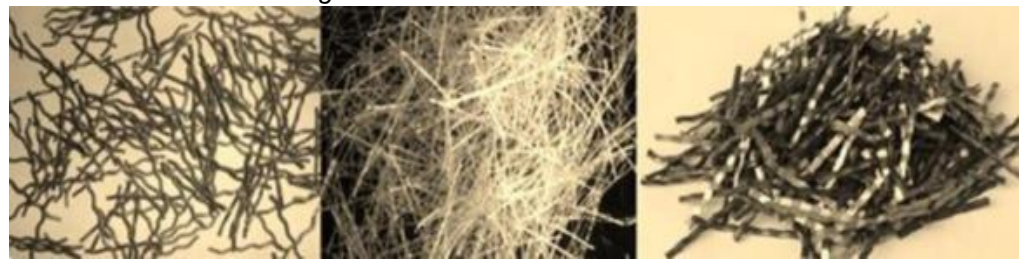
RANGO TEMPERATURA (°C)	COLORACIÓN SUPERFICIAL	DAÑO
0 – 300	Gris natural	Calcinación incipiente: Microfisuras y mapeo superficial
300 – 600	Rosado	Calcinación superficial: Fisuración térmica por alabeo y descarbonatación superficial
600 – 900	Gris claro	Calcinación avanzada: Descarbonatación profunda y pérdidas de masa por descascaramiento
> 900	Blanco o amarillo claro	Calcinación muy avanzada: Descarbonatación avanzada y pérdida de masa

Nota. Se muestra la coloración según la exposición a temperaturas, Meza Calderón, 2019, p. 30

2.2.14. FIBRAS

Hernández (2018), Las fibras son fundamentales en la construcción, especialmente como refuerzo en hormigón prefabricado, premezclado y proyectado. Se fabrican a partir de materiales diversos como vidrio, plástico o fibras naturales de celulosa de madera, y vienen en diferentes formas según su aplicación específica. Sus espesores oscilan entre 0,005 mm y 0,75 mm, y sus longitudes varían de 60 mm a 150 mm. Cuando se incorporan al concreto en volúmenes menores al 1 %, estas fibras ayudan a controlar las fisuras y, si se utilizan adecuadamente, mejoran la resistencia al agrietamiento. (p. 31)

Figura 3
Fibras con distintas morfologías



Nota. Se muestras las fibras de vidrio, Hernández, 2018, p. 31.

2.2.14.1. VENTAJAS Y DESVENTAJAS DEL USO DE FIBRAS

Hernández (2018), Las fibras tienden a distribuirse aleatoriamente durante el proceso de mezcla, lo que dificulta aguantar las cargas o tensiones aplicadas en direcciones El proceso de fabricación, que particulares. puede ser bidimensional o tridimensional, determinará principalmente la orientación de las fibras. Cuando el hormigón se coloca por proyección, la dirección de las fibras será bidimensional bajo esfuerzos de flexión o tracción, mientras que cuando el hormigón se mezcla utilizando mezcladores, la dirección de las fibras tenderá a tener una dirección tridimensional. Solo una pequeña parte de estas fibras se colocará correctamente para resistir las tensiones porque las fibras normalmente están en una posición o tienen un anclaje que raramente puede ofrecer una resistencia efectiva. Desde la perspectiva de la construcción, el uso de fibras no es un método muy preciso para aumentar la resistencia de los elementos de hormigón.

Por lo general, se usa en concreto proyectado, donde ha demostrado una disminución en el peso y la fuerza comparable a una extremidad blindada convencional mucho más gruesa. El uso principal del hormigón con fibras es en elementos de hormigón de espesor fino y formas irregulares, o donde el uso de armaduras es difícil de colocar por sus dimensiones o forma. (p. 32)

2.2.14.2. FIBRAS DE VIDRIO

Morales (2008), Entre los materiales compuestos, la fibra de vidrio se utiliza en ingeniería como material estructural. Estos materiales incorporan dos o más tipos de materiales fundamentales en alguna combinación.

Junto con la ductilidad de la matriz polimérica, se combina la resistencia de las fibras de vidrio de pequeño diámetro. Estos dos elementos trabajan juntos para producir un producto que es

superior a cualquiera de los elementos tomados por separado. (p. 1)

2.2.14.3. TIPOS DE FIBRA DE VIDRIO

Según Besednjak (2009), nos menciona los tipos de fibras de vidrio.

- ✓ A (alcalino): Es resistente a soluciones químicas y ácidas gracias a su elevado contenido de alcális, lo que proporciona una barrera efectiva contra estos agentes corrosivos. Sin embargo, estos altos niveles de alcális también tienen una desventaja significativa: reducen su resistencia al agua. En ambientes húmedos o cuando está en contacto prolongado con agua, el material tiende a degradarse, perdiendo sus propiedades iniciales. Debido a esta limitación, ha sido sustituido por el vidrio E en muchas aplicaciones. El vidrio E, o vidrio eléctrico, ofrece una mejor resistencia al agua mientras mantiene una buena tolerancia a los productos químicos y ácidos, lo que lo hace más adecuado para ciertas aplicaciones industriales y de construcción.
- ✓ B (boro): Posee durabilidad notable y excepcionales propiedades eléctricas, siendo ideal para aplicaciones donde se requiere estabilidad y alto rendimiento
- ✓ C (chemical): Es un tipo de fibra altamente resistente a
 productos químicos, ideal para estructuras expuestas a
 ambientes muy agresivos. Sus propiedades mecánicas se
 sitúan entre las del vidrio A y E, y se utiliza en sectores como
 el químico y alimenticio, entre otros.
- ✓ D (dieléctrico): Gracias a sus destacados atributos dieléctricos y baja disminución eléctricas, se emplea en la fabricación de componentes electrónicos y de telecomunicaciones.
- √ E (eléctrico): Diseñada principalmente para utilidades

eléctricas, esta fibra de vidrio es la más económica. Ademas se usa en la construcción naval y es la favorita para producir fibras continuas. Es esencialmente un vidrio de borosilicato de calcio y aluminio con poco o nada de potasio y sodio. Resiste bien la humedad.

✓ R o S (resistance-francés y strength-inglés): Es la fibra más resistente, principalmente utilizada en los campos aeroespaciales y militares. Su relación resistencia/peso supera al vidrio E, proporcionando mayor resistencia tanto a la tracción como a la fatiga. (pág. 41)

2.2.14.4. PROPIEDADES

Según Besednjak (2009), nos menciona las principales características de las fibras de vidrio:

- ✓ Buena resistencia mecánica específica (resistencia a la tracción/densidad).
- ✓ Resistencia a la humedad, aunque es crucial evitarla antes de la laminación para no comprometer la adhesión con la resina.
- ✓ Resistencia al ataque de agentes químicos.
- ✓ Buenas propiedades como aislante eléctrico.
- ✓ Débil conductividad térmica.
- ✓ Buena estabilidad dimensional.
- ✓ Bajo alargamiento.
- ✓ Propiedades isótropas (al contrario que las fibras de carbono y kevlar).
- ✓ Magnifica adherencia a la matriz (utilizando recubrimientos apropiados para cada tipo de resina).
- ✓ Incombustibilidad.
- ✓ Imputrescibilidad. (p. 41)

Tabla 2Principales propiedades de la fibra de vidrio

	Vidrio	Vidrio	Vidrio
Tipo	E	R/S	С
Resistencia a la tracción (GPa)	3.4 – 3.5	3.4 – 4.6	3.1
Módulo elástico (GPa)	72 – 73	85 – 87	71
Densidad (Kg/m3)	2600	2500 – 2530	2450
Alargamiento a la rotura (%)	3.3 – 4.8	4.2 – 5.4	3.5
Resistencia específica (GPa*cm3/g)	1.3 – 1.35	1.7 – 1.85	1.3
Módulo E específico (GPa*cm3/g)	27.7 – 28.2	34 – 34.9	29
Chef. Transmisión térmica (10^- 6/°K)	5	4 – 5.1	7.2
Diámetro del filamento (μm)	8 - 20	10	20

Nota. En la siguiente tabla se detalla propiedades del vidrio, Besednjak, 2009, p. 42.

2.3. DEFINICIONES CONCEPTUALES

Abrasión del concreto: Addleson y Company (1983), La abrasión es esencialmente una forma de erosión donde las superficies de los materiales se desgastan. Cada vez que dos materiales se frotan entre sí, puede suceder. El grado de desgaste de la superficie es mucho más significativo que el hecho de que el razonamiento teórico contribuya al desgaste. (pg. 241)

Relación agua y cemento: Páez (1986), En la determinación de la relación agua/cemento se debe tener en cuenta únicamente la fracción de agua que corresponde a agua efectiva o agua libre, no el total de agua presente en la mezcla. A diferencia de los áridos, existe una relación diferente entre la resistencia y la relación agua libre/cemento. (pág.225) Ductilidad: Addleson y Company (1983), Aunque otros materiales, como los plásticos, también pueden tener ductilidad, es principalmente una propiedad de los metales. La capacidad de un material para sufrir una deformación plástica antes de romperse se conoce como ductilidad. La antítesis de la ductilidad es la fragilidad. (pág.113)

Resistencia a la flexión: Jaramillo (2004), La resistencia a la flexión del

concreto, conocida como Módulo de Ruptura (f_R), se mide mediante pruebas de flexión en viguetas de concreto simple de 50 cm de largo y sección cuadrada de 15 cm por lado, con cargas aplicadas en tercios de su longitud. Este valor se utiliza para controlar el diseño de pavimentos de concreto. (pág.53)

Tensión en el concreto: Jaramillo (2010), Sin embargo, hay situaciones en las que la resistencia a la tención (tracción) es crucial porque el concreto utiliza sus propiedades de manera más efectiva cuando se usa en compresión. Al igual que con el tamaño y la distribución de las fisuras en las vigas de hormigón armado, las resistencias a la flexión, cortante y torsión del hormigón dependen en gran medida de su resistencia a la tracción. El ensayo brasileño se utiliza actualmente para determinar la resistencia a la tracción de cilindros apoyados en su borde. La resistencia a la compresión del hormigón y la resistencia a la tención (tracción) no se correlacionan bien. (pág.8)

Cemento IP: Harmsen (2019), El tipo de cemento IP; Cemento Portland puzolánico (<40%). Úselo cuando se vayan a utilizar agregados potencialmente reactivos, así como en estructuras de concreto expuestas a condiciones severas como el ataque de sulfatos. La puzolana puede prevenir el crecimiento de la fuerza temprana, así que tenga cuidado. Los ejemplos de aplicación incluyen edificios de hormigón prefabricado que se someten a curado térmico y estructuras de hormigón que están expuestas a sulfatos o agua de mar. (pág.50)

Conductividad térmica: Callister (1996), El proceso por el cual el calor se transfiere de las regiones de elevada temperatura a las regiones de baja temperatura de una sustancia se conoce como conductividad térmica. La conductividad térmica es la característica que describe la capacidad de un material para transferir calor. (pág. 674)

Tiempo de Fraguado del Concreto: Giraldo (2019), El fraguado es el proceso mediante el cual el hormigón o mortero de cemento se endurece y pierde su maleabilidad. Este fenómeno ocurre debido al secado y la recristalización de los hidróxidos metálicos, resultado de la reacción química

entre el agua y los óxidos metálicos presentes en el clinker del hormigón. (pág. 18)

Resistencia del concreto: Hernández (2018), La resistencia del hormigón es la máxima resistencia a la carga axial en muestras de hormigón medida en megapascales (MPa) o kilogramos por centímetro cuadrado (kg/cm2), y normalmente se mide a los 28 días de edad. No obstante, también se realizan pruebas a los 7 y 14 días para controlar el desarrollo de resistencias. (pág. 14)

Diseño de mezcla: Bustamante (2022), De acuerdo a lo especificado en los expedientes técnicos, el diseño de la mezcla de concreto estructural es la dosificación de cada componente del concreto en cantidades precisas para lograr resistencia. (pág. 42)

Endurecimiento del concreto: Perles (2003), La hidratación del silicato tricálcico, en particular, hace que el período de endurecimiento se expanda rápidamente al principio, lo que le permite alcanzar alrededor del 95% de la resistencia total en el primer mes. El período de endurecimiento continúa durante algunos años, aunque mucho más lentamente, debido a la reacción del silicato bicálcico. (pág.22).

2.4. HIPÓTESIS

2.4.1. HIPÓTESIS GENERAL

 La resistencia a la flexión de vigas de concreto elaborado con 1% de fibra de vidrio para un f´c=210 kg/cm2 mejorará significativamente al someterle a altas temperaturas en la ciudad de Huánuco – 2023.

2.4.2. HIPÓTESIS ESPECÍFICOS

 La resistencia a la flexión de vigas de concreto elaborado con 1% de fibra de vidrio para un f´c=210 kg/cm² mejorará significativamente al someterle a de 120°C en la ciudad de Huánuco – 2023.

- La resistencia a la flexión de vigas de concreto elaborado con 1% de fibra de vidrio para un f´c=210 kg/cm² mejorará significativamente al someterle a 150°C en la ciudad de Huánuco – 2023.
- La resistencia a la flexión de vigas de concreto elaborado con 1% de fibra de vidrio para un f´c=210 kg/cm² mejorará significativamente al someterle a 170°C en la ciudad de Huánuco – 2023.

2.5. VARIABLES

2.5.1. VARIABLE DEPENDIENTE

Resistencia a la flexión de vigas.

2.5.2. VARIABLE INDEPENDIENTE

Fibra de vidrio y altas temperaturas.

2.6. OPERACIONALIZACIÓN DE VARIABLES

VARIABLE	DIMENSIONES	INDICADORES	INSTRUMENTO
	% de Fibras de vidrio	Diseño de mezcla con 1% de fibra de vidrio	Formato de diseño de mezcla.
INDEPENDIENTE Fibra de vidrio y altas temperaturas.		Sometimiento de probetas a 120°C en horno.	Termómetro sensorial especial de laboratorio.
	Temperatura de sometimiento de probetas en centígrados (°C)	Sometimiento de probetas a 150°C en horno.	Termómetro sensorial especial de laboratorio.
		Sometimiento de probetas a 170°C en horno.	Termómetro sensorial especial de laboratorio.
		Resistencia a la flexión de vigas de concreto elaborado con 1% de fibra de vidrio para un f´c=210 kg/cm2 sometido a 120°C.	Ficha de laboratorio del ensayo de resistencia a la flexión.
DEPENDIENTE Resistencia a la flexión de vigas		Resistencia a la flexión de vigas de concreto elaborado con 1% de fibra de vidrio para un f´c=210 kg/cm2 sometido a 150°C.	Ficha de laboratorio del ensayo de resistencia a la flexión.
	, J	Resistencia a la flexión de vigas de concreto elaborado con 1% de fibra de vidrio para un f´c=210 kg/cm2 sometido a 170°C.	Ficha de laboratorio del ensayo de resistencia a la flexión.

CAPITULO III

METODOLOGIA DE LA INVESTIGACIÓN

3.1. TIPO DE INVESTIGACIÓN

3.1.1. ENFOQUE

El enfoque del estudio fue cuantitativo.

Hernández et al. (2010) menciona que la información será de manera numérica y para la demostración de las hipótesis se utilizarán las pruebas estadísticas. (p. 4)

3.1.2. ALCANCE O NIVEL

El nivel del estudio fue explicativo:

Muñoz (2015) A diferencia de la investigación teórica, la práctica o aplicada tiene como objetivo la aplicación inmediata de los conocimientos obtenidos, lo que no le quita mérito. (p. 86)

3.1.3. **DISEÑO**

El estudio tuvo un diseño cuasi experimental:

Hernández et al., (2010) para este tipo de diseño la agrupación de las muestras es tomada de agrupada y adecuada en función de grupos de control y experimental. (p. 148)

ESQUEMA DE LA INVESTIGACIÓN GE: O1_____X____O3 GC: O2_____O4 Donde: GE= Grupo experimental GC= Grupo control O1 y O2= Pre prueba X= Tratamiento O3 y O4= Pos prueba

3.2. POBLACIÓN Y MUESTRA

3.2.1. POBLACIÓN

La población será finita y estará representada por 120 vigas de concreto entre convencional y elaborado con 1% de fibra de vidrio para un f´c=210 kg/cm2 que serán sometidas a diferentes temperaturas de 120°C, 150°C y 170°C. El cual serán ensayadas para determinar la resistencia a la flexión

3.2.2. MUESTRA

La muestra es no probabilística. Por lo que para la elección de la muestra será en función de la edad a romper de las vigas de concreto y de acuerdo a las temperaturas que serán sometidas de 120°C, 150°C y 170°C. Para mejor entendimiento de la distribución de las muestras se presenta la siguiente tabla:

Tabla 3Cantidad de muestras a realizar

Cantidad de	Edad de probetas a ensayar (días)				Total de muestras a
muestras	7	1	4	28	ensayar
N° de muestras	10	1	0	10	30
Cantidad de		(°C) T	emperati	uras a	TOTAL DE
especímenes de	Concreto	somet	someter las probetas		PROBETAS A
concreto	convencional	120°C	150°C	170°C	ENSAYAR
Cantidad de probetas	30	30	30	30	120

Nota. En la siguiente tabla se detalla la cantidad de muestra que se realizara en función del porcentaje de adición de caucho reciclado.

3.3. TÉCNICAS E INSTRUMENTOS DE RECOLECCIÓN DE DATOS

3.3.1. TÉCNICA

Para el presente trabajo tuvo como principales técnicas que se utilizó en este estudio fueron por observación directa, análisis de documentos, y ensayos de vigas de concreto entre convencional y elaborado con 1% de fibra de vidrio para un f´c=210 kg/cm2 que serán sometidas a diferentes temperaturas de 120°C, 150°C y 170°C.

3.3.2. INSTRUMENTOS

Los instrumentos de recolección de información y de datos utilizada en la investigación serán las siguientes:

3.3.3. FICHAS DE EVALUACIÓN Y OBSERVACIÓN

Método de recolección de datos consiste en el registro sistemático, válido y confiable de comportamientos y situaciones observables, a través de un conjunto de categorías y subcategorías. (Hernández et al., 2010, p.252)

Los instrumentos utilizados son:

• Formato de Ensayo de flexión de vigas.

3.4. TÉCNICAS PARA EL PROCESAMIENTO Y ANÁLISIS DE LA INFORMACIÓN

Para el procesamiento de nuestros datos cuantitativos se utilizó la estadística y programas computaciones adecuados.

3.4.1. TÉCNICAS DE PROCESAMIENTO

En el estudio se usó el análisis estadístico de acuerdo a las variables a evaluar.

3.4.2. ANÁLISIS DE LA INFORMACIÓN

Se utilizaron programas computacionales como el Microsoft Office Excel y SPSS.

CAPITULO IV

RESULTADOS

4.1. PROCESAMIENTO DE DATOS

Tabla 4Ensayo a flexión del concreto convencional a 7 días

ELEMENTO	EDAD EN DIAS	MAXIMA CARGA DE PRUEBA KG	MODULO DE ROTURA (Kg/cm2)
CONCRETO CONVENCIONAL	7	2582.90	34.44
CONCRETO CONVENCIONAL	7	2496.23	33.28
CONCRETO CONVENCIONAL	7	2330.01	31.07
CONCRETO CONVENCIONAL	7	2513.56	33.51
CONCRETO CONVENCIONAL	7	2551.29	34.02
CONCRETO CONVENCIONAL	7	2683.85	35.78
CONCRETO CONVENCIONAL	7	2431.98	32.43
CONCRETO CONVENCIONAL	7	2465.63	32.88
CONCRETO CONVENCIONAL	7	2615.53	34.87
CONCRETO CONVENCIONAL	7	2525.80	33.68

Tabla 5
Ensayo a flexión del concreto convencional a 14 días

ELEMENTO	EDAD EN DIAS	MAXIMA CARGA DE PRUEBA KG	MODULO DE ROTURA (Kg/cm2)
CONCRETO CONVENCIONAL	14	3145.77	41.94
CONCRETO CONVENCIONAL	14	3169.23	42.26
CONCRETO CONVENCIONAL	14	3297.71	43.97
CONCRETO CONVENCIONAL	14	3206.96	42.76
CONCRETO CONVENCIONAL	14	3043.80	40.58
CONCRETO CONVENCIONAL	14	3329.32	44.39
CONCRETO CONVENCIONAL	14	3418.03	45.57
CONCRETO CONVENCIONAL	14	3129.46	41.73
CONCRETO CONVENCIONAL	14	3322.18	44.30
CONCRETO CONVENCIONAL	14	3366.03	44.88

Tabla 6
Ensayo a flexión del concreto convencional a 28 días

EDAD EN DIAS	MAXIMA CARGA DE PRUEBA KG	MODULO DE ROTURA (Kg/cm2)
28	4031.89	53.76
28	3757.59	50.10
28	4100.21	54.67
28	3896.27	51.95
28	4206.26	56.08
28	3839.17	51.19
28	4029.85	53.73
28	4165.47	55.54
28	3941.14	52.55
28	3821.84	50.96
	28 28 28 28 28 28 28 28 28 28	EDAD EN DIAS CARGA DE PRUEBA KG 28 4031.89 28 3757.59 28 4100.21 28 3896.27 28 4206.26 28 3839.17 28 4029.85 28 3941.14

Tabla 7 *Media y desviación estándar*

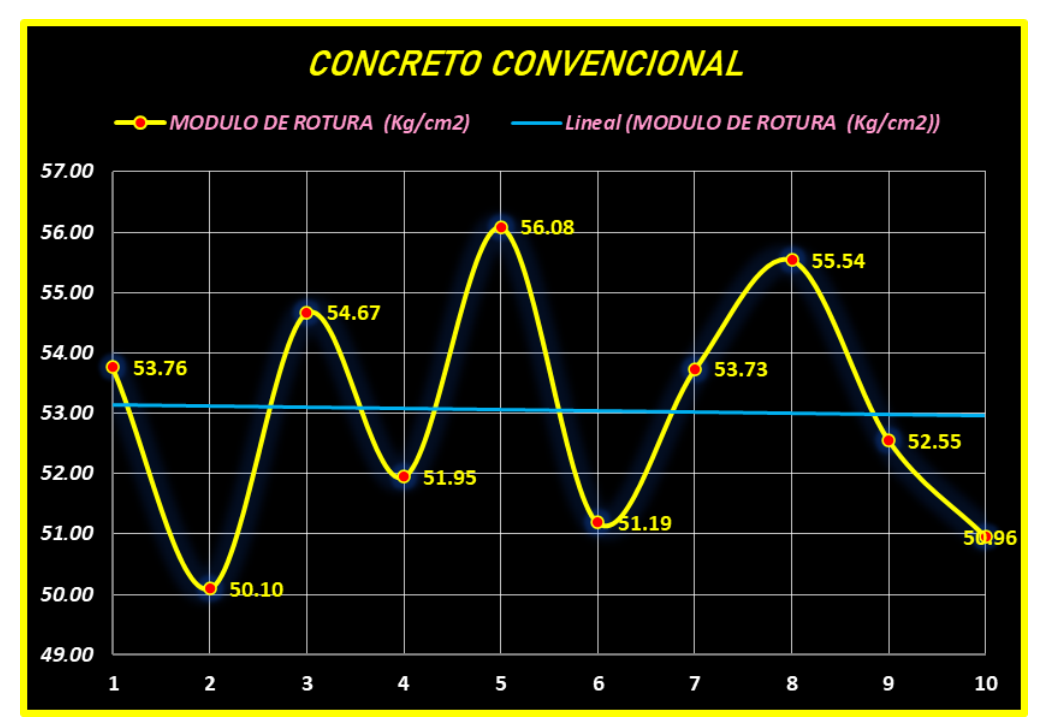
	.: 4	4-		
Flex	lion	de	vigas	

N	Válido	10
Perdidos	0	
Media		53.0530
Desvia	ación estándar	2,0272

Interpretación

Los resultados a la flexión de vigas a los 28 días del concreto convencional con 1% de fibra de vidrio donde la media es 53.0530 kgf/cm²; y la desviación estándar es de 2.0272 kgf/cm² que indican valores superior e inferior de este, así como la dispersión mínima que tiene los valores.

Figura 4
Ensayo a flexión del concreto convencional a 28 días



Nota. Se presenta los resultados del ensayo a flexión donde el mínimo valor es 50.10kg f/cm2 y el máximo valor 56.08kgf/cm2.

Tabla 8
Ensayo a flexión al 1% con fibra de vidrio expuesto a 120°C a 7 días

ELEMENTO	EDAD EN DIAS	MAXIMA CARGA DE PRUEBA KG	MODULO DE ROTURA (Kg/cm2)
SOMETIDO A 120°C	7	2686.91	35.83
SOMETIDO A 120°C	7	2785.82	37.14
SOMETIDO A 120°C	7	2462.58	32.83
SOMETIDO A 120°C	7	2431.98	32.43
SOMETIDO A 120°C	7	2330.01	31.07
SOMETIDO A 120°C	7	2646.12	35.28
SOMETIDO A 120°C	7	2737.89	36.51
SOMETIDO A 120°C	7	2768.49	36.91
SOMETIDO A 120°C	7	2888.81	38.52
SOMETIDO A 120°C	7	2647.14	35.30

Tabla 9
Ensayo a flexión al 1% con fibra de vidrio expuesto a 120°C a 14 días

ELEMENTO	EDAD EN DIAS	MAXIMA CARGA DE PRUEBA KG	MODULO DE ROTURA (Kg/cm2)
SOMETIDO A 120°C	14	3023.41	40.31
SOMETIDO A 120°C	14	3304.85	44.06
SOMETIDO A 120°C	14	2934.70	39.13
SOMETIDO A 120°C	14	3418.03	45.57
SOMETIDO A 120°C	14	3104.99	41.40
SOMETIDO A 120°C	14	2952.03	39.36
SOMETIDO A 120°C	14	3206.96	42.76
SOMETIDO A 120°C	14	3145.77	41.94
SOMETIDO A 120°C	14	2992.82	39.90
SOMETIDO A 120°C	14	2968.35	39.58

Tabla 10
Ensayo a flexión al 1% con fibra de vidrio expuesto a 120°C a 28 días

ELEMENTO	EDAD EN DIAS	MAXIMA CARGA DE PRUEBA KG	MODULO DE ROTURA (Kg/cm2)
SOMETIDO A 120°C	28	4165.47	55.54
SOMETIDO A 120°C	28	4349.02	57.99
SOMETIDO A 120°C	28	4651.87	62.02
SOMETIDO A 120°C	28	4056.37	54.08
SOMETIDO A 120°C	28	4450.99	59.35
SOMETIDO A 120°C	28	4501.98	60.03
SOMETIDO A 120°C	28	4723.25	62.98
SOMETIDO A 120°C	28	4335.76	57.81
SOMETIDO A 120°C	28	4137.94	55.17
SOMETIDO A 120°C	28	4260.31	56.80

Tabla 11 *Media y desviación estándar*

Flexión de vigas

N	Válido	10
Perdidos	Perdidos	0
Media		58.1773
Desvia	ación estándar	2,9329

Interpretación

Los resultados a la flexión de vigas a los 28 días del concreto con 1% de fibra de vidrio expuesto a 120°C donde su media es 58.1773 kgf/cm²; y

la desviación estándar es de 2.9329 kgf/cm² que indican valores superior e inferior de este, así como la dispersión mínima que tiene los valores.

Figura 5
Ensayo a flexión al 1% con fibra de vidrio expuesto a 120°C a 28 días



Nota. Se presenta los resultados del ensayo a flexión donde el mínimo valor es 54.08kgf/cm2 y el máximo valor 62.98kgf/cm2.

Tabla 12Ensayo a flexión al 1% con fibra de vidrio expuesto a 150°C a 7 días

ELEMENTO	EDAD EN DIAS	MAXIMA CARGA DE PRUEBA KG	MODULO DE ROTURA (Kg/cm2)
SOMETIDO A 150°C	7	2257.62	30.10
SOMETIDO A 150°C	7	2072.03	27.63
SOMETIDO A 150°C	7	2207.65	29.44
SOMETIDO A 150°C	7	2251.50	30.02
SOMETIDO A 150°C	7	2109.76	28.13
SOMETIDO A 150°C	7	2024.10	26.99
SOMETIDO A 150°C	7	2279.03	30.39
SOMETIDO A 150°C	7	2217.85	29.57
SOMETIDO A 150°C	7	2292.29	30.56
SOMETIDO A 150°C	7	2244.36	29.92

Tabla 13
Ensayo a flexión al 1% con fibra de vidrio expuesto a 150°C a 14 días

ELEMENTO	EDAD EN DIAS	MAXIMA CARGA DE PRUEBA KG	MODULO DE ROTURA (Kg/cm2)
SOMETIDO A 150°C	14	2887.79	38.50
SOMETIDO A 150°C	14	2686.91	35.83
SOMETIDO A 150°C	14	2697.11	35.96
SOMETIDO A 150°C	14	2802.14	37.36
SOMETIDO A 150°C	14	2839.86	37.86
SOMETIDO A 150°C	14	3043.80	40.58
SOMETIDO A 150°C	14	3073.38	40.98
SOMETIDO A 150°C	14	2635.92	35.15
SOMETIDO A 150°C	14	2737.89	36.51
SOMETIDO A 150°C	14	2896.97	38.63

Tabla 14
Ensayo a flexión al 1% con fibra de vidrio expuesto a 150°C a 28 días

ELEMENTO	EDAD EN DIAS	MAXIMA CARGA DE PRUEBA KG	MODULO DE ROTURA (Kg/cm2)
SOMETIDO A 150°C	28	3428.23	45.71
SOMETIDO A 150°C	28	3118.24	41.58
SOMETIDO A 150°C	28	3308.93	44.12
SOMETIDO A 150°C	28	3526.12	47.01
SOMETIDO A 150°C	28	3666.84	48.89
SOMETIDO A 150°C	28	3220.21	42.94
SOMETIDO A 150°C	28	3495.53	46.61
SOMETIDO A 150°C	28	3435.37	45.80
SOMETIDO A 150°C	28	3310.97	44.15
SOMETIDO A 150°C	28	3444.55	45.93

Tabla 15 *Media y desviación estándar*

Flexio	ón de vigas	
N	Válido	10
IN	Perdidos	0
Media		45.2733
Desvi	ación estándar	2,1222

Interpretación

Los resultados a la flexión de vigas a los 28 días del concreto con 1%

de fibra de vidrio expuesto a 150°C donde su media es 45.2733 kgf/cm²; y la desviación estándar es de 2.1222 kgf/cm² que indican valores superior e inferior de este, así como la dispersión mínima que tiene los valores.

Figura 6
Ensayo a flexión al 1% con fibra de vidrio expuesto a 150°C a 28 días



Nota. Se presenta los resultados del ensayo a flexión donde el mínimo valor es 41.58kgf/cm² y el máximo valor 48.89kgf/cm².

Tabla 16
Ensayo a flexión al 1% con fibra de vidrio expuesto a 170°C a 7 días.

ELEMENTO	EDAD EN DIAS	MAXIMA CARGA DE PRUEBA KG	MODULO DE ROTURA (Kg/cm2)
SOMETIDO A 170°C	7	1562.18	20.83
SOMETIDO A 170°C	7	1684.54	22.46
SOMETIDO A 170°C	7	1453.07	19.37
SOMETIDO A 170°C	7	1310.31	17.47
SOMETIDO A 170°C	7	1664.15	22.19
SOMETIDO A 170°C	7	1514.25	20.19
SOMETIDO A 170°C	7	1412.28	18.83
SOMETIDO A 170°C	7	1616.22	21.55
SOMETIDO A 170°C	7	1698.82	22.65
SOMETIDO A 170°C	7	1460.21	19.47

Tabla 17Ensayo a flexión al 1% con fibra de vidrio expuesto a 170°C a 14 días.

ELEMENTO	EDAD EN DIAS	MAXIMA CARGA DE PRUEBA KG	MODULO DE ROTURA (Kg/cm2)
SOMETIDO A 170°C	14	1868.09	24.91
SOMETIDO A 170°C	14	1958.84	26.12
SOMETIDO A 170°C	14	1786.51	23.82
SOMETIDO A 170°C	14	2075.09	27.67
SOMETIDO A 170°C	14	2012.89	26.84
SOMETIDO A 170°C	14	1885.43	25.14
SOMETIDO A 170°C	14	1823.22	24.31
SOMETIDO A 170°C	14	2075.09	27.67
SOMETIDO A 170°C	14	2003.71	26.72
SOMETIDO A 170°C	14	1938.45	25.85

Tabla 18
Ensayo a flexión al 1% con fibra de vidrio expuesto a 170°C a 28 días

ELEMENTO	EDAD EN DIAS	MAXIMA CARGA DE PRUEBA KG	MODULO DE ROTURA (Kg/cm2)
SOMETIDO A 170°C	28	2992.82	39.90
SOMETIDO A 170°C	28	2737.89	36.51
SOMETIDO A 170°C	28	2901.05	38.68
SOMETIDO A 170°C	28	3112.12	41.49
SOMETIDO A 170°C	28	2683.85	35.78
SOMETIDO A 170°C	28	2937.76	39.17
SOMETIDO A 170°C	28	3003.02	40.04
SOMETIDO A 170°C	28	3162.09	42.16
SOMETIDO A 170°C	28	2802.14	37.36
SOMETIDO A 170°C	28	2952.03	39.36

Tabla 19 *Media y desviación estándar*

Flexión de vigas

	Válido	10
N	Perdidos	0
Media		39.0464
Desvia	ción estándar	2,0440

Interpretación

Los resultados a la flexión de vigas a los 28 días del concreto con 1% de fibra de vidrio expuesto a 170°C donde su media es 39.0464 kgf/cm²; y la desviación estándar es de 2.0440 kgf/cm² que indican valores superior e inferior de este, así como la dispersión mínima que tiene los valores.

Figura 7
Ensayo a flexión al 1% con fibra de vidrio expuesto a 170°C a 28 días



Nota. Se presenta los resultados del ensayo a flexión donde el mínimo valor es 35.78kgf/cm² y el máximo valor 42.16kgf/cm².

4.2. CONTRASTACIÓN Y PRUEBA DE HIPÓTESIS

4.2.1. HIPÓTESIS GENERAL

- HG: Existe mejora significativa en la resistencia a la flexión de vigas de concreto elaborado con caucho reciclado para un f´c=210 kg/cm2 con agregados de la cantera de Andabamba en ciudad de Huánuco— 2023.
- H0: No existe mejora significativa en la resistencia a la flexión de vigas de concreto elaborado con caucho reciclado para un f´c=210 kg/cm2 con agregados de la cantera de Andabamba en ciudad de Huánuco— 2023.

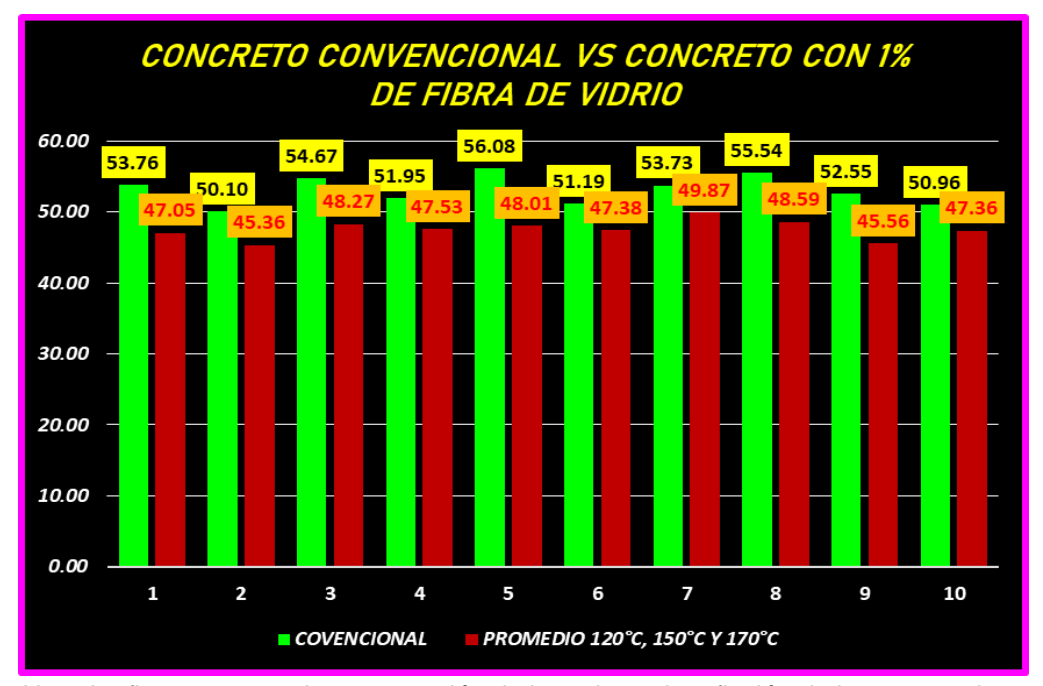
 Tabla 20

 Comparación de resultados del concreto convencional y a diferentes temperaturas

CONCRETO ELABORADO CON 1% DE FIBRA DE VIDRIO
PROMEDIO 120°C, 150°C y 170°C
47.05
45.36
48.27
47.53
48.01
47.38
49.87
48.59
45.56
47.36

Figura 8

Comparación de los resultados de laboratorio



Nota. La figura muestra la comparación de la resistencia a flexión de los grupos de estudio.

Tabla 21

Comparación de del ensayo a flexión del concreto convencional y del promedio al 1% con fibra de vidrio expuesto a 120°C, 150°C y 170°C

COMPARACION DE RESULTADOS A LA FLEXION

		Estadístico	Desv. Error
	Media	53.0530	,0254
CONCRETO	Desviación estándar	2,0272	
CONVENCIONAL	Mínimo	50,10	
	Máximo	56,08	
PROMEDIO AL 1%	Media	53,1233	,0374
CON FIBRA DE	Desviación estándar	1,3451	
VIDRIO EXPUESTO	Mínimo	45,36	
A 120°C,	Máximo	49,87	
150°C Y 170°C.			

Tabla 22Pruebas de normalidad de ambos grupos

Pruebas de normalidad

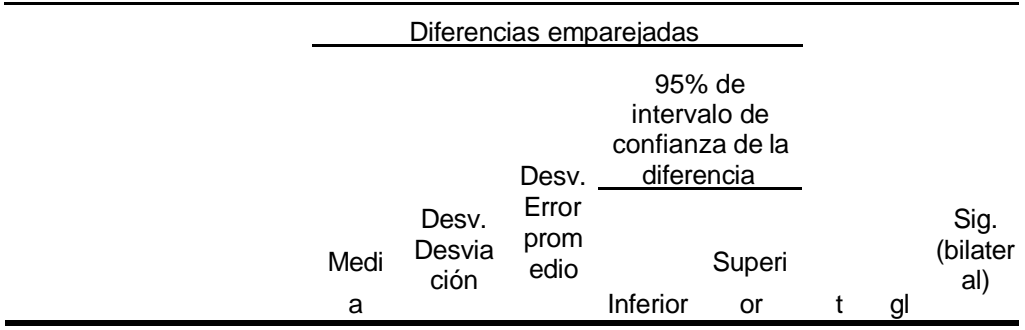
	Kolmogorov- Smirnova		Sha	apiro-Wi	ilk	
	Estadísti co	gl	Sig.	Estadístico	gl	Sig.
CONCRETO CONVENCIONAL	,194	10	,200 *	,996	10	,425
PROMEDIO AL 1% CON FIBRA DE VIDRIO EXPUESTO A 120°C, 150°C Y 170°C.	,197	10	,200 *	,847	10	,367

Interpretación

Se utilizó para la investigación la normalidad de SHAPIRO – WILK, ya que las muestras evaluadas son menores de 50, cumpliendo así (p=0.425) para el concreto convencional, y (p=0.367) para el promedio del grupo con 1% con fibra de vidrio expuesto a 120°C, 150°C y 170°C; cumpliendo la condición $(p \ge 0.05)$.

Tabla 23
Prueba "t" evaluada en las muestras relacionadas

Prueba de muestras emparejadas



CONCRETO

CONVENCIONAL -PROMEDIO AL 1% -CON FIBRA DE 1,568
VIDRIO EXPUESTO A 1 ,1846 ,0892 1,8762 1,9134 7 10 1,997

La prueba t evaluada en las muestras comprueba que sí existe significancia entre la media del concreto convencional y el promedio del grupo con 1% con fibra de vidrio expuesto a 120°C, 150°C y 170°C (*t=-51.47*, *p=1.997>0.05*). Por lo que se toma la hipótesis donde la resistencia a la flexión de vigas de concreto elaborado con 1% de fibra de vidrio para un f´c=210 kg/cm2 no mejorará significativamente al someterle a altas temperaturas en la ciudad de Huánuco – 2023.

4.2.2. HIPÓTESIS ESPECIFICA 1

- HE1: La resistencia a la flexión de vigas de concreto elaborado con 1% de fibra de vidrio para un f´c=210 kg/cm² mejorará significativamente al someterle a de 120°C en la ciudad de Huánuco – 2023.
- HE1: La resistencia a la flexión de vigas de concreto elaborado con 1% de fibra de vidrio para un f´c=210 kg/cm² no mejorará significativamente al someterle a de 120°C en la ciudad de Huánuco – 2023.

Tabla 24

Comparación de resultados del concreto convencional y a temperatura de 120°C

CONCRETO CONVENCIONAL	CONCRETO ELABORADO CON 1% DE FIBRA DE VIDRIO
CONCRETO CONVENCIONAL	120°C
53.76	55.54
50.10	57.99
54.67	62.02
51.95	54.08
56.08	59.35
51.19	60.03
53.73	62.98

55.54	57.81
52.55	55.17
50.96	56.80

Figura 9

Comparación de los resultados de laboratorio



Nota. La figura muestra la comparación de la resistencia a flexión de los grupos de estudio.

Tabla 25
Comparación de del ensayo a flexión del concreto convencional y con 1% con fibra de vidrio expuesto a 120°C

COMP	COMPARACION DE RESULTADOS A LA FLEXION				
			Desv		
		Estadístico	•		
			Error		
	Media	53.0530	,0254		
CONCRETO	Desviación estándar	2,0272			
CONVENCIONAL	Mínimo	50,10			
	Máximo	56,08			
	Media	58,1773	,0314		

CON 1% CON FIBRA DE VIDRIO EXPUESTO A 120°C

Desviación estándar	2,9329
Mínimo	54,08
Máximo	62,98

Tabla 26Pruebas de normalidad de ambos grupos

Pruebas de normalidad

	Kolmogorov-Smirnov ^a			Shapiro-Wilk		
	Estadísti c o	gl	Sig.	Estadístico	gl	Sig.
CONCRETO CONVENCIONAL	,194	10	,200*	,996	10	,425
CON 1% CON FIBRA DE VIDRIO EXPUESTO A 120°C	,167	10	,200*	,635	10	,319

Interpretación

Se utilizó para el estudio la normalidad de SHAPIRO – WILK, ya que las muestras evaluadas son menores de 50, cumpliendo así (p=0.425) para el concreto convencional, y (p=0.319) para el 1% con fibra de vidrio expuesto a 120°C; cumpliendo la condición $(p\geq0.05)$.

Tabla 27Prueba t evaluada en las muestras relacionadas

Prueba de muestras emparejadas

CONCRETO
CONVENCIONAL -- CON
1% CON FIBRA DE
VIDRIO
1,761 ,1673 ,091 -1,7534 -1,9435 59,6 10 0,002
EXPUESTO A 120°C.
8 2 1

La prueba t evaluada en las muestras comprueba que sí existe significancia entre la media del concreto convencional y con 1% con fibra de vidrio expuesto a 120°C (*t*=-59.61, *p*=0.002<0.05). Por lo que se toma la hipótesis donde la resistencia a la flexión de vigas de concreto elaborado con 1% de fibra de vidrio para un f´c=210 kg/cm2 mejorará significativamente al someterle a de 120°C en la ciudad de Huánuco – 2023 al someterle a altas temperaturas en la ciudad de Huánuco – 2023.

4.2.3. HIPÓTESIS ESPECIFICA 2

- HE2: La resistencia a la flexión de vigas de concreto elaborado con 1% de fibra de vidrio para un f´c=210 kg/cm2 mejorará significativamente al someterle a de 150°C en la ciudad de Huánuco – 2023.
- HE2: La resistencia a la flexión de vigas de concreto elaborado con 1% de fibra de vidrio para un f´c=210 kg/cm2 no mejorará significativamente al someterle a de 150°C en la ciudad de Huánuco – 2023.

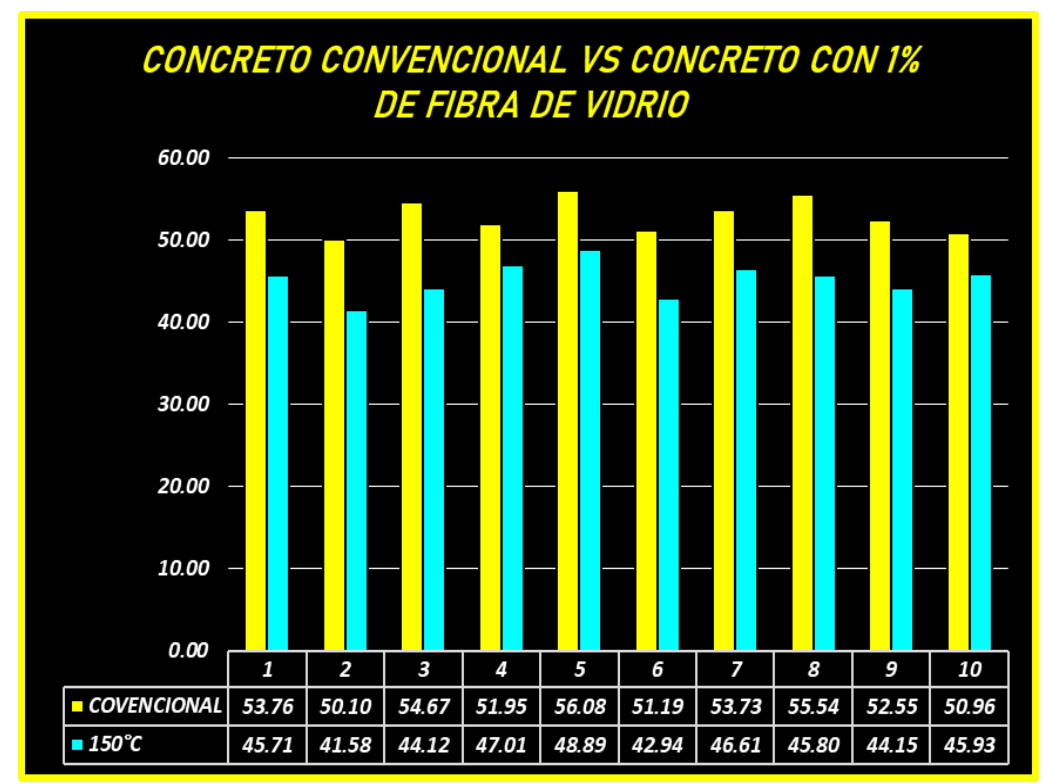
Tabla 28Comparación de resultados del concreto convencional y a temperatura de 150°C

CONCRETO CONVENCIONAL -	CONCRETO ELABORADO CON 1% DE FIBRA DE VIDRIO
	150°C
53.76	45.71
50.10	41.58
54.67	44.12
51.95	47.01
56.08	48.89
51.19	42.94

53.73	46.61
55.54	45.80
52.55	44.15
50.96	45.93

Figura 10

Comparación de los resultados de laboratorio



Nota. La figura muestra la comparación de la resistencia a flexión de los grupos de estudio.

Tabla 29
Comparación de del ensayo a flexión del concreto convencional y con 1% con fibra de vidrio expuesto a 150°C

COMF	COMPARACION DE RESULTADOS A LA FLEXION				
		Estadístico	Desv. Error		
	Media	53.0530	,0254		
CONCRETO	Desviación estándar	2,0272			
CONVENCIONAL	Mínimo	50,10			
	Máximo	56,08			
	Media	45,2733	,0213		
CON 1% CON FIBRA	Desviación estándar	2,1222			
CON 1% CON FIBRA		· · ·	,0213		

DE VIDRIO	Mínimo	41,58
EXPUESTO A 150°C	Máximo	48,89

Tabla 30Pruebas de normalidad de ambos grupos

Pruebas de normalidad Kolmogorov-Smirnov^a Shapiro-Wilk **Estadísti Estadístico** gl Sig. gl Sig. СО CONCRETO 10 ,996 10 ,425 ,194 ,200* **CONVENCIONAL** CON 1% CON **FIBRA DE VIDRIO** ,124 10 ,514 10 ,283 ,200* **EXPUESTO A**

Interpretación

150°C

Se utilizó para el estudio la normalidad de SHAPIRO – WILK, ya que las muestras evaluadas son menores de 50, cumpliendo así (p=0.425) para el concreto convencional, y (p=0.283) para el 1% con fibra de vidrio expuesto a 150°C; cumpliendo la condición $(p\geq0.05)$.

Tabla 31Prueba t evaluada en las muestras relacionadas

Prueba de muestras emparejadas							
<u>-</u> -		Difere	ncias e	mparejadas			
	Media	Desv. Desviac ió n	Desv. Error prom ed io	95% de intervalo de confianza de la diferencia Inferior Superior	t	gl	Sig. (bilate ra I)

CONCRETO
CONVENCIONAL -CON 1% CON FIBRA
DE VIDRIO
EXPUESTO A 150°C.

1,642 ,1743 ,0829 -1,6316 -1,7439 51,2 10 1,992 7 8

La prueba t evaluada en las muestras comprueba que sí existe significancia entre la media del concreto convencional y con 1% con fibra de vidrio expuesto a 150°C (*t*=-51.28, *p*=1.992>0.05). Por lo que se toma la hipótesis donde la flexión de vigas de concreto elaborado con 1% de fibra de vidrio para un f´c=210 kg/cm² no mejorará significativamente al someterle a de 150°C en la ciudad de Huánuco – 2023.

4.2.4. HIPÓTESIS ESPECIFICA 3

- HE3: La resistencia a la flexión de vigas de concreto elaborado con 1% de fibra de vidrio para un f´c=210 kg/cm² mejorará significativamente al someterle a de 170°C en la ciudad de Huánuco – 2023.
- HE3: La resistencia a la flexión de vigas de concreto elaborado con 1% de fibra de vidrio para un f´c=210 kg/cm² no mejorará significativamente al someterle a de 170°C en la ciudad de Huánuco – 2023.

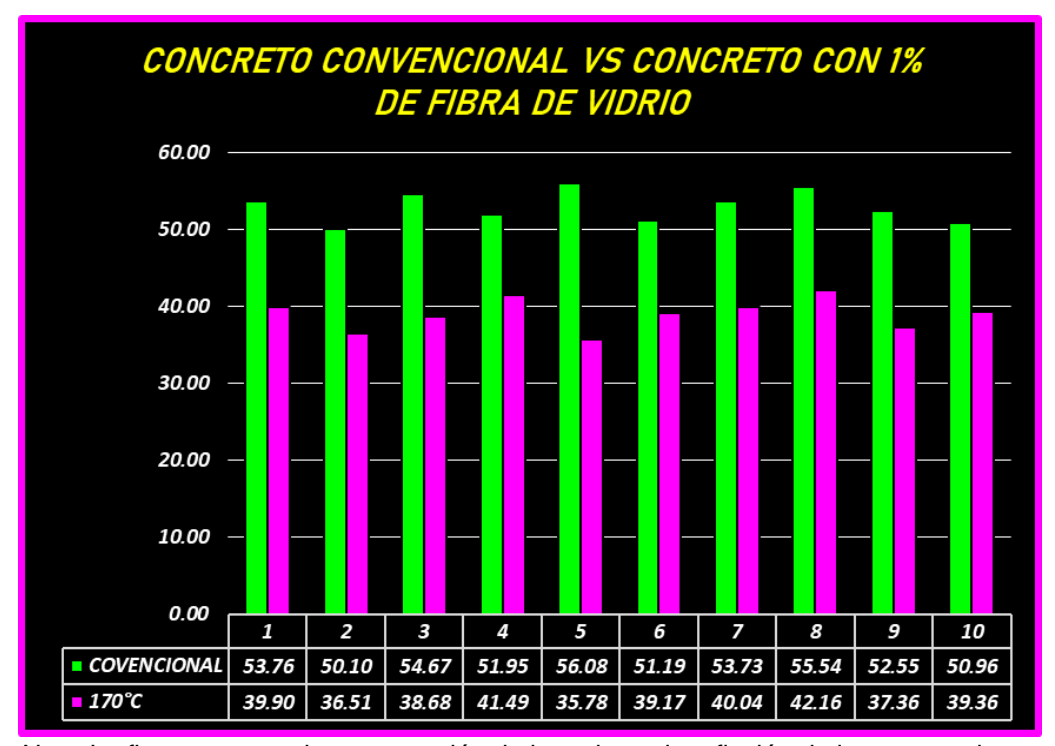
Tabla 32Comparación de resultados del concreto convencional y a temperatura de 170°C

CONCRETO CONVENCIONAL —	CONCRETO ELABORADO CON 1% DE FIBRA DE VIDRIO
	170°C
53.76	39.90
50.10	36.51
54.67	38.68
51.95	41.49
56.08	35.78
51.19	39.17
53.73	40.04
55.54	42.16

52.55	37.36
50.96	39.36

Figura 11

Comparación de los resultados de laboratorio



Nota. La figura muestra la comparación de la resistencia a flexión de los grupos de estudio.

Tabla 33

Comparación de del ensayo a flexión del concreto convencional y con 1% con fibra de vidrio expuesto a 170°C

COMPARACION DE RESULTADOS A LA FLEXION					
		Estadístico	Desv. Error		
CONCRETO CONVENCIONAL	Media	53.0530	,0254		
	Desviación estándar	2,0272			
	Mínimo	50,10			
	Máximo	56,08			
CON 1% CON FIBRA DE VIDRIO EXPUESTO A 150°C	Media	39,0464	,0192		
	Desviación estándar	2,0440			
	Mínimo	35,78			
	Máximo	42,16			

Tabla 34Pruebas de normalidad de ambos grupos

Pruebas de normalidad

	Kolmogorov-Smirnov ^a			Shap	Shapiro-Wilk		
	Estadísti c o	gl	Sig.	Estadístico	gl	Sig.	
CONCRETO CONVENCIONAL	,194	10	,200*	,996	10	,425	
CON 1% CON FIBRA DE VIDRIO EXPUESTO A 150°C	,117	10	,200*	,492	10	,267	

Interpretación

Se utilizó para el estudio la normalidad de SHAPIRO – WILK, ya que las muestras evaluadas son menores de 50, cumpliendo así (p=0.425) para el concreto convencional, y (p=0.267) para el 1% con fibra de vidrio expuesto a 170°C; cumpliendo la condición $(p\geq0.05)$.

Tabla 35Prueba t evaluada en las muestras relacionadas

Prueba de muestras emp	areiadas
------------------------	----------

	Tuobu	ao maco	ti do oii	ipai ejadas			
	Diferencias emparejadas			•			
			Desv.	95% de			
		Desv.	Error	intervalo de			Sig.
		Desviac	prom	confianza de			(bilate
		ió	ed	la			ra
		n	io	diferencia	1		l)
	Media			Inferior Superior	t	gl	
CONCRETO CONVENCIONAL CON 1% CON FIBRA DE VIDRIO EXPUESTO A 170°C.	- 1,593 7	,1723	,0817	-1,5928 -1,6147	- 50,3 4	10	1,827

La prueba t evaluada en las muestras demuestra que sí existe significancia entre la media del concreto convencional y con 1% con fibra de vidrio expuesto a 170°C (t=-50.34, p=1.827>0.05). Por lo que se toma la hipótesis donde la flexión de vigas de concreto elaborado con 1% de fibra de vidrio para un f´c=210kg/cm² no mejorará significativamente al someterle a de 170°C en la ciudad de Huánuco – 2023.

CAPITULO V

DISCUSIÓN DE RESULTADOS

5.1. PRESENTACIÓN DE LA CONTRASTACIÓN DE LOS RESULTADOS DEL TRABAJO DE INVESTIGACIÓN

Culminado los ensayos de laboratorio y haber hecho las pruebas estadísticas necesarias la resistencia a la flexión sometido a altas temperaturas de vigas de concreto elaborado con 1% de fibra de vidrio para un f'c=210 kg/cm² se obtuvo el promedio al exponerlo a temperaturas de 120°C, 150°C y 170°C la flexión de 47.50 kgf/cm² siendo este inferior al concreto convencional de 53.05 kkgf/cm2 demostrando que en promedio no mejora su flexión al exponerlo a altas temperaturas; esto concuerda con Roque (2020) donde el concreto descubierto a una temperatura de 900°C dio como resistencia a flexión a 28 días de 26.03 Kg/cm², siendo esto inferior que el grupo patrón de su estudio demostrando disminución al exponerlo a esa temperatura, así mismo concuerda con Figueroa y Bello (2018) donde sus resultados del concreto a flexión del concreto al exponerlo a 450°C dieron como resultados promedió en los días 7, 14 y 28 días (1.79, 4.2, 5.32) KN, demostrando así que a esa temperatura de exposición hace que disminuya la su resistencia a la flexión; de la misma manera se concuerda con Ospina (2021) donde los resultados que obtiene al añadir (10,20 y 30) % de caucho obtiene resultados de (2,07 – 1,94 – 1,71) MPa concluyendo que no existe mejoras con respecto a la resistencia de flexión de las vigas.

Luego de la obtención de resultados de laboratorio y haber hecho las pruebas estadísticas la resistencia a la flexión sometido a 120°C las vigas de concreto elaborado con 1% de fibra de vidrio para un f´c=210kg/cm2 se obtuvo la flexión de 58.18kgf/cm² siendo este superior al concreto convencional de 53.05 kkgf/cm² demostrando que en promedio no mejora su flexión al exponerlo a altas temperaturas; esto concuerda con Lockuan y La Peña (2020) donde sus resultados de la resistencia a la flexión del concreto 210 kg/cm2 con adición de fibra de vidrio en un 0.5% dieron como resultados promedios a los 28 días (65.0 - 67.5 - 69.0) kg/cm2, demostrando que hay un

aumento en casi un 10%; así mismo concuerda con Amaya y Ramírez (2019) donde sus resultados del concreto con adición de fibras de vidrio en el ensayo de resistencia a la flexión a los 14 y 28 días dieron como resultado promedio (477,95 - 567,10) Psi, demostrando así una mejora con respecto a las muestras patrón; demostrando así que se obtuvo mejor resultado mientras se lo puede someter a temperaturas menores de 120°C, de la misma manera se concuerda con Flores (2020) que demuestra que al añadir fibras de plástico PET reciclado para el 0.05%, 0.10% y 0.15% del volumen del espécimen, no muestran mejorías en el concreto endurecido, reduciendo en 1.81%, 5.73%, 7.11% respectivamente, para 28 días, concluyendo que no los resultados también dependerán de la calidad e agregados y tipo de material que se adicione.

Luego de la obtención de resultados de laboratorio y haber hecho las pruebas estadísticas la resistencia a la flexión sometido a 150°C las vigas de concreto elaborado con 1% de fibra de vidrio para un f´c=210 kg/cm² se obtuvo la flexión de 45.27 kgf/cm² siendo este inferior al concreto convencional de 53.05 kkgf/cm² demostrando que en promedio no mejora su flexión al exponerlo a altas temperaturas; esto concuerda con Román (2018), donde sus resultados de la resistencia a la flexión del concreto 210 kg/cm² sometido a una temperatura de 150 y 350°C por un periodo de 1 y 2 horas, dio como resistencia promedio (30 – 27) Kg/cm² y (24 – 20) Kg/cm², demostrando más disminución al exponerlo a un periodo de tiempo más prolongado; así mismo se concuerda con Duran y Velásquez (2019) que obtuvo para la resistencia a la flexión de las vigas de hormigón armado mejora cuando se reparan y refuerzan añadiendo armaduras con aditivos epóxico un momento último de 13 tn.m, así mismo la viga diseñada s/c=300 kg/cm² y reforzada alcanza un momento ultimo de 18.585 tn.m y la viga reparada alcanza un momento último de 18.560 tn.m; donde finalmente se concluye que las vigas reforzadas tienen un incremento de 42.961% más con respecto a las vigas sin reforzar y que las vigas reparadas tienen un incremento de 42.769% más con respecto a las vigas sin reforzar.

Luego de la obtención de resultados de laboratorio y haber hecho las

pruebas estadísticas la resistencia a la flexión sometido a 170°C las vigas de concreto elaborado con 1% de fibra de vidrio para un f´c=210 kg/cm² se obtuvo la flexión de 39.05 kgf/cm² siendo este inferior al concreto convencional de 53.05 kkgf/cm² demostrando que en promedio no mejora su flexión al exponerlo a altas temperaturas; esto concuerda con Meza (2019) donde su resultado a 32 días de curado en la resistencia a la flexión del concreto sometidos a temperatura de 15 min (550 - 650) °C, 30 min (650 - 750) °C y 60 min (750 - 850) °C, dio como resistencia promedio (252 – 240 – 230) Kg/cm², demostrando que mientras más se aumenta el tiempo de exposición a esas temperaturas disminuye su resistencia a la flexión; así mismo concuerda con Bonifacio (2021) que al añadir fibras de caucho en diferentes porcentajes tanto 5%, 10% y 20% no mejora la resistencia a la flexión de vigas obteniendo resultados de 45.62 kg/cm², con 10% 37.15 kg/cm² y con 20% 37.15 kg/cm².

CONCLUSIONES

- 1. Con respecto al objetivo general, se logró determinar la resistencia a la flexión sometido a altas temperaturas de vigas de concreto elaborado con 1% de fibra de vidrio para un f´c=210 kg/cm², donde se obtuvo del promedio de exposición a temperaturas de 120°C, 150°C y 170°C el resultado a la flexión de 47.50 kgf/cm² aunque este es inferior a la media del concreto convencional donde se obtuvo el valor de 53.05 kgf/cm², concluyendo que existen temperaturas de exposición que no son los adecuados para someter al concreto durante el proceso de elaboración de vigas.
- 2. Con respecto al objetivo específico 1, se logró determinar la resistencia a la flexión a la temperatura de 120°C de vigas de concreto elaborado con 1% de fibra de vidrio para un f´c=210 kg/cm², donde se obtuvo del como resultado de la exposición a temperaturas de 120°C el resultado a la flexión de 58.18 kgf/cm² siendo esto superior al valor del concreto convencional que es de 53.05 kgf/cm², concluyendo que la temperatura de exposición de 120°C es la ideal ya que es donde obtiene mejores resultados a flexión para el caso de vigas, donde se mejora sus propiedades mecánicas y por la cual se puede tener en consideración en la elaboración de proyectos civiles.
- 3. Con respecto al objetivo específico 2, se logró determinar la resistencia a la flexión a la temperatura de 150°C de vigas de concreto elaborado con 1% de fibra de vidrio para un f´c=210 kg/cm², donde se obtuvo del como resultado de la exposición a temperaturas de 150°C el resultado a la flexión de 45.27 kgf/cm² siendo este inferior al valor del concreto convencional que es de 53.05 kgf/cm², concluyendo que la temperatura de exposición de 150°C no es la adecuada ya que reduce su resistencia a la flexión en las vigas por lo que se demuestra que a mayor temperatura más es el riesgo de fallas en el elemento estructural.

4. Con respecto al objetivo específico 3, se logró determinar la resistencia a la flexión a la temperatura de 170°C de vigas de concreto elaborado con 1% de fibra de vidrio para un f´c=210 kg/cm², donde se obtuvo del como resultado de la exposición a temperaturas de 170°C el resultado a la flexión de 39.05 kgf/cm² siendo este inferior al valor del concreto convencional que es de 53.05 kgf/cm², concluyendo que la temperatura de exposición de 170°C disminuye considerablemente la resistencia a la flexión de las vigas, demostrando así de las 3 temperaturas a las cuales se le sometió a las muestras, la temperatura de 170°C es la más riesgosa porque disminuye su propiedad mecánica; por lo que no se debe tener en cuenta esta temperatura de exposición.

RECOMENDACIONES

- 1. Se recomienda realizar un análisis exhaustivo de los mecanismos de degradación que afectan la resistencia a la flexión del concreto reforzado con fibra de vidrio a altas temperaturas. Esto podría incluir investigaciones experimentales y modelado computacional para comprender cómo la combinación de calor y fibra de vidrio impacta en la matriz del concreto y las interacciones entre los componentes.
- 2. Se sugiere investigar la posibilidad de ajustar la composición del concreto, incluyendo la proporción y tipo de fibras de vidrio, así como la incorporación de otros aditivos, para mejorar la resistencia a la flexión a altas temperaturas. Esto podría implicar estudios sobre la influencia de diferentes factores, como la longitud y distribución de las fibras, en la capacidad del material para soportar cargas bajo condiciones térmicas extremas.
- 3. Considerando la vulnerabilidad del concreto reforzado con fibra de vidrio a altas temperaturas, se sugiere explorar el desarrollo de métodos adicionales de refuerzo que puedan complementar las propiedades mecánicas del material en condiciones térmicas adversas. Esto podría incluir el uso de sistemas de refuerzo pasivo o activo, como barras de acero adicionales o sistemas de refrigeración integrados en la estructura.
- 4. Se recomienda investigar la eficacia de diferentes estrategias de protección térmica para preservar la integridad estructural del concreto reforzado con fibra de vidrio en situaciones de altas temperaturas. Esto podría implicar la evaluación de recubrimientos ignífugos, sistemas de rociado de agua u otros métodos de enfriamiento para mitigar los efectos del calor sobre el material.
- 5. Para confirmar la efectividad de las recomendaciones propuestas, se deben realizar estudios experimentales a escala real en condiciones representativas de aplicación. Esto garantizará que las soluciones desarrolladas sean viables y efectivas en situaciones prácticas y

ayudará a establecer pautas para el diseño y la construcción de estructuras seguras y duraderas en entornos con riesgos térmicos.

REFERENCIAS BIBLIOGRÁFICAS

- Abanto Castillo, F. (2009). Tecnología del concreto. San Marcos E.I.R.L.
- Addleson, L., & Company Bueno, J. (1983). *Materiales para la construcción*.

 Reverté. Obtenido de https://books.google.com.pe/books?id=gPsElo-1DIMC&newbks=1&newbks_redir=0&lpg=PA159&dq=que%20es%2 Ola
- %20abrasi%C3%B3n&hl=es&pg=PA159#v=onepage&q=que%20es%2 0la%20abrasi%C3%B3n&f=false
- Alomá, E., & Malaver, M. (2007). Análisis de los conceptos de energía, calor, trabajo y el teorema de carnoten textos universitarios de termodinámica. *enseñanza de las ciencias*, 287-400. Obtenido de https://raco.cat/index.php/Ensenanza/article/view/87934/216424
- Amaya Alarcón, S., & Ramirez Zapata, M. A. (2019). Evaluación del comportamiento mecánico del concreto reforzado con fibras [Tesis de Pregrado, Universidad Católica de Colombia]. Repositorio Institucional. Obtenido de https://hdl.handle.net/10983/23923
- Besednjak, A. (2009). *Materiales Compuestos*. Ediciones UPC. Obtenido de https://books.google.com.pe/books?id=gMSg5rURr6sC&newbks=1& newbks_redir=0&lpg=PA39&dq=comportamiento%20mec%C3%A1ni co%
 - 20de%20fibras%20de%20vidrio&hl=es&pg=PA5#v=onepage&q=compo
 - rtamiento%20mec%C3%A1nico%20de%20fibras%20de%20vidrio&f =fal se
- Bonifacio Cuzqui, R. C. (2021). Evaluación de la resistencia a compresión y flexión del concreto incorporando fibras sintéticas de neumáticos Huánuco 2020 [Tesis de Pregrado, Universidad Nacional Hermilio Valdizán]. Repositorio Institucional. Obtenido de https://hdl.handle.net/20.500.13080/6426
- Bustamante Ilatoma, E. (2022). Análisis del diseño de concreto f'c=210kg/cm2 con cemento portland tipo I (andino) y cemento portland tipo gu (apu), con agregados de la cantera nueva piura del distrito de

- campo verde, provincia de coronel portillo, departamento de ucayali-2019. Repositorio Institucional. Obtenido de http://repositorio.unu.edu.pe/handle/UNU/5255
- Callister, W. (1996). Introducción a la ciencia e ingeniería de los materiales.

 Barcelona: Reverté. Obtenido de https://books.google.com.pe/books?id=YiWdEYEHBIAC&newbks=1& ne wbks_redir=0&lpg=PA674&dq=conductividad%20t%C3%A9rmica&hl =e s&pg=PA444#v=onepage&q=conductividad%20t%C3%A9rmica&f=fa
- CIP 16 Resistencia a la flexión del concreto. (s/f.). NRMCA. Obtenido de https://concretesupplyco.com/wp-content/uploads/2017/01/16pes.pdf
- Duran Jacha, I. M., & Velasquez Pimentel, L. L. (2019). Resistencia a la flexión de vigas de concreto armado, reforzadas y reparadas adicionando barras de acero con aditivo epóxico [Tesis de Pregrado, Universidad Nacional Hermilio Valdizán Huánuco]. Repositorio Institucional. Obtenido de https://hdl.handle.net/20.500.13080/5457
- E.060. (2009). E.060 CONCRETO ARMADO. Ministerio de viviendas, Construcción y Saneamiento. Obtenido de https://www.controlmixexpress.com/docs/E060_CONCRETO_ARMA D O.pdf
- Figueroa Orjuela, D. C., & Bello López, J. S. (2018). Evaluación y diagnóstico de la resistencia a compresión y a flexión del concreto simple después de expuesto a 450°C [Tesis de Pregrado, Universidad Católica de Colombia]. Repositorio Institucional. Obtenido de http://hdl.handle.net/10983/16408
- Flores Campos, E. (2020). Determinar la resistencia a la flexión que alcanza el concreto reforzado con fibras de plástico pet reciclado en los pavimentos rígidos en la ciudad de Huánuco- 2019. [Tesis de pregrado, Universidad Nacional Hermilio Valdizán]. Repositorio Institucional. Obtenido de https://hdl.handle.net/20.500.13080/6070
- Giraldo Antunez, J. G. (2019). Resistencia a la compresión y flexión de

concreto con 10% y 20% de fibras de caucho reciclado [Tesis de pregrado, universidad San Pedro]. Repositorio Institucional.

Obtenido de

http://repositorio.usanpedro.edu.pe/handle/USANPEDRO/14307

- Harmsen, T. E. (2019). *Diseño de estructuras de concreto armado.* Alpha Editorial. Obtenido de https://books.google.com.pe/books?id=mfR5EAAAQBAJ&newbks=1 &n ewbks_redir=0&lpg=PA51&dq=Cemento%20IP&hl=es&pg=PA51#v= on epage&q=Cemento%20IP&f=false
- Hernández Morelos, J. L. (2018). Diseño de un material ecológico para construcción mediante la adición de caucho de llanta al concreto [Tesis de Master, Universidad Autónoma del Estado de Morelos].

 Repositorio Institucional. Obtenido de http://riaa.uaem.mx/handle/20.500.12055/650
- Jaramillo Jiménez, J. O. (2004). *Análisis clásico de estructuras*. Universidad Nacional de Colombia. Obtenido de https://books.google.com.pe/books?id=mwohfYq9zC8C&newbks=1& ne wbks_redir=0&lpg=PA53&dq=que%20es%20Resistencia%20a%20la % 20flexi%C3%B3n%20del%20concreto&hl=es&pg=PA53#v=onepage &q
- =que%20es%20Resistencia%20a%20la%20flexi%C3%B3n%20del%20 concreto&f=false
- Jaramillo Jiménez, J. O. (2010). Ingeniería estructural. Universidad Nacional de Colombia. Obtenido de https://books.google.com.pe/books?id=ZzSrDwAAQBAJ&newbks=1& ne wbks_redir=0&lpg=PT163&dq=que%20es%20Resistencia%20a%20l a%20flexi%C3%B3n%20del%20concreto&hl=es&pg=PT163#v=onep age

&q=que%20es%20Resistencia%20a%20la%20flexi%C3%B3n%20d el% 20concreto&f=false

- Kosmatka, S. H., Kerkhoff, B., Panarese, W. C., & Tanesi, J. (2004). *Diseño y conctrol de mezclas de concreto.* México: Portland Cement Association (PCA). Obtenido de https://es.slideshare.net/philip c/pca-40034964
- Lockuan Araníbar, J. A., & La Peña Sagastegui, P. (2020). *Influencia de la fibra de vidrio al 1%, 2% y 3% en las resistencias a la compresión y flexión del concreto F'C=210kg/cm² con respecto al agregado fino Chimbote 2020 [Tesis de pregrado, Universidad César Vallejo].*Repositorio Institucional. Obtenido de https://hdl.handle.net/20.500.12692/62194
- Meza Calderón, E. B. (2019). Evaluación de las propiedades mecánicas del concreto armado expuesto al fuego en intervalos de tiempos, Lambayeque. 2018[Tesis de pregrado, Universidad Señor de Sipán].

 Repositorio Institucional. Obtenido de https://hdl.handle.net/20.500.12802/6379
- Morales Ortuño, S. A. (2008). Fibras de vidrio, pruebas y aplicaciones [Tesis de Pregrado, Instituto politécnico Nacional]. Repositorio Institucional.

 Obtenido de http://tesis.ipn.mx:8080/xmlui/handle/123456789/4698
- Niño Hernández, J. R. (2010). *Tecnología del concreto Materiales, Propiedades y Diseño de Mezclas*. Colombia: ASOCRETO.
- NTP 339.079. (2012). CONCRETO. Método de ensayo para determinar la resistencia a la flexión del concreto en vigas simplemente apoyadas con cargas en el centro del tramo. INDECOPI. Obtenido de https://es.scribd.com/document/372901345/NTP-339-079-2012-pdf#
- NTP 339.088. (2019). CONCRETO. Agua de mezcla utilizada en la producción de concreto de cemento Pórtland. INACAL. Obtenido de https://es.scribd.com/document/445076889/NTP-339-088-aguas
- NTP 400.011. (2008). AGREGADOS. Definición y clasificación de agregados para uso en morteros y hormigones (concretos). Lima: INDECOPI. Obtenido de https://pdfcoffee.com/ntp-400011-2008-5-pdf-free.html
- NTP 400.037. (2018). Agregados. Agregados para concreto. Requisitos.
 INICAL. Obtenido de https://es.slideshare.net/slideshow/ntp-400-037-2014especificacionesagregados/176775996

- Ospina Garcia, M. A. (2021). Análisis de concreto adicionado con residuos de llanta de caucho para la elaboración de prefabricados para urbanismo [Tesis de Pregrado, Universidad Militar Nueva Granada].

 Repositorio Institucional. Obtenido de http://hdl.handle.net/10654/38544
- Páez, A. (1986). Hormigón armado. Editorial Reverte. Obtenido de https://books.google.com.pe/books?id=5wfVaiKduB8C&newbks=1&new bks_redir=0&lpg=PA225&dq=relaci%C3%B3n%20agua%20y%20ce me nto&hl=es&pg=PR4#v=onepage&q=relaci%C3%B3n%20agua%20y%20ce %2 0cemento&f=false
- Pérez Quiroz, J. T., López Miguel, A., Téllez Martínez, J. S., Arroyo Olvera, M., & Terán Guillén, J. (2023). Estudio del comportamiento del concreto sometido a alta temperatura. Querétaro: Comunicaciones secretaria de infraestructura, comunicaciones y transportes. Obtenido de https://www.imt.mx/archivos/Publicaciones/PublicacionTecnica/pt726. p df
- Perles, P. (2003). Hormigón armado. Nobuko. Obtenido de https://books.google.com.pe/books?id=4fLpxffkb90C&newbks=1&ne wb ks_redir=0&lpg=PA22&dq=endurecimiento%20del%20concreto&hl=e s&
- pg=PP1#v=onepage&q=endurecimiento%20del%20concreto&f=false
 Roman Segundo, L. P. (2018). Evaluación de efectos del fuego en
 componentes de concreto armado para determinar el grado de
 deterioro en sus propiedades mecánicas [Tesis de Pregrado,
 Universidad César Vallejo]. Repositorio Institucional. Obtenido de
 https://hdl.handle.net/20.500.12692/51008
- Roque Ccorahua, A. S. (2020). Propiedades mecánicas del concreto de mediana resistencia sometido a altas temperaturas del fuego, Lima 2019 [Tesis de Pregrado, Universidad César Vallejo]. Repositorio Institucional. Obtenido de https://hdl.handle.net/20.500.12692/88944

Tapia Medina, C. (2021). Evaluación del concreto adicionando residuos de cerámica y porcelanato [Tesis de Pregrado, Universidad Nacional Autónoma de Chota]. Repositorio Institucional. Obtenido de https://hdl.handle.net/20.500.14142/176

COMO CITAR ESTE TRABAJO DE INVESTIGACIÓN

Isidro Salazar, R. (2025). Evaluación de la resistencia a la flexión sometido a altas temperaturas de vigas de concreto elaborado con 1% de fibra de vidrio para un f´c=210kg/cm2 en la ciudad de Huánuco – 2023 [Tesis de pregrado, Universidad de Huánuco]. Repositorio Institucional UDH. http://...

ANEXOS

ANEXOS 1

MATRIZ DE CONSISTENCIA

TITULO: EVALUACIÓN DE LA RESISTENCIA A LA FLEXIÓN SOMETIDO A ALTAS TEMPERATURAS DE VIGAS DE CONCRETO ELABORADO CON 1%

DE FIBRA DE VIDRIO PARA UN F´C=210KG/CM² EN LA CIUDAD DE HUÁNUCO – 2023

FORMULACION DEL PROBLEMA	OBJETIVOS	HIPÓTESIS	METODOLOGÍA
DDODLEMA OFNEDAL	OR JETIMO OFNERAL	LUDÁTEGIO GENERAL	TIPO DE INVESTIGACIÓN:
PROBLEMA GENERAL:	OBJETIVO GENERAL:	HIPÓTESIS GENERAL:	ENEGOLIE:
¿Cuál será la resistencia a la flexión sometido a altas	Determinar la resistencia a la flexión sometido a altas	La resistencia a la flexión de vigas	ENFOQUE: Cuantitativo
flexión sometido a altas temperaturas de vigas de	flexión sometido a altas temperaturas de vigas de	de concreto elaborado con 1% de fibra de vidrio para un f'c=210	Cuarillalivo
concreto elaborado con 1% de	concreto elaborado con 1% de	kg/cm2 mejorará	ALCANCE:
fibra de vidrio para un f´c=210	fibra de vidrio para un f´c=210	significativamente al someterle a	Explicativa
kg/cm2 en la ciudad de Huánuco	kg/cm2 en la ciudad de Huánuco	altas temperaturas en la ciudad de	Σλρποαιίνα
- 2023?	- 2023.	Huánuco – 2023.	DISEÑO:
			Experimental
PROBLEMAS ESPECÍFICOS:	OBJETIVOS ESPECIFICOS:	HIPÓTESIS ESPECIFICA:	
 ¿Cuál será la resistencia a la 	 Determinar la resistencia a la 	 La resistencia a la flexión de 	POBLACION:
flexión a la temperatura de	flexión a la temperatura de	vigas de concreto elaborado con	Estará representada por 120 vigas de concreto
120°C de vigas de concreto	120°C de vigas de concreto	1% de fibra de vidrio para un	entre convencional y elaborado con 1% de fibra
elaborado con 1% de fibra de	elaborado con 1% de fibra de	f´c=210 kg/cm2 mejorará	de vidrio para un f'c=210 kg/cm2 que serán
vidrio para un f´c=210 kg/cm2 en	vidrio para un f´c=210kg/cm2 en	significativamente al someterle a	sometidas a diferentes temperaturas de 120°C,
la ciudad de Huánuco – 2023?	la ciudad de Huánuco – 2023.	120°C en la ciudad de Huánuco –	150°C y 170°C.
• ¿Cuál será la resistencia a la	Determinar la resistencia a la flevién a la temperature de 150°C	2023.	MUESTRA:
flexión a la temperatura de 150°C de vigas de concreto	flexión a la temperatura de 150°C de vigas de concreto elaborado	La resistencia a la flexión de vigas de concrete elaborada con	Sera compuesta por 30 especímenes de
elaborado con 1% de fibra de	con 1% de fibra de vidrio para un	vigas de concreto elaborado con 1% de fibra de vidrio para un	concreto, estos 30 especímenes serán
vidrio para un f´c=210 kg/cm2 en	f'c=210 kg/cm2 en la ciudad de	f'c=210 kg/cm2 mejorará	elaborados con 1% de fibra de vidrio para un
la ciudad de Huánuco – 2023?	Huánuco – 2023.	significativamente al someterle a	f'c=210 kg/cm2 que serán sometidas a
¿Cuál será la resistencia a la	Determinar la resistencia a la	•	diferentes temperaturas de 120°C, 150°C y
flexión a la temperatura de	flexión a la temperatura de	2023.	170°C.

170°C de vigas de concreto
elaborado con 1% de fibra de
vidrio para un f´c=210 kg/cm2 en
la ciudad de Huánuco – 2023?

to 170°C de vigas de concreto e elaborado con 1% de fibra de n vidrio para un f'c=210 kg/cm2 en la ciudad de Huánuco – 2023.

•La resistencia a la flexión de vigas de concreto elaborado con 1% de Variables: fibra de vidrio para un f'c=210 V.D.= Resistencia a la flexión de vigas. kg/cm2 significativamente al someterle a 170°C en la ciudad de Huánuco – 2023.

mejorará V.I.= Fibra de vidrio y altas temperaturas.

ANEXO 2 RESULTADOS DE LABORATORIO



PROFUNDIDAD:	2.00 m			UBICACIÓN:	LOCALIDAD DE CHULLQUI	
DETALLE:	CANTERA PARA A	GREGADO				
CANTERA:	CHULLQUI	MUESTRA:	M-1 M-2	NIV. FREATICO:	NP	
SOLICITA:	BACH. ISIDRO SAI	AZAR, ROSAMEL ABI	EL		_	
PROPIETARIO:	BACH. ISIDRO SAI	AZAR, ROSAMEL ABI	EL			
UBICACION:	HUANUCO - HUAN	UCO - HUANUCO				
PROYECTO:					SOMETIDO A ALTAS TEMPERATURAS I A UN F'C=210KG/CM2 EN LA CIUDAD DE	

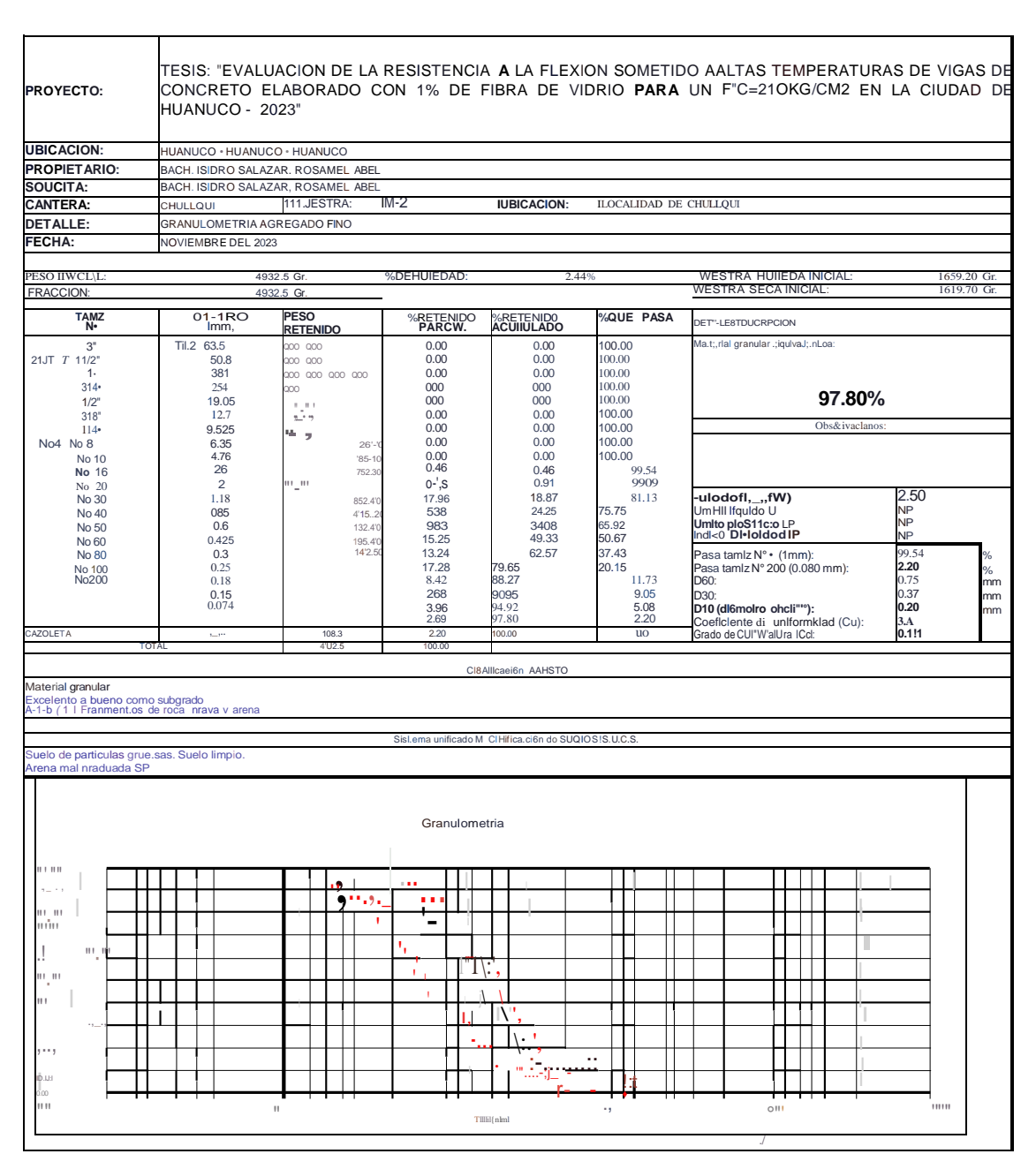
PERFIL ESTRATIGRAFICO

ESPESOR	ESTRATO	CLASIFI	CACION	SIMBOLO	DESCRIPCION	PANEL FOTOGRAFICO
	Agregado grueso (piedra chancada de 1/2")	GP	A-1-a(1)		Grava mal graduada	
	Agregado fino (arena gruesa)	SP	A-1-b(1)		Arena mal graduada	

Mario Solliani Vario

Ing. Leónides Villamena Albai CIP. 78839









	TESIS: "EVALUACION					
ROYECTO:	TEMPERATURAS DE '					BRA DE VIDE
	PARA UN F-C=210KG/0	CM2 EN	LA CIUDAD DE	HUANUC0-202	3"	
BICACIUN: ROPIETARIO:	HUANUCO-HUANUCO-HU BACH, ISIDRO SALAZAR, I		ARFI			
OLICITA:	BACH. ISIDRO SALAZAR,					
ANTERA:	CHULLQUI		UBICACION:	LOCALIDAD DI	E CHULLQUI	
ETALLE:	PESO UNITARIO SUELTO	SECO		-1		
ROFUNDDAD:	2.00 m					
ECHA:	NOVIEMBRE DEL 2023					
	DESO III		GREGADO FINO O SUELTO SECO	NTD 400 017		
MUESTRA	1 ESO CI	Unld.		M-2	M-3	M-•
	21"11"50 + recipiente	er.	6532	6515	6528	6547
"50 del reciniente			2287.00	2287.00	2287.00	2287.00
olume• de recinnte		cm3		27S9.0I	27!UO	27!9.IO
eso de) a ,_,,ado a	eso		424!.00	4221.0I	4241.00	42'0.IO
eso unitario sueho s		:arm3	t,Jl.60	1!32.44	1,.1,.u	ISU.M
eso Unitario Com	pacto sea,	<u> </u>	.06 IKwm3.			
	DECO III		EGADO GRUES SUELTO SECO	_		
MUESTRA	FESO CI	Unld.		M-2	M-3	M-4
	lo Iln.leso +recioiente	er.	6314	6325	6347	6325
eso deJ reciniente			2287.00	2287.00	2:287.00	2287.0t1
olume de recini.nte		cm3	. 2759.00	27S9.0I	27!9.00	27!9.IO
'eso de) avnc,ado an1	eso	er.	.027.00	0038.01	00	"°311.IO
'eso unitario sueho s	ero	:arm3	145t 9	14'3.'7	1471 5	1''3 7
eso Unitario Com	pacto sea,	1464	.57 IKwm3 ,			
	,is <u>'</u>				@)·=	

PROYECTO:	TESIS: "EVALUAC TEMPERATURAS [
	PARA UN f"C=210K	G/CM2 EN LA	CIUDAD DE	HUANUCO-202	23"	
IBICACION:	HUANUCO-HUANUCO-					
ROPIETARIO:	BACH. ISIDRO SALAZ					
OUCITA: CANTERA:	BACH. ISIDRO SALAZ	AR, ROSAMEL	UBICACION:	LOCALIDAD DE	CHILLOIN	
DETALLE:	PESO UNITARIO SUEI	TO SECO	UBICACION:	LOCALIDAD DE	CHULLQUI	
ROFUNDIDAD:	2.00 m	LTO SECO				
ECHA:	NOVIEMBRE DEL 2023	3				
	DECO		EGADO FINO	O - NTD 400 012	7	
MUESTRA	PESO	UNITARIO CO	MPACTO SEC	O • NTP 400.017		M 4
	do 2n1eso + redplenle	Unia. I!r.	M-1 6925	M-2 6935	M-3 6945	M-4 6985
eso del recipiente	do 2111050 + Templetile	!!r. !L	2281.00	2281.00	2287.00	2281.00
Volumen de recipiente		crn3.	2759.00	2759.00	2759.00	2759.00
eso del """"do 1n		i:r.	46.18.00	4648.00	46!8.00	4698.00
eso unitarlo suelto s		Kw'm3	1681.04	1684.67	1688.29	1702.79
						<u>-</u>
Peso Unitario Con	npacto seco	1689.:	20 IKgtmJ.			
Peso Unitario Con		AGRE	GADO GRUES	_	7	
		AGRE	GADO GRUES	O O - NTP 400.017 M-2	7 M-3	M-4
MUESTRA		AGREO UNITARIO CO	GADO GRUES	O - NTP 400.017		M-4 6745
MUESTRA Peso seco del ,av	PESO 1	AGREO UNITARIO CO Unld.	GADO GRUES MPACTO SEC M-1	O - NTP 400.017 M-2	M-3	
MUESTRA Peso seco del,a Peso del recipiente Volumen de recinlente	PESO 1 do 2n1eso + reciplente	AGREOUNITARIO CO	GADO GRUES MPACTO SEC M-1 6701	M-2 6725 2287.00 2759.00	M-3 6735	6745
MUESTRA l'eso seco del ,a l'eso del recipiente Volumen de recinlenle l'eso del Illm!!!lldo 1m	PESO 1 do 2n1eso + reclplente enteso	AGREOUNITARIO CO Unld. IIL gr. crn3. i:r.	GADO GRUES MPACTO SEC M-1 6701 2287.00 2759.00 4414.00	CO - NTP 400.017 M-2 6725 2287.00 2759.00 4438.00	M-3 6735 2287.00 2759.00 4448.00	6745 2287.00 2759.00 4458.00
MUESTRA Peso seco del ,a Peso del recipiente Volumen de recinlenle Peso del Illm!!!lldo 1m	PESO 1 do 2n1eso + reclplente enteso	AGRECUNITARIO CO Unld. L gr. crn3.	GADO GRUES MPACTO SEC M-1 6701 2287.00 2759.00	M-2 6725 2287.00 2759.00	M-3 6735 2287.00 2759.00	6745 2287.00 2759.00
MUESTRA l'eso seco del ,a l'eso del recipiente Volumen de recinlente l'eso del Illm!!!lldo 1m	PESO 1 do 2n1eso + reclplente enteso	AGRECUNITARIO CO Unld. IIL gr. crn3. i:r. Kll/m3	GADO GRUES MPACTO SEC M-1 6701 2287.00 2759.00 4414.00 1599.86	CO - NTP 400.017 M-2 6725 2287.00 2759.00 4438.00	M-3 6735 2287.00 2759.00 4448.00	6745 2287.00 2759.00 4458.00
MUESTRA Peso seco dela Peso del recipiente Volumen de reciniente Peso del illm!!!lldo In Peso unilarlo suelto	PESO 1 do 2n1eso + reclplente en 11eso secco	AGREOUNITARIO CO Unld. IIL gr. crn3. i:r.	GADO GRUES MPACTO SEC M-1 6701 2287.00 2759.00 4414.00 1599.86	CO - NTP 400.017 M-2 6725 2287.00 2759.00 4438.00	M-3 6735 2287.00 2759.00 4448.00	6745 2287.00 2759.00 4458.00
MUESTRA Peso seco dela Peso del recipiente Volumen de recinlente Peso del Illm!!!lldo Im Peso unilarlo suelto :	PESO 1 do 2n1eso + reclplente en 11eso secco	AGRECUNITARIO CO Unld. IIL gr. crn3. i:r. Kll/m3	GADO GRUES MPACTO SEC M-1 6701 2287.00 2759.00 4414.00 1599.86	CO - NTP 400.017 M-2 6725 2287.00 2759.00 4438.00	M-3 6735 2287.00 2759.00 4448.00	6745 2287.00 2759.00 4458.00
MUESTRA Peso seco dela Peso del recipiente Volumen de recinlente Peso del Illm!!!lldo 1m Peso unilarlo suelto :	PESO 1 do 2n1eso + reclplente en 11eso secco	AGRECUNITARIO CO Unld. IIL gr. crn3. i:r. Kll/m3	GADO GRUES MPACTO SEC M-1 6701 2287.00 2759.00 4414.00 1599.86	CO - NTP 400.017 M-2 6725 2287.00 2759.00 4438.00	M-3 6735 2287.00 2759.00 4448.00	6745 2287.00 2759.00 4458.00
MUESTRA Peso seco del	PESO 1 do 2n1eso + reclplente en 11eso secco	AGRECUNITARIO CO Unld. IIL gr. crn3. i:r. Kll/m3	GADO GRUES MPACTO SEC M-1 6701 2287.00 2759.00 4414.00 1599.86	CO - NTP 400.017 M-2 6725 2287.00 2759.00 4438.00	M-3 6735 2287.00 2759.00 4448.00	6745 2287.00 2759.00 4458.00 1615.IIO



PROYECTO:	TESIS: "EVALUACION DE LA RESISTENCIA VIGAS DE CONCRETO ELABORADO CON CIUDAD DE HUANUCO - 2023"				
UBICACION:	HUANUCO-HUANUCO-HUANUCO				
PROPIETARIO:	BACH. ISIDRO SALAZAR, ROSAMEL ABEL				
SOLICITA:	BACH. ISIDRO SALAZAR, ROSAMEL ABEL				
CANTERA:	CHULLQUI IMUESTRA:IM-1 M-2	U CACI6N:	LOCALIDAD	DE CHULLQUI	
DETALLE	: GRAVEDAD ESPECIFICA DE LOS AGREGADOS				
FECHA:	NOVIEMBRE DEL 2023				
	GRAVEDAD ESPECIFICA Y AB	SORCION DE L	OS AGREGADO	os	
	AGREGADO F	WO MTCE205	1		
А	Pesa Mal. Sat Sup. Seca (en l\Jre) (gr)	200	200	200	
В	Peso Frasco+ agua	361	365	358	
С	Pesa Frasco+ agua + A (gr)	561.0	565.0	558.0	
D	Pesa del Mat. + agua en el frasca (gr)	486	490	483	
Е	Val de masa + val de vacra° C-D (gr)	75.0	75.0	75.0	
F	Pe. De Mat. Seca en estufa (105°C) (gr)	195.6	195.4	195.8	
G	Val de masa ∘ E-(A- F) (gr)	70.6	70.4	70.8	PROMEDIO
	Pe bulk (Base seca) ° FIE	2.608	2.605	2.611	2.608
	Pe bulk (Base saturada)。 A/E	2.667	2.667	2.667	2.667
	Pe aparente (Base Seca)° FIG	2.n1	2.776	2.766	2.771
	% de absarci6n ° ((A - F)IF)"1DO	2.249	2.354	2.145	2250
		,	JI	1	ų.
	AGREGADO GE	RUESO MTC E 20	6		
A	Pesa Mal.Sat. Sup. Seca (En Aire) (gr)	3256	3345	3285	
В	Pesa Mat.Sat. Sup. Seca (En Agua) (gr)	2045	2099	2065	
С	Val. de masa + val de vacras A-B (gr)	1211.0	1246.0	1220.0	
D	Pesa material seca en eslufa (105"C)(gr)	3229	3318	3258	
E	Val. de masa° C- (A - D) (gr)	1184.0	1219	1193	PROMEDIO
	Pe bulk (Base seca)。 <i>DIC</i>	2.666	2.663	2.670	2.667
	Pe bulk (Base saturada) ∘ A/C	2.689	2.685	2.693	2.689
	Pe Aparente (Base Seca) · DIE	2.727	2.722	2.731	2.727
	%deabsarci6n ° ((A- D)ID- 100)	0.836	0.814	0.829	0.826
∥' -\ Cfil• Ou,f;C'	; ;			a (a) '4filc::::	u.i

PROYECTO:	TEMPERATURAS DE	VIGAS DE CONCRET	A A LA FLEXION SOMETI TO ELABORADO CON 1% D DE HUANUCO - 2023"	
JBICACION:	HUANUCO-HUANUCO-F	HIANLICO		
PROPIETARIO:	BACH, ISIDRO SALAZAR			
IOIICITA:	BACH, ISIDRO SALAZAR.			
CANTERA:	CHULLQUI	UBICACKJN:	LOCALIDAD DE CHULI	OUI
DETALLE:	CANTERA PARAAGREGA		LOCALIDAD DE CHULI	_QUI
FECHA:	NOVIEMBRE DEL 2023			
ECHA.	NOVIEWBRE DEL 2023			
MUESTRA	M-1	2216CONTENIDO DE HHM M-2	M-J	M-4
luelo Humedo + En		500.0	500.0	500.0
Suelo seco + Envase	107.1	488.9	488.2	489.1
PnocleEnvne	33.5	33.5	34.1	32.6
PnoclalAaua Pno de Suelo Saco	10.80	11.10	11.80	10.90
			4\$4.10 2.60%	456.50 2.39%
		2.44%	2.60%	2.39%
HUIIEDAD %	2.37%		0.450/	
	2.37%		2.45%	
HUIIEDAD %	2.37%		2.45% HUIIEDAD	2.45%
HUIIEDAD %	2.37%			2.45%
HUIIEDAD %		I.D • 2.216 CONTE.NIDO DE IJUl≀ofE	HUIIEDAD	2.45%
HUIIEDAD %		I D • 2.216 CONTE.NIDO DE JUliofE M-2	HUIIEDAD	2.45 %
HUIIEDAD % PROIEDIO % IUESTRA Suelo Humedo + En		M-2 1425	DAD AGREGADO GRUESO M-J 1465	M-4 1585
HUIIEDAD % PROIEDIO % IUESTRA Suelo Humedo + Em	ASTM M-1 1524 9 1523	M-2 1425 1424	DAD AGREGADO GRUESO M-J 1465 1464	M-4 1585 1584
HUIIEDAD % PROIEDIO % IUESTRA Suelo Humedo + Envase Pno de Envase	ASTM Vase 1524 9 1523 131.S	M-2 1425 1424 125.6	M-J 1465 1464 130.5	M-4 1585 1584 125.6
HUIIEDAD % PROIEDIO % IUESTRA Suelo Humedo + Entouelo seco + Envase Pno de Envase Pno cial Aaua	ASTM Vase	M-2 1425 1424 125.6 1.00	M-J 1465 1464 130.5 1.00	M-4 1585 1584 125.6 1.00
HUIIEDAD % PROIEDIO % IUESTRA Suelo Humedo + En Suelo seco + Envase Pno de Envase Pno de IAuaa Pno de Suelo Saco	ASTM M-1 1524 1523 131.S 1.00 1391.5(M-2 1425 1424 125.6 1.00 129UO	M-J 1465 1464 130.5 1.00 1333.50	M-4 1585 1584 125.6 1.00 1'58.40
HUIIEDAD % PROIEDIO % IUESTRA Suelo Humedo + Eni Suelo seco + Envase Pno de Envase Pno de Suelo Saco HUIIEDAD %	ASTM Vase	M-2 1425 1424 125.6 1.00 129UO	M-J 1465 1464 130.5 1.00 1333.50 0.07%	M-4 1585 1584 125.6 1.00
HUIIEDAD % PROIEDIO % IUESTRA Suelo Humedo + En	ASTM M-1 1524 1523 131.S 1.00 1391.5(M-2 1425 1424 125.6 1.00 129UO	M-J 1465 1464 130.5 1.00 1333.50	M-4 1585 1584 125.6 1.00 1'58.40
HUIIEDAD % PROIEDIO % IUESTRA Suelo Humedo + Eni Suelo seco + Envase Pno de Envase Pno de Suelo Saco HUIIEDAD %	ASTM M-1 1524 1523 131.S 1.00 1391.5(M-2 1425 1424 125.6 1.00 129UO	M-J 1465 1464 130.5 1.00 1333.50 0.07%	M-4 1585 1584 125.6 1.00 1'58.40

Mario Schillandeva Nizari TECNICO LABORATORISTA

OP.18831

	TESIS: "EVALUACION	DE LA RESISTE	NCIA /	A LA FLEXION SOMETIDO A ALTAS
PROYECTO:				ELABORADO CON 1% DE FIBRA DE
r ROTEOTO.				DAD DE HUANUCO-2023"
	VIBINIO 171101 CIVI C-	2 TORO, OME EN	_, (0.0.	DAD DE 110/1140 00 2020
UBICACION:	HUANUCO-HUANUCO-HI	UANUCO		
PROPIETARIO:	BACH. ISIDRO SALAZAR,	ROSAMEL ABEL		
SOLICITA:	BACH. ISIDRO SALAZAR,			
CANTERA:	CHULLQUI	UBICACION:	LOCA	ALIDAD DE CHULLQUI
DETALLE:	CANTERA PARA AGREGA	ADO		
FECHA:	NOVIEMBRE DEL 2023			
	ENS	SAYO DE LOS AN	VGELE.	S
	ASTM C-131 A	AASHTOT-96		
TIPO DE ENSAYO:	l			
TIPO DE ENSATO:	В			
PESO ANTES DELE SA	YO	5002	Gr.	
PI!SO DI!SPUI!S DI!L I!N	SAYO	3765	Gr.	
DI!SGASTE WS ANGELI	ES .	24.73%	%	
				U
⊥ °ri::CNtCO L/>I<01 l'• ,	11T.:			- :.,AW

PROYECTO:	TESIS: "EVALUACI6N DE LA RESISTENCIA A LA FLEXI6N SOMETIDO A ALTAS TEMPERATURAS DE VIGAS DE CONCRETO ELABORADO CON 1% DE FIBRA DE VIDRIO PARA UN F'C=210KG/CM2 EN LA CIUDAD DE HUA.NUCO - 2023"
UBICACI6N:	HUANUCO-HUANUCO
PROPIETARIO:	BACH. ISIDRO SALAZAR, ROSAMEL ABEL
SOLICITA:	BACH. ISIDRO SALAZAR, ROSAMEL ABEL
DETALLE:	CANTIDAD DE MATERIAL FINO QUE PASA EL TAMIZ Nº200
FECHA:	NOVIEMBRE DEL 2023

CANTIDAD DE MATERIAL FINO QUE PASA EL TAMIZ (N°200) (NORMA MSHTO C-117)

PESO ORIGINAL SECO (gr)	P.M.LAVADA SECA(gr)	%MATERIAL FINO
1685	1646	2.31

Observaciones:

Muestra tomada en campo para su procesamiento en /aboratorio

• =-AW



OYECTO:		S DE VIGAS DE CONCF 0KG/CM2 EN LA CIUDA			RA DE VIDRIO
:	HUANUCO-HUA	NUCO-HUANUCO			
OPIETARIO:	BACH. ISIDRO S	SALAZAR ROSAMELA			
UCITA:	BACH. ISIDRO S CHULLQUI	SALAZAR. ROSAMEL A	BEL		
N T ERA:	LOCALIDAD DE	CHULLQUI			
CEMENTO: Portlad, Tipo I, Marca "A AGREGAOO FINO Y GRUESO -Prov Al Itl.lie CIE t Qi MAIEBIAI ES-	NDINO" reniente de la Cantera	IV/FERIALES *CHULLQUI" METODOASCI fc = 210 Kg/cm*			
CEMENTO PORTIAND TIPO PESO ESPECIFIGO		3,12	kglm3		
AGREGADOS MODULO DE FINEZA (%) CONTENIOO DE HUMEDAD(%) ABSORCION (%) PESO ESPECIFICO (gr/cm3) PESO UNITARIO SUELTOSECO (kg PESO UNITARIO SUELTOSECO (kg	g{m3)) (kglm3)	FINO 2.IO 2.25 2.61 1138 1681	GRUESO 1.11 0.07 0.II 2.17 1 I 1809		
AW.1.6 PESO ESPECIFIGO	1000)1			
DATOS OE DISENO RESISTENCIA A LA COMPRESION I TAMATIIO MAXIMO DEL AGREGADO TAMA.NO MAXIMO NOMINAL DEL AI SLUMP				···IC	m2
		DISENO DE MEZCLA			
RESISTENCIA PROMEDIO REQUEF	KIDA (ter)				
		DONDE:	210 t ⁽⁸		kglcm2
RELACION AGUA CEMENTO AJC		DONDE: DONOE: AGUA DE MEZCLADO			kglcm2
RELACION AGUA CEMENTO AJC		DONOE-		= 295	1kg.m3
RELACION AGUA CEMENTO AJC RELACION AJC POR DURABILIDAD	P.O» RESEHIAE KOPOCION ALMGURIAGENTE	DONOE- AGUA DE MEZCLADO rcr= Inierpolando fer: 250 300	fa	295	1kg.m3
		DONOE: AGUA DE MEZCLADO rct= Inlerpolando fer: 250	295 kgfcm2 AJG 0.62	295	1ko m3 DiJ)arado
RELACION AJC POR DURABILIDAD		DONOE- AGUA DE MEZCLADO rcr= Inlerpolando fer: 250 300 dedoode: 298	295 kgfcm2 AJG 0.62 0.55	= 295 228 sin aire in CC	1ko m3 DiJ)arado
		DONOE- AGUA DE MEZCLADO rcr= Inlerpolando fer: 250 300 dedoode: 298	295 kgfcm2 AJG 0.62 0.55 0.56	= 295 Z28 sin aire in CC	Ikam3 DIJ)arado
RELACION AJC POR DURABILIDAD ,		DONOE- AGUA DE MEZCLADO rcr= Inlerpolando fer: 250 300 dedoode: 298	295 kgfcm2 AJG 0.62 0.55 0.56	= 295 228 sin aire in CC	1ko.m3 DiJ)arado
RELACION AJC POR DURABILIDAD	ALMG\tuAGENTE	DONOE- AGUA DE MEZCLADO rcr= Inlerpolando fer: 250 300 dedoode: 298	295 kgfcm2 AJG 0.62 0.55 0.56 EZCLADO/AIC 228 k	295 228 Sin aire in CC AJG,	1ko.m3 DiJ)arado
RELACION AJC POR DURABILIDAD , CONTE:NIDO DE CEMENTO	ALBIG\RLAGENTE	DONOE- AGUA DE MEZCLADO rcr= Inlerpolando fer: 250 300 dedoode: 298	295 kgfcm2 AJG 0.62 0.55 0.56 EZCLADO/AIC 228 k	E 295 28 Sin aire in CC AJG, 4 total bolsas	1ko.m3 DiJ)arado
RELACION AJC POR DURABILIDAD , CONTE.NIDO DE CEMENTO CONTENIDO DE AGREGAOO GRUES	ALMGURLAGENTE SO O SECO COMPACTO	DONOE- AGUA DE MEZCLADO rcr= Inlerpolando fer: 250 300 dedoode: 298	295 kgfcm2 AJG 0.62 0.55 0.56 EZCLADO/AIC 228 0.56	E 295 28 Sin aire in CC AJG, 4 total bolsas	1ko.m3 DiJ)arado
CONTENIDO DE AGREGADO GRUESI AGREGADO GRUESI CALCULO DE VOLUMENES ABSOL	ALMGURLAGENTE SO O SECO COMPACTO	DONOE- AGUA DE MEZCLADO rcr= Inlerpolando fer: 250 300 dedoode: 298	295 kgfcm2 AJG 0.62 0.55 0.86 EZCLADO/AIC 228 0.56 0.591 949 k	AJG, AJG, total bolsas	1ko.m3 DiJ)arado
RELACION AJC POR DURABILIDAD , CONTE.NIDO DE CEMENTO CONTENIDO DE AGREGADO GRUESO COLUMEN DE AGREGADO GRUESO CALCULO DE VOLUMENES ABSOL	ALMGURLAGENTE SO O SECO COMPACTO	DONOE- AGUA DE MEZCLADO rcr= Inlerpolando fer: 250 300 dedoode: 298	295 kgfcm2 AJG 0.62 0.55 0.86 EZCLADO/AIC 228 0.56 0.131 m 0.228 m	Z28 sin aire in CC AJG, total bolsas	1ko.m3 DiJ)arado
RELACION AJC POR DURABILIDAD , CONTE.NIDO DE CEMENTO CONTENIDO DE AGREGADO GRUESO COLUMEN DE AGREGADO GRUESO CALCULO DE VOLUMENES ABSOL CEMENTO AGUA	ALMGURLAGENTE SO O SECO COMPACTO	DONOE- AGUA DE MEZCLADO rcr= Inlerpolando fer: 250 300 dedoode: 29S DONDE- CEMENTO=AGUA DE M	295 kgfcm2 AJG 0.62 0.55 0.56 EZCLADO/AIC 228 0.56 0.131 m 0.228 m 0.025 m 0.0356	E 295 Z28 Sin aire in CC AJG, total bolsas	1ko.m3 DiJ)arado
CONTENIDO DE AGREGADO GRUESO COLUMEN DE AGREGADO GRUESO CALCULO DE VOLUMENES ABSOL CEMENTO AGUA AIRE	ALBIGURLAGENTE SO O SECO COMPACTO UTOS	DONOE- AGUA DE MEZCLADO rcr= Inlerpolando fer: 250 300 dedoode: 29S DONDE- CEMENTO=AGUA DE M	295 kgfcm2 AJG 0.62 0.55 0.56 EZCLADO/AIC 228 0.56 0.131 m 0.228 m 0.228 m 0.025 m	AJG, AJG, total bolsas	1kom3 DIJ)arado 409 963
CONTENIDO DE AGREGADO GRUESO CALCULO DE VOLUMENES ABSOL CEMENTO CEMENTO CALCULO DE VOLUMENES ABSOL CAL	ALBIGURLAGENTE SO D SECO COMPACTO UTOS	DONOE- AGUA DE MEZCLADO rcr= Inlerpolando fer: 250 300 dedoode: 29S DONDE- CEMENTO=AGUA DE M	295 kgfcm2 AJG 0.62 0.55 0.86 EZCLADO/AIC 228 0.56 0.131 m 0.228 m 0.025 m 0.025 m 0.0356 m 0.740 m	AJG, AJG, total bolsas	1ko.m3 DiJ)arado

MU. SAN ANORES MZ "C" LT "6" PLLLCO MARCA - HU UCO/ CEL; 920093390

VALORES OE OISE 0 CEMENTO AGUA OE OISEfIO 409 Kglm3 228 LVm3 678 Kglm3 AGREGAOO FINO SECO AGREGAOO GRUESO SECO 949 Kglm3 A.JUSTE POR HUMEDAO DEL LOS AGREGAOOS

f-----<u>6 94'--</u>'-,|Kglm3 ----9_5_O Kglm3 AGREGAOO FINO HUMEDO AGREGAOO GRUESO HUMEDO

APORTE OE HUMEDAO DE LOS AGREGAOOS

AGREGAOO FINO AGREGAOO GRUESO -5.9 <u>-7.2</u> 233.9ika AGUA OE MEZCLAOO NETA

VALORES OE OISENO CORREGIDO CEMENTO
AGUA OE OISEfIO
AGREGAOO FINO HUMEDO
AGREGAOO GRUESO HUMEOO 409 233.9 694 950

PROPORCION EN PESO SECO C: AF: AG: A 1.66 2.32 23.67 PROPORCION EN PESO HUMEDO C: AF: AG: A 24.29 1.70 2.32

PARA UNA TANDA DE CONCRETO EN BASE A UNA BOLSA DE CEMENTO: CEMENTO

Kg/balsa Kgibolsa Kg/bols:a AGREGAOO FINO AGREGAOO GRUESO AGUA EFECTIVA 72.06 LtJbolsa

ESO UNITARIO HUMEDO DEL AGREGAOO a (PESO SUELTO SECO)X(1+CONTENIOO DE HUMEDAO)

1575.57 Kg/m3 GREGACO FINO AGREGAOO GRUESO **1465.53** Kg/m3 1m3-35p3 PESO POR PIE CUBICO DEL AGREGADO

AGREGAOO FINO AGREGAOO GRUESO 4502 41.87

PROPORCION EN VOLUMEN C: AF: AG: A

GREGACO FINO 1.60 AGREGAOO GRUESO 2.36

1.60 2.36 24.29 1m3 9.63 A. FINO m3 0.44 A. GRUESOm3 0.64 CEMENTO AGUAm3 0.23

PRDPORCION EN VOLUMEN POR BOLSA DE CEMENTO

1 BOLSA a 42 50 kg

AGREGAOO FINO 2 X CA.JONES CON LAS OIMENSIONES 0.30 x 0.30 x 0.25 AGREGAOO GRUESO 3 X CA.JONES CON LAS OIMENSIONES O 30 x O 30 x 0.24

TOO as las medidas en metros . as medklas son 1nlerlores

Marlo S Alliant TECNICO LABORATORIS

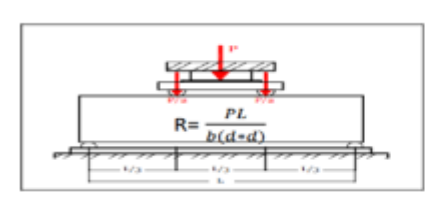
t, l'illllll.u./ CIP. 78831



METODO DE ENS	SAYO PARA DETERMINAR EL MOMENTO FLECTOR (UTILIZANDO UNA VIGA SIMPLEMENTE SOPORTADA CON CARGA EN EL TERCIO DE LA LUZ)
OBRA:	TESIS: "EVALUACION DE LA RESISTENCIA A LA FLEX1ON SOMETIDO A ALTAS TEMPERATURAS DE VIGAS DE CONCRETO ELABORADO CO 1%DEFIBRA DE VIDRIO PARA UN F'C=210KG/CM2E 'LA CIUDAD DE HUA 'UCO - 2023
UBICAC+-:	HUANUCO- t-IUANUCO- HUANUCO
SOLICITA:	BACH, ISIDRO SALAZAR, ROSAM EL, AB EL
FECHA:	NOVCEM BRE DEL 2023
EQUIPO:	PRENSA DIGITAL STVE-2000 MARCA KA YZACORP

ASTM C • 78 (RESISTINOA A LA FL.EXION DEI CONCRETO METOOO OE LA VIGA SIMPLE CAR.GADA EN LOS TERCIOS OE IA LUZI

					DIMENSON	IES DE LA VIGA							
ELEMENTO	FECHADE MOLDEO	FECHADE ROTURA	ANOtO INFERIOR	ANOtO SUPERIOR	ALTOI	ALTOZ	LONGITUD ENTRE CARGAS	LONGITUD ENTRE APOYOSEN LA BASE	MAXIMA CARGADE PRUEBA KN	MAXIMA CAAGADE PRUEBAKG	EDADEN DIAS	MODULO DE ROTURA (Ka/cm>I	TIPO DE FALLA
			Al(cm)	AZ(cm)	HI(cm)	H>(an)	L/3	L					
CONCRETO CONVENCIONAL	15/11/2023	22/11/2023	15.00	15.00	15.00	15.00	15.00	45.00	25.33	2582.90	7	34.44	Dentro del tercio central
CONCRETO CONVENCIONAL	15/11/2023	22/11/2023	15.00	15.00	15.00	15.00	15.00	45.00	24.48	2496.23	7	33.28	Dentro del tercio central
CONCRETO CONVENCIONAL	15/11/2023	22/11/2023	15.00	15.00	15.00	15.00	15.00	45.00	22.85	2330.01	7	31.07	Dentro del tercio central
CONCRETO CONVENCIONAL	15/11/2023	22/11/2023	15.00	15.00	15.00	15.00	15.00	45.00	24.65	2513.51i	7	33.51	Dentro del tercio central
CONCRETO CONVENCIONAL	15/11/2023	22/11/2023	15.00	15.00	15.00	15.00	15.00	45.00	25.02	2551.29	7	34.02	Dentro del tercio central
CONCRETO CONVENCIONAL	15/11/2023	22/11/2023	15.00	15.00	15.00	15.00	15.00	45.00	26.32	2683.85	7	35.78	Dentro del tercio central
CONCRETO CONVENCIONAL	15/11/2023	22/11/2023	15.00	15.00	15.00	15.00	15.00	45.00	23.85	2431.98	7	32.43	Dentro del tercio central
CONCRETO CONVENCIONAL	15/11/2023	22/11/2023	15.00	15.00	15.00	15.00	15.00	45.00	24.18	2465.63	7	32.88	Dentro del tercio central
CONCRETO CONVENCIONAL	15/11/2023	22/11/2023	15.00	15.00	15.00	15.00	15.00	45.00	25.65	2615.53	7	34.87	Dentro del tercio central
CONCRETO CONVENCIONAL	15/11/2023	22/11/2023	15.00	15.00	15.00	15.00	15.00	45.00	24.77	2525.80	7	33.68	Dentro del tercio central
	•						•		PROMEDI	2519.68		33.60	



OBSERVACIONES:

- · Especimenes elaborados en el laboratoriO, según diseñlo
 - Las deflexiones alcanzadas en el centro de la ...jga se encuentran en un raga de 3.5 4.0 mm

- R= Modulo de rotara (kg/cm2) P= Maxima carga apiloada por la maquina de ensayo (Kg)
- L= Longitud libre entre apoyos (cm)
- b= Ancho de la muestra (cm) d= Altura de la muestra (cm)





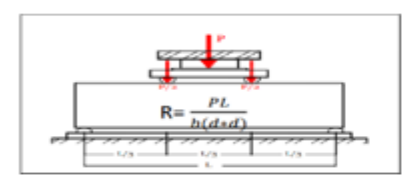
UR.B. SAN ANDRES MIZ "C" LT "6" PILLCO MARCA - HUANUCO / CEL.: MOVISTAR: 920093390



METODO DEENS.	METODO DEENSAYO PARA DETERMINAR EL MOMENTO FLECTOR (UTILIZANDO UNA VIGA SIMPLEMENTE SOPORTADA CON CARGA EN ELTERCIO DE LA LUZ)											
OBRA:	TESIS: "EVALUACION DE LA RESISTENCIA A LA FLEX1ON SOMETIDO A ALTASTEMPERATURAS DE VIGAS DECONCRETO ELABORADO CON 1% DE FIBRA DE VIDRIO PARA UN F'C=210KG/CM2 E 'LA CIUDAD DE HUANUCO-2023"											
UBICACION:	HUANUCO- HUANUCO HUANUCO											
SOLICITA:	UACH. ISIIJH.0 SALAZAR. ROSAt-U L ABEL											
FECHA:	NOVIEMBRE DEL 2023											
EQUIPO:	FRENSA DIGITAL STYE-2000 MARCA KAYZACORP											

ASTM C • 73 IFIESISTENOA A LA FLEXION DEL CONCRETO METODO DE IA 'VIGA SIMPLECALIGADA EN LOS TERCIOS OE LA LUZI

					DIMENSON	ES DE LA VIGA							
EL£MENTO	FEOtADE MOLDEO	FECHADE ROTURA	ANCHO INFERIOR	ANOK> SUPERIOR	ALTOI	ALTO>	LONGITUD ENTRECARGAS	LONGITUD ENTRE APOY'OSEN LA BASE	MAXIMA CARGADE PRUEBAKN	MAXIMA CARGADE PRUEBAKG	EDADEN DIAS	MODULO DE ROTURA (Ka/cm2J	TIPO DE FALLA
			Al(on)	A2(cm)	HI(on)	H2(anJ		L					
CONCRETO CONVENCIONAL	15/11/2023	29/11/2023	15.00	15.00	15.00	15.00	15.00	45.00	30.85	3145.n	14	41.94	Dentro del tercio central
CONCRETO CONVENCIONAL	15/11/2023	29/11/2023	15.00	15.00	15.00	15.00	15.00	45.00	31.08	31ti9.Z3	14	4Z.26	Dentro del tercio central
CONCRETO CONVENCIONAL	15/11/2023	29/11/2023	15.00	15.00	15.00	15.00	15.00	45.00	32.34	3297.71	14	43.97	Oentro del tercio central
CONCRETO CONVENCIONAL	15/11/2023	29/11/2023	15.00	15.00	15.00	15.00	15.00	45.00	31.45	3206.96	14	4Z.76	Dentro del tercio central
CONCRETO CONVENCIONAL	15/11/2023	29/11/2023	15.00	15.00	15.00	15.00	15.00	45.00	29.85	3043.80	14	40.SB	Dentro del tercio central
CONCRETO CONVENCIONAL	15/11/2023	29/11/2023	15.00	15.00	15.00	15.00	15.00	45.00	32.65	3329.32	14	44.39	Oentro del tercio central
CONCRETO CONVENCIONAL	15/11/2023	29/11/2023	15.00	15.00	15.00	15.00	15.00	45.00	33.52	3418.03	14	45.57	Dentro del tercio central
CONCRETO CONVENCIONAL	15/11/2023	29/11/2023	15.00	15.00	15.00	15.00	15.00	45.00	30.69	3129.46	14	41.73	Dentro del tercio central
CONCRETO CONVENCIONAL	15/11/2023	29/11/2023	15.00	15.00	15.00	15.00	15.00	45.00	32.58	3322.18	14	44.30	Oentro del tercio central
CONCRETO CONVENCIONAL	15/11/2023	29/11/2023	15.00	15.00	15.00	15.00	15.00	45.00	33.01	3366.03	14	44.88	Dentro del tercio central
•									PROMEDIO	3242.85		43.24	



- Especimenes elaborados en el laboratorio, segUn disello
- Las deflexiones alcinuadas en el centro de la Higa se encuentran en un rago de 3.5 4.0 mm

- R= Modulo de rotura (kg/cm2)
 P= Maoima carga apticada par la maquina de ensayo (Kg)
 L= Longtud libre entre apropeis (cm)
 b= Ancho de la muestra (cm)
 d= Altura de la muestra (cm)





URB. SAN ANDRES MZ: "C" LT "'6" PILLCO MAR.CA - HUANUCO / CEL: MOVISTAR: 920093390



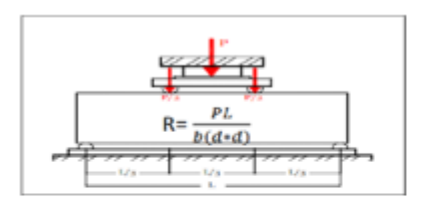
INVERSIONES S.C.R.L. ERU

METODO DE ENSAY	O PARA DETERMINAR EL MOMENTO FLECTOR (UTILIZANDO UNA VIGA SIMPLEMENTE SOPORTADA CON CARGA EN EL TERCIO DE LALUZ)
OBRA:	TESIS: "EVALUACIÓN DE LA RESISTENCIA A LA FLEX16N SOMETIDOA ALTASTE 1PERATURAS DE VJGAS DECONCRETO ELABORADO CON 1% DE FIBRA DE VIDRIO PARA UN F"C=2IOKG/CM2 E 'LA CIUDAD DE HUANUCO-2023"
UBICACION:	HUANUCO-HUANUCO-HUANUCO
SOLICITA:	BACH- ISIDH.0 SALAZAR, IIOSAMHLAB L
FECHA:	DICIEM DREDEL 2023
EQUIPO:	PRIENSA DIGITALSTYL-:-2000 MAIICA KAYZACORP

VERIFICACION DE CONCRETO

ASTM c+78 (RESISTENOA A LA HEXION DEL CONCRETO METODO DE LA VIGA sIMPIE CARGAO A ENLOS TERCIOS DE LA LUZ)

					DIMENSON	NES DE LA VIGA							
ELEMENTO	FECHADE MOLDEO	FECHADE ROTURA	ANO<0 INFERIOR	ANOtO 5UPERIOR	ALT01	ALTOZ	LONGITUD ENTRECARGAS	I.ON61TUD ENTRE APOYOSENLA BASE	MAXIMA CARGADE PRUEBAKN	MAXIMA CARGADE PRUEBAKG	EDADEN DIAS	MODULO DE ROTURA (1Cg/cm21	TIPODE FALLA
			A1(anl	A2Ccm)	HICcm)	H2(anl	L/3	L					
CONCAETO CONVENCIONAL	15/11/2023	13/12/2023	15.00	15.00	15.00	15.00	15.00	45.00	39.54	4031.89	28	S3.76	Dentro del tercio central
CONCRETO CONVENCIONAL	15/11/2023	13/12/2023	15.00	15.00	15.00	15.00	15.00	45.00	36.85	3757.59	28	50.10	Dentro del tecio central
CONCAETO CONVENCIONAL	15/11/2023	13/12/2023	15.00	15.00	15.00	15.00	15.00	45.00	40.21	4100.21	28	54.67	Dentro del tercio central
CONCRETO CONVENCIONAL	15/11/2023	13/12/2023	15.00	15.00	15.00	15.00	15.00	45.00	38.21	3896.27	28	51.95	Dentro del tercio central
CONCAETO CONVENCIONAL	15/11/2023	13/12/2023	15.00	15.00	15.00	15.00	15.00	45.00	41.25	4206.26	28	56.08	Dentro del tercio central
CONCRETO CONVENCIONAL	15/11/2023	13/12/2023	15.00	15.00	15.00	15.00	15.00	45.00	37.65	3839.17	28	51.19	Dentro del tercio central
CONCAETO CONVENCIONAL	15/11/2023	13/12/2023	15.00	15.00	15.00	15.00	15.00	45.00	39.52	4029.85	28	S3.73	Dentro del tercio central
CONCRETO CONVENCIONAL	15/11/2023	13/12/2023	15.00	15.00	15.00	15.00	15.00	45.00	40.85	4165.47	28	55.54	Dentro del tercio central
CONCRETO CONVENCIONAL	15/11/2023	13/12/2023	15.00	15.00	15.00	15.00	15.00	45.00	38.65	3941.14	28	52.55	Dentro del tecio central
CONCRETO CONVENCIONAL	15/11/2023	13/12/2023	15.00	15.00	15.00	15.00	15.00	45.00	37.48	3821.84	28	50.96	Dentro del tercio central
· · · · · · · · · · · · · · · · · · ·	·				·	·	·		PROMEDIC	""78.97		53.0S	



OBSERVACIONES:

- Especimenes elaborados en el laboratorio, seglin diseño
- las deflexiones alcanzadas en el centro de la ..., iga se encuentran en un raga de 3.5 4.0 mm

- R= Moclulo de rotura (kg/cm2) P= Maxima carga aplicada par la maquina de ensayo (Kg) L= Longkud libre entre apoyes (cm)
- b- Ancho de la muestra (cm)
- d= Altura de la muestra (cm)



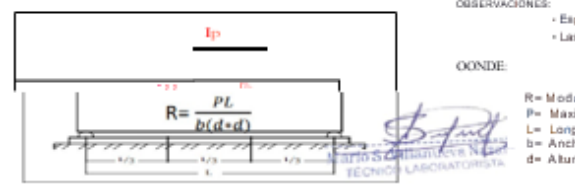
URB, SAN ANDRES MZ, "C" LT "6" PILLCO MARCA - HUANUCO / Cf.; L.; MO'I/JSTAR: 9'2009359'0



METODO DE EN	SAYO PARA DETERMINAR EL MOMENTO FLECTOR (UTILIZANDO UNA VIGA SIMPLEMENTE SOPORTADA CON CARGA EN EL TERCIO DE LALUZ)
OBRA:	TESIS: "EVALUACION DE LA RESISTENCIA A LA FLEXION SOMETIDO A ALTAS TEMPERA TURAS DE VIGAS DE CONCRETO ELABORADO CO '1% DE FIBRA DE VIDRIO PARA UN F"C-210KG/CM2 EN LA CIUDAD DE HUA. UCO-2023"
UBICACION:	HUANUCO-HUANUCO
SOLICITA:	BACH. ISIDH.O SALAZAR, ROSAMI!L AB£.L
FECHA:	INOVIEM BRE DEL 2023
EQUIPO:	PRENSA DIGITAL ST\'E-2000 MAIICA KAVZACORP

78 PRESISTENOAA LA FIEXION DELCONCRETO METDOO DE LA \IIGA SIMPLECARGADAEN LOS TERCIOS DE LA LUZI

					DIMENSON	ES DE LA VIGA							
ELEMENTO	FEDIADE MOI.DEO	FECHADE ROTURA	ANCHO INFERIOR	ANCHO SUPERIOR	ALTO 1	A.LT02	LONGITUD ENTAECAAGAS	LONGITUD ENTRE APOVOSEN LA BASE	MAXIMA CARGAD£ PItUEBAKN	MAXIMA CARGAD£ PRUEIIAKG	EDADEN DIAS	MODULO DE ROTURA (Ka/an2J	TIPO DE FALLA
			Al(cm)	A2(anJ	Ht(crn)	H2(anJ	1/3	L					
CONCRETO ELABORA.DO CON 1% DE FIBRA DE VIDRIO SOMETMO A 120-C	16/11/2023	23/11/2023	15.00	15.00	15.00	15.00	15.00	45.00	26.35	2686.91	7	35.83	Dentro del tercio centra
CONCRETO ELABORADO CON 1% DE FIBRA. DE VIDRIO SOMETMO A 120"(16/11/2023	23/11/2023	15.00	15.00	15.00	15.00	15.00	45.00	27.32	2785.82	7	37.14	Dentro del tercio centra
CONCRETO ELABORADO CON 1% DE FIBRA. DE VIDRIO SOMETMO A 120°(16/11/2023	23/11/2023	15.00	15.00	15.00	15.00	15.00	45.00	24.15	2462.58	7	32.83	Dentro del tercio centra
CONCRETO ELABORADO CON 1% DE FIBRA DE VIDRIO SOMETIDO A 120-C	16/11/2023	23/11/2023	15.00	15.00	15.00	15.00	15.00	45.00	23.85	2431.98	7	32.43	Dentro del tercio centra
CONCRETO ELABORADO CON 1% DE FIBRA DE VIDRIO SOMETIDO A 120-C	16/11/2023	23/11/2023	15.00	15.00	15.00	15.00	15.00	45.00	22.85	2330.01	7	31.07	Dentro del tercio centra
ONCRETO ELABORADO CON 1% DE FIBRA E VIDRIO SOMETIDO A 120-c	16/11/2023	23/11/2023	15.00	15.00	15.00	15.00	15.00	45.00	25.95	2646.12	7	35.28	Dentro del tercio centra
ONCRETO ELABORADO CON 1% DE FIBRA E VIDRIO SOMETIDO A 120-C	16/11/2023	23/11/2023	15.00	15.00	15.00	15.00	15.00	45.00	26.85	2737.89	7	36.51	Dentro del tercio centra
ONCRETO ELABORADO CON 1% DE FIBRA E VIDRIO SOMETIDO A 12a c	16/11/2023	23/11/2023	15.00	15.00	15.00	15.00	15.00	45.00	27.15	2768.49	7	36.91	Dentro del tercio centra
ONCRETO ELABORADO CON 1% DE FIBRA. E VIDRIO SOMETIDO A 12a c	16/11/2023	23/11/2023	15.00	15.00	15.00	15.00	15.00	45.00	28.33	2888.81	7	38.52	Dentro del tercio centra
ONCRETO ELABORA.DO CON 1% DE FIBRA. E VIDRIO SOMETIDO A 120-C	16/11/2023	23/11/2023	15.00	15.00	15.00	15.00	15.00	45.00	25.96	2647.14	7	-30	Dentro del tercio centra
									PROMEDI	2638.58		/3!1.18	



OBSERVACIONES:

Especimenes elaborados en el laboratoriO, sepUn diseño

- Las deflexiones alcanzadas en el centro de la viga se encuentran en un raga de 3.5 - 4.0 mm

R= Modulo de rotura (kg/cm2) P= Maxima carga aplicada por la maquina de ensayo (Kg) L= Longitud libre entre apoyos (cm)

b= Ancho de la muestra (cm)

d= Altura de la muestra (cm)



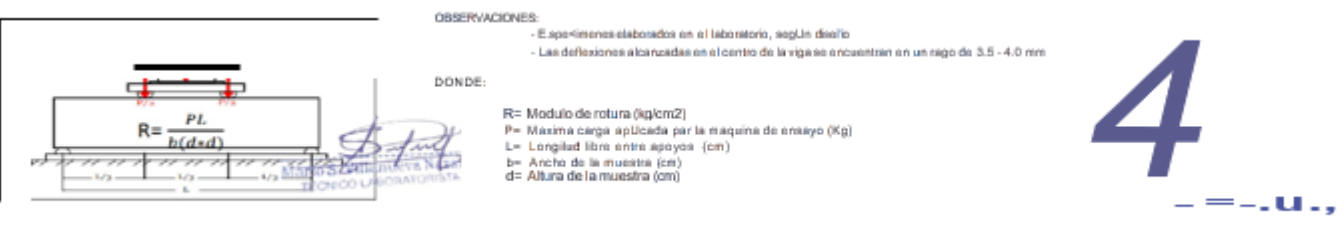
URB. SAN ANDRES MZ. "C" LT "6" PILLCO MARCA - HUANUCO / CEL.: MOVIBTAR: 9120093390



METODO DE ENS	SAYO PARA DETERMINAR EL MOMENTO FLECTOR (UTILIZANDO UNA VIGA SIMPLEMENTE SOPORTADA CON CARGA EN EL TERCIO DE LALUZ)
OBRA:	TESIS: "EVALUACIÓN DE LA RESISTENCIA A LA FLEXJÓN SOMETIDO A ALTASTEMPERATURAS DE VIGAS DECONCRETO ELABORADOCO '1% DEFIBRA DE VIDRIO PARA UN F"C=210KG/CM2 E LA CIUDAD DE HUA. UCO-2023"
UBICAC•-:	HUANUCO-1-(UANUCO- HUANIJCO
SOLICITA:	BACH. ISIDRO SALIZ.AR. ROSA1I-1EL ABEL
FECHA:	NOVIEMBRE DEL 2023
EQUIPO:	T-RENSA 'DIC'ITAL STYE-200GMARCA KAYZACORI•

ASTMC • 78 (RESJSTENDA LA FLEXION DELCONCRITO MITOCO DE LA VIGA SIMPLECARG.ADA EN LOS TE.ROOS DE LA LUZJ

					DIMENSON	ES DE LA VIGA							
ELEMENTO	F£CKADE MOLDED	FECHADE ROTURA	ANCHO INFERIOR	ANCHO SUPERIOR	ALTOI	ALTOZ	WNGITUD ENTRECARGAS	WNGITUD ENTRE APOYOSEN LA BASE	MAXIMA CARGADE PRUEBAKN	MAXIMA CARGADE PRUEBAKG	EDADEN DIAS	MODULO DE ROTURA (''8/an ZJ	TIPODEFAUA
			Al(an)	AZ(cm)	Hllan)	H2(cm)	L/3	L					
CONCRETO EIABORADO CON 1% OE FIBRA DE VIDRIO SOMETIDO A 12a c	16/11/2023	30/11/2023	15.00	15.00	15.00	15.00	15.00	45.00	29.65	3023.41	14	40.31	Oentro del tercio central
CONCRETO EIABORADO CON 1% OE FIBRA DE VIDRIO SOMETIDO A 120-C	16/11/2023	30/11/2023	15.00	15.00	15.00	15.00	15.00	45.00	32.41	3304.85	14	44.06	Dentro del tercio central
CONCRETO EIABORADO CON 1% OE FIBRA DE VIDRIO SOMETIDO A 120-C	16/11/2023	30/11/2023	15.00	15.00	15.00	15.00	15.00	45.00	28.78	2934.70	14	39.13	Dentro del tercio central
CONCRETO EIABORADO CON 1% OE FIBRA DE VIDRIO SOMETIOO A 12a c	16/11/2023	30/11/2023	15.00	15.00	15.00	15.00	15.00	45.00	33.52	34Ul.03	14	45.57	Dentro del tercio central
CONCRETO EIABORADO CON 1% OE FIBRA DEVIDRIO SOMETIDO A 12a c	16/11/2023	30/11/2023	15.00	15.00	15.00	15.00	15.00	45.00	30.45	3104.'9	14	41.40	Dentro del tercio central
CONCRETO EIABORADO CON 1% OE FIBRA DE VIDRIO SOMETIDO A 120-C	16/11/2023	30/11/2023	15.00	15.00	15.00	15.00	15.00	45.00	28.95	29SZ.03	14	39.36	Dentro del tercio central
CONCRETO EIABORADO CON 1% OEFIBRA DE VIDRIO SOMETIOO A 120-C	16/11/2023	30/11/2023	15.00	15.00	15.00	15.00	15.00	45.00	31.45	3206.96	14	42.76	Dentro del tercio central
CONCRETO EIABORADO CON 1% OE FIBRA DE VIDRIO SOMETIDO A 12a c	16/11/2023	30/11/2023	15.00	15.00	15.00	15.00	15.00	45.00	30.85	3145.77	14	41.94	Dentro del tercio central
CONCRETO EIABORADO CON 1% OE FIBRA DEVIDRIO SOMETIDO A 120-C	16/11/2023	30/11/2023	15.00	15.00	15.00	15.00	15.00	45.00	29.35	2992.82	14	39.90	Dentro del tercio central
CONCRETO EIABORADO CON 1% OE FIBRA DE VIDRIO SOMETIDO A 120-C	16/11/2023	30/11/2023	15.00	15.00	15.00	15.00	15.00	45.00	29.11	2968.35	14	39.58	Dentro del tercio central
				•					PROMEDIO	3105.19		41.40	



U(tB. SAN ANDRES MZ. "C" LT "6" PILLCO MAR.CA - HUANUCO / CE.L: MOV'ISTA(t: 920093390



METODO DE ENSAYO PARA DETERMINAR EL MOMENTO FLECTOR (UTILIZANDO UNA VIGA SÍMPLEMENTE SOPORTADA CON CARGAEN EL TERCIO DE LALUZ)

OBRA: TESIS:EVALUACION DE LA RESISTENCLA A LA FLEXH)N SOMETIDO A ALTAS TEMPERATURAS DE VIGAS DE CONCRETO ELABORADO CO, 1% DE FIBRA DE VIDRIO PARA UN F'C=210KG/CM2 EN LA CIUDAD DE HUA 'UCO-2023"

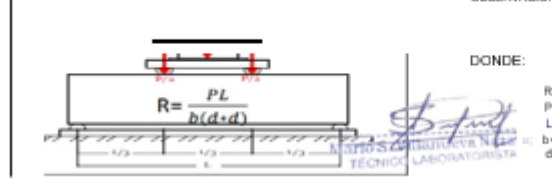
UBICACION: HUANUCO-1-IUANUCO- HUANUCO
SOLICITA: HACH. ISIDRO SALAZAR, ROSAN1£L ABEL
FECHA: DICIEMBRE DEL 2023

EQUIPO: PRENSA DIGITAL STVE-201)(1MARCA KA YZACORP

VERIFICACION DE CONCRETO

ASTM C+ 78 (RESISTENOA ALA FIE)UON DEL CONCRETO METODO DE LA VIGA SIMPLE CARGADA EN LOS TERCIOS DE LA LUZ)

				•	DIMENSON	ES DE LA VIGA							
EL£MENTO	FEOtADE MOLDED	FECHADE ROTURA	ANO<0 INFERIOR	ANCHO SUPERIOR	ALTOI	ALT02	LONGITUD ENTRE CAAGAS	LONGITUD ENTRE APOYOSEN IA BASE	MAXIMA CARGADE PRUEBAKN	MAXIMA CARGADE PRUEBAICG	EDADEN DIAS	MODULO DE ROTURA IKa/an21	TIPODEFALLA
			Al(cml	A2lanl	HI(cm)	HZ(cm)	1/3	L					
CONCRETO ELABORADO CON 1% OE FIBRA DE VIDRIO SOMET1DO A 120°C	16/11/2023	14/12/2023	15.00	15.00	15.00	15.00	15.00	45.00	40.85	4165.47	28	55.54	Dentro del tercio central
CONCRETO ELABORADO CON 1% OE FIBRA DE VIDRIO SOMET1DO A 120°C	16/11/2023	14/12/2023	15.00	15.00	15.00	15.00	15.00	45.00	42.65	4349.02	28	57.99	Oentro del tercio central
CONCRETO ELABORADO CON 1% OE FIBRA DE VIDRIO SOMET1DO A 120"C	16/11/2023	14/12/2023	15.00	15.00	15.00	15.00	15.00	45.00	45.62	4651.87	28	62.02	Oentro del tercio central
CONCRETO ELABORADO CON 1% OE FIBRA DE VIDRIO SOMET1DO A 120"C	16/11/2023	14/12/2023	15.00	15.00	15.00	15.00	15.00	45.00	39.78	4056.37	28	54.08	Oentro del tercio central
CONCRETO ELABORADO CON 1% OE FIBRA DE VIDRIO SOMET1DO A 120°C	16/11/2023	14/12/2023	15.00	15.00	15.00	15.00	15.00	45.00	43.65	4450.99	28	59.35	Oentro del tercio central
CONCRETO ELABORADO CON 1% OE FIBRA DE VIDRIO SOMET1DO A 120°C	16/11/2023	14/12/2023	15.00	15.00	15.00	15.00	15.00	45.00	44.15	4501.98	28	60.03	Oentro del tercio central
CONCRETO ELABORADO CON 1% OE FIBRA DE VIDRIO SOMET1DO A 120°C	16/11/2023	14/12/2023	15.00	15.00	15.00	15.00	15.00	45.00	46.32	4723.25	28	62.98	Oentro del tercio central
CONCRETO ELABORADO CON 1% OE FIBRA DE VIDRIO SOMET1DO A 120°C	16/11/2023	14/12/2023	15.00	15.00	15.00	15.00	15.00	45.00	42.52	4335.76	28	57.81	Oentro del tercio central
CONCRETO ELABORADO CON 1% OE FIBRA DE VIDRIO SOMET1DO A 120°C	16/11/2023	14/12/2023	15.00	15.00	15.00	15.00	15.00	45.00	40.58	4137.94	28	55.17	Oentro del tercio central
CONCRETO ELABORADO CON 1% OE FIBRA DE VIDRIO SOMET1DO A 120°C	16/11/2023	14/12/2023	15.00	15.00	15.00	15.00	15.00	45.00	41.78	4260.31	28	56.80	Oentro del tercio central
									PROMEDI	4363.30		58.18	



OBSERVACIONES:

- Especimenes elaborados en el laboratorio, seglin disello

- Les deflexiones alcanzadas en el CE'ntro dE' la viga se E>ncuentran en un raga dE' $3.5 - 4.0 \ mm$

R= Modulo de rotura (kglcm2)

P= Maxima carga aplicada po.- la maquina de ensayo (Kg)

L= Longitud libre entre apoyos (cm) b= Ancho de la muestra (cm)

d= Altura de la muestra (cm)

e"1MIfnc::-AMI



METODO DE ENS	SAYO PARA DETERMINAREL MOMENTO FLECTOR (UTILIZANDO UNA VIGA SIMPLEMENTE SOPORTADA CON CARGAEN EL TERCIO DE LALUZ)
OBRA:	TESIS: "EVALOACION DE LA RESISTENCLA A LA FLEXION SOMETIDO A AL TAS TEMPERA TIJRAS DE VIGAS DE CONCRETO ELABORADO CO 1% DE FIBRA DE VIDRIO PARA ON F'C-210KG/CM2 E LA CIUDAD DE HOANUCO -2023"
UBICACION:	HUANUCO- HUANIJCO- I-IUANUCO
SOUCITA:	BACH. ISIDRO SALAZAR. ROSAMEL ABEL
FECHA:	Inoviembre del 2023
EQUIPO:	PRENSA DICITIAL STYE-2000 MARCA KAYZACORP

ASTMC+73 (RESISTENOA A LA FIEXION DEL CONCRETOMETOOO DELA VIGA SIMPLE CAAGADA EN LOSTERO OS OELA LUZJ

_					DIMENSON	NES DE LA VIGA							
ELEMENTO	FECHADE MOLDED	FECHADE ROTURA	ANOtO INFERIOR	ANCHO SUPERIOR	ALTO	ALT02	LONtilTUD ENTRECARGAS	LONGITUD ENTRE APOYOSENLA BASE	MAXIMA CARGADE PRUEIIA KN	MAXIMA CARGADE PRUEMKG	EDADEN DIAS	MODULO DE ROTURA (''8/cm21	TIPO DE FALLA
			A1(cm)	A2(cml	Hl(cm)	H2(cml	L/3	L					
CONCRETO ELABORADO CON 1% OEFIBRA DE VIDAIO SOMETIDO A 1so-c	17/11/2023	24/11/2023	15.00	15.00	15.00	15.00	15.00	45.00	22.14	2257.62	7	30.10	Dentro del tercio central
CONCRETO ELABORADO CON 1% OEFIBRA DE VIDRIO SOMETIDO A 1so-c	17/11/2023	24/11/2023	15.00	15.00	15.00	15.00	15.00	45.00	20.32	2072.03	7	27.63	Dentro del tercio central
CONCRETO ELABORADO CON 1% OEFIBRA DE VIDRIO SOMETIDO A 1so-c	17/11/2023	24/11/2023	15.00	15.00	15.00	15.00	15.00	45.00	21.65	2207.65	7	29.44	Dentro del tercio central
CONCRETO ELABORADO CON 1% OEFIBRA DE VIDRIO SOMETIDO A 1so-c	17/11/2023	24/11/2023	15.00	15.00	15.00	15.00	15.00	45.00	22.08	2251.50	7	30.02	Dentro del tercio central
CONCRETO ELABORADO CON 1% OEFIBRA DE VIDRIO SOMETIDO A 1so-c	17/11/2023	24/11/2023	15.00	15.00	15.00	15.00	15.00	45.00	20.69	2109.76	7	28.13	Dentro del tercio central
CONCRETO ELABORADO CON 1% OEFIBRA DE VIDRIO SOMETIDO A 1so-c	17/11/2023	24/11/2023	15.00	15.00	15.00	15.00	15.00	45.00	19.85	2024.10	7	26.99	Dentro del tercio central
CONCRETO ELABORADO CON 1% OEFIBRA DE VIDRIO SOMETIDO A 1so-c	17/11/2023	24/11/2023	15.00	15.00	15.00	15.00	15.00	45.00	22.35	2279.03	7	30.39	Dentro del tercio central
CONCRETO ELABORADO CON 1% OEFIBRA DE VIDRIO SOMETIDO A 1so-c	17/11/2023	24/11/2023	15.00	15.00	15.00	15.00	15.00	45.00	21.75	2217.85	7	29.57	Dentro del tercio central
CONCRETO ELABORADO CON 1% OEFIBRA DE VIDRIO SOMETIDO A 1so-c	17/11/2023	24/11/2023	15.00	15.00	15.00	15.00	15.00	45.00	22.48	2292.29	7	30.56	Dentro del tercio central
CONCRETO ELABORADO CON 1% OEFIBRA DE VIDRIO SOMETIDO A 1so-c	17/11/2023	24/11/2023	15.00	15.00	15.00	15.00	15.00	45.00	22.01	2244.36	7	29.92	Dentro del tercio central
	,	,		,	,				PROMEDIO	2195.62		-27	



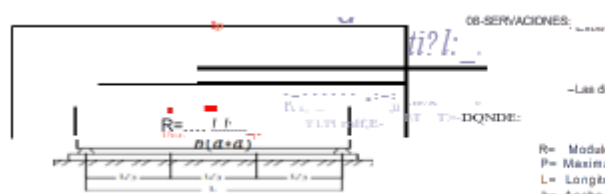




METODODEE	SAYOPARA DETERMINAR EL MOMENTO FLECTOR (UTILIZANDO UNA VIGA SIMPLEME TE SOPORTADA CON CARGA EN EL TERCIO DE LA LUZ)
OBRA:	TESIS: "EVALUACH)N DE LA RESISTENCIA A LA FLEXION SOMETIDO A ALTAS TEMPERATURAS DE VIGAS DE CONCRETO ELABORADO CON 1% DE FIBRA DE VMIUO PARA UN F'C-210KGICM2 EN LA CIUDAD DE HUJ\NUCO-2023"
UBICACIUN:	HUANUCO-HUANUCO HUANUCO
SOLICITA:	BACH, ISIDU,O SALAHAR, ROSAMEL ABEL
FECHA:	O[CIEMBRE DEL 2013
EQUIPO:	PRE:NSA DIGITAL STYE-2000 MARCA KA YZACORP

ASTM C- n IRES.1§.TENCIA A IA FUXION DR CONCREM METOOO DE LA VIGA SIMPLE CARGADA EN LOS EROOS OE IA LUZI

					DIMENSON	ES DE LA VIGA							
EL£MENTO	FECHADE MOLDEO	FECHADE ROTURA	ANOtO INFERIOR	ANCHO SUPERIOR	ALT01	AI.T02	LONGITUD ENTRECAR <ias< th=""><th rowspan="2">LONGITUD ENTRE APOYOSEN LA BASE PRUEBAKN T.</th><th>IVIZZZIIVIZZ</th><th>MAXIMA CARGAD£</th><th>EDADEN DIAS</th><th>MODULO DE ROTURA</th><th>TIPO DE FALLA</th></ias<>	LONGITUD ENTRE APOYOSEN LA BASE PRUEBAKN T.	IVIZZZIIVIZZ	MAXIMA CARGAD£	EDADEN DIAS	MODULO DE ROTURA	TIPO DE FALLA
	WIOLDEO	KOTOKA	Al(cm)	A2Canl	Hl(cm)	HZ(an)	V•		PRUEBAKG	DIAG	IKa/anZI		
00110055705110004000001144405551004			7 II(CIII)	ALGUIII	III(CIII)	<u></u> (a)	V -	-					
CONCRETO EIABORADO CON 1% OEFIBRA OE VIDRIO SOMETIOO A 1so-c	17/11/2023	01/12/2023	15.00	15.00	15.00	15.00	15.00	45.00	28.32	2887.79	14	38.50	Dentro del tercio central
CONCRETO ELABORADO CON 1% OEFIBRA OE VIDRIO SOMETIDO A 150-C	17/11/2023	01/12/2023	15.00	15.00	15.00	15.00	15.00	45.00	26.35	2686.91	14	35.83	Dentro del tercio central
CONCRETO ELABORADO CON 1% OEFIBRA DE VIDRIO SOMETIDO A 1so-c	17/11/2023	01/12/2023	15.00	15.00	15.00	15.00	15.00	45.00	26.45	2697.11	14	35.96	Dentro del tercio central
CONCRETO ELABORADO CON 1% OEFIBRA DE VIDRIO SOMETIDO A 1sa c	17/11/2023	01/12/2023	15.00	15.00	15.00	15.00	15.00	45.00	27.48	2802.14	14	37.36	Dentro del tercio central
CONCRETO ELABORADO CON 1% OEFIBRA DE VIDRIO SOMETIDO A 1sa c	17/11/2023	01/12/2023	15.00	15.00	15.00	15.00	15.00	45.00	27.85	2839.86	14	37.86	Dentro del tercio central
CONCRETO ELABORADO CON 1% OEFIBRA OE VIDRIO SOMETIOO A 1so-c	17/11/2023	01/12/2023	15.00	15.00	15.00	15.00	15.00	45.00	29.85	3043.80	14	40.58	Dentro del tercio central
CONCRETO ELABORADO CON 1% OEFIBRA OE VIDRIO SOMETIDO A 1so-c	17/11/2023	01/12/2023	15.00	15.00	15.00	15.00	15.00	45.00	30.14	3073.38	14	40.98	Dentro del tercio central
CONCRETO ELABORADO CON 1% OEFIBRA DE VIDRIO SOMETIDO A 1so-c	17/11/2023	01/12/2023	15.00	15.00	15.00	15.00	15.00	45.00	25.85	2635.92	14	35.15	Dentro del tercio central
CONCRETO ELABORADO CON 1% OEFIBRA DE VIDRIO SOMETIDO A 1sa c	17/11/2023	01/12/2023	15.00	15.00	15.00	15.00	15.00	45.00	26.85	2737.89	14	36.51	Dentro del tercio central
CONCRETO ELABORADO CON 1% OEFIBRA DE VIDRIO SOMETIDO A 1sa c	17/11/2023	01/12/2023	15.00	15.00	15.00	15.00	15.00	45.00	28.41	2896.97	14	38.63	Dentro del tercio central
	•	•	•	*			•	*	PROMEDI	2830.18		37.74	



-Las defielCiones alcanzadas en el centro de la....iga se encuentran en un raga de 3.8- 4.0 mm

R= Modalo de rotura (kg/cm2)
P= Maxima carga aplicada por la maquina de ensayo (Kg)
L= Longitud libra entre apoyos (cm)
b= Ancho de la susatira (cm)
d= Altara de la muestra (cm)







INVERSIONES EHEC S.C.R.L.

METODO DE ENSAYO PARA DETERMINAR EL MOMENTO FLECTOR (UTILIZANDO UNA VIGA SIMPLEMENTE SOPORTADA CON CARGA EN ELTERCIO DE LA LUZ)

OBRA:

TESIS:uEVALUACION DE LA RESISTENCIA A LA FLEXJ()N SOMETIDO A ALTAS TEMPERATURAS DE VIGAS DE CONCRETO ELABORADO CO '1% DE FIBRA DE VIDRIO PARA UN F"C-210KG/CM2 EN LA CIUDAD DE HUA UCO-2023"

UBICACION: HUANUCO-HUANUCO-HUANUCO BACH. ISIDRO SAL. AZAR. ROSAMEL ABEL FECHA: ISICIEMBRE I)L. L. 2023

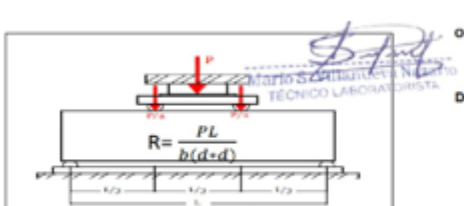
EQUIPO: PRENSA DIGITAL STVE-2000 MARCA KA YZACORP

VERIFICACION DE CONCRETO

ENSAYO DE MA-ERIALES DE CONSTRUCCION

ASTM C+78. IRESISTENDA A IA ELEKION DEL CONCRETO METODO DE IA VIGA SIMPLE CARGAO A EN LOS TERCIOS DE IA LUZI

					DIMENSON	ES DE LA VIGA							
ELEMENTO	FECHA.DE MOLDED	FECHADE ROTURA	ANO<0 INFERIOR	ANCHO SUPERIOR	ALTOI	ALT02	LONGITUD ENTRECARGAS	LONGITUD ENTRE APOYOSENLA BASE	MAXIMA CARGADE PRUEBAKN	MAXIMA CAAGADE PRUEBAKG	EDADEN DIAS	MODULO DE ROTURA (q/an2)	TIPODE FALLA
			Al(cm)	A2(anl	HICcmJ	KZCcm)		L	1				
CONCRETO ELABORADO CON 1% DE FIBRA DE VIDRIO SOMETIDO A 1so-c	17/11/2023	15/12/2023	15.00	15.00	15.00	15.00	15.00	45.00	33.62	3428.23	28	45.71	Dentro del tercio central
CONCRETO ELABORADO CON 1% DEFIBRA DE VIDRIO SOMETIDO A 1so-c	17/11/2023	15/12/2023	15.00	15.00	15.00	15.00	15.00	45.00	30.58	3118.24	28	41.SB	Oentro del tercio central
CONCRETO ELABORADO CON 1% DEFIBRA DE VIDRIO SOMETIDO A 1so-c	17/11/2023	15/12/2023	15.00	15.00	15.00	15.00	15.00	45.00	32.45	3308.93	28	44.12	Dentro del terc.io central
CONCRETO ELABORADO CON 1% DEFIBRA DE VIDRIO SOMETIDO A 1so-c	17/11/2023	15/12/2023	15.00	15.00	15.00	15.00	15.00	45.00	34.58	3526.12	28	47.01	Dentro del tercio central
CONCRETO ELABORADO CON 1% DE FIBRA DE VIDRIO SOMETIDO A 150-C	17/11/2023	15/12/2023	15.00	15.00	15.00	15.00	15.00	45.00	35.96	3666.84	28	48.89	Dentro del terc.io central
CONCRETO ELABORADO CON 1% DE FIBRA DE VIDRIO SOMETIDO A 1so-c	17/11/2023	15/12/2023	15.00	15.00	15.00	15.00	15.00	45.00	31.58	3220.21	28	42.!14	Dentro del tercio central
CONCRETO ELABORADO CON 1% DEFIBRA DE VIDRIO SOMETIDO A 1so-c	17/11/2023	15/12/2023	15.00	15.00	15.00	15.00	15.00	45.00	34.28	3495.53	28	46.61	Dentro del terc.io central
CONCRETO ELABORADO CON 1% DEFIBRA DE VIDRIO SOMETIDO A 1so-c	17/11/2023	15/12/2023	15.00	15.00	15.00	15.00	15.00	45.00	33.69	3435.37	28	45.80	Dentro del tercio central
CONCRETO ELABORADO CON 1% DEFIBRA DE VIDRIO SOMETIDO A 150-C	17/11/2023	15/12/2023	15.00	15.00	15.00	15.00	15.00	45.00	32.47	3310.97	28	44.15	Dentro del terc.io central
CONCRETO ELABORADO CON 1% DEFIBRA DE VIDRIO SOMETIDO A 150-C	17/11/2023	15/12/2023	15.00	15.00	15.00	15.00	15.00	45.00	33.78	3444.55	28	45.93	Dentro del tercio central
		*	*	•					PROMEDIO	3395.50		45.27	



OBSERVACIONES:

- · E.specimenes elaboradosen el laboratorio, seglin diseño
- Las deflexionesalicanzadasen el centre de lavigase encuentran en un raga de 3.5 4.0 mm

DONDE

- R= Modulo de rotura (k.cm2)
- P= Maxima carga aplicada po.- la maquina de ensayo (Kg)
- L= Longitud libre entre apoyos (cm)
- b= Ancho de la muestra (om)
- d= Altura de la muestra (cm)



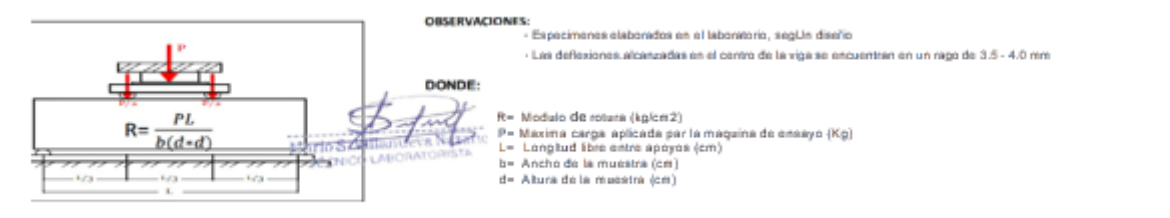
URB. SAN ANDRES MZ "C" LT "6" PILLCO MARCA - HUANUCO / CEL.: MOVISTAR: 920093390



METODO DE ENSAYO F	PARA DETERMINAR EL MOMENTO FLECTOR (UTILIZANDO UNA VIGA SIMPLEMENTE SOPORTADA CON CARGA EN EL TERCIO DE LA LUZ)
OBRA.	TESIS: "EVALUACIÓN DE LA RESISTENCLA A LA FLEX16N SOMETIDO A ALTAS TEMPERATURAS DE VIGAS DE CONCRETO ELABORADO CON 1% DE FIBRA DE VIDRIO PARA UN F'C=2IOKGICM2 EN LA CIUDAD DE HUA1 UCO-2023"
UBICACION:	HUANUCO- t-IUANIJCO- HUANUCO
SOLICITA:	BACH. ISIDRO SALA2AR. ROSAME:L ABEL
FECHA:	INOVI"EMBH:£ DEL 2023
EQUIPO:	S-RE:NSA DIGIT AL STYE-2000 MARCA KA Y.I.ACORP

ASTM C • TI! (RESISTEN□AA LA FIEXION DELCONCRETO MITOOO DE IA VIGA SIMPLE CARGADA EN IOSTER□OS OE LA LUZI

-	1	1	1								,	,	
					DIMENSON	ES DE LA VIGA							
ELEMENTO	F£CHAD£ MOLDED	FECHADE ROTURA	ANOtO INFERIOR	ANCHO SUPERIOR	ALTOI	ALTOZ	LONGITUD ENTRE CARGAS		MAXIMA CARGADE PRUEBAKN	MAXIMA CARGA.DE PRUEIIAKG	EDADEN DIAS	MODULO DE ROTURA IKI/cm21	TIPO DE FALLA
			Al(cm)	AZ(cml	H1(cm)	H2(cm)	1/3	L					
CONCRETO ELABORADO CON 1% OEFIBRA OE VIDRIO SOMETIDO A 170-C	18/11/,023	25/11/2023	15.00	15.00	15.00	15.00	15.00	45.00	15.32	1562.18	7	20.83	Dentro del tercio central
CONCRETO ELABORADO CON 1% DE FIBRA DE VIDRIO SOMETIDO A 170°C	18/11/2023	25/11/2023	15.00	15.00	15.00	15.00	15.00	45.00	16.52	1684.54	7	22.46	Dentro del tercio central
CONCRETO ELABORADO CON 1% DE FIBRA DE VIDRIO SOMETIDO A 110 ° C	18/11/,023	25/11/2023	15.00	15.00	15.00	15.00	15.00	45.00	14.25	1453.07	7	19.37	Dentro del tercio central
CONCRETO ELABORADO CON 1% DE FIBRA DE VIDRIO SOMETIDO A 170 "C	18/11/,023	25/11/2023	15.00	15.00	15.00	15.00	15.00	45.00	12.85	1310.31	7	17.47	Dentro del tercio central
CONCRETO ELABORADO CON 1% DE FIBRA DE VIDRIO SOMETIDO A 170°C	18/11/2023	25/11/2023	15.00	15.00	15.00	15.00	15.00	45.00	16.32	1664.15	7	22.19	Dentro del tercio central
CONCRETO ELABORADO CON 1% OE FIBRA DE VIDRIO SOMETIDO A $no \cdot c$	18/11/2023	25/11/2023	15.00	15.00	15.00	15.00	15.00	45.00	14.85	1514.25	7	20.19	Dentro del tercio central
CONCRETO ELABORADO CON 1% DE FIBRA DE VIDRIO SOMET1DO A 170°C	18/11/2023	25/11/2023	15.00	15.00	15.00	15.00	15.00	45.00	13.85	1412.28	7	Ul.83	Dentro del tercio central
CONCRETO ELABORADO CON 1% DE FIBRA DE VIDRIO SOMET1DO A 110-C	18/11/2023	25/11/2023	15.00	15.00	15.00	15.00	15.00	45.00	15.85	1616.22	7	21.55	Centro del tercio central
CONCRETO ELABORADO CON 1% DEFIBRA DE VIDRIO SOMET1DO A 110-c	18/11/2023	25/11/2023	15.00	15.00	15.00	15.00	15.00	45.00	16.66	1698.82	7	22.65	Dentro del tercio central
CONCRETO ELABORADO CON 1% DEFIBRA DE VIDRIO SOMETIDO A 170°C	18/11/2023	25/11/2023	15.00	15.00	15.00	15.00	15.00	45.00	14.32	1460.21	7	19.47	Dentro del tercio central
					•			•	PROMEDIC	1537.61		20.50	



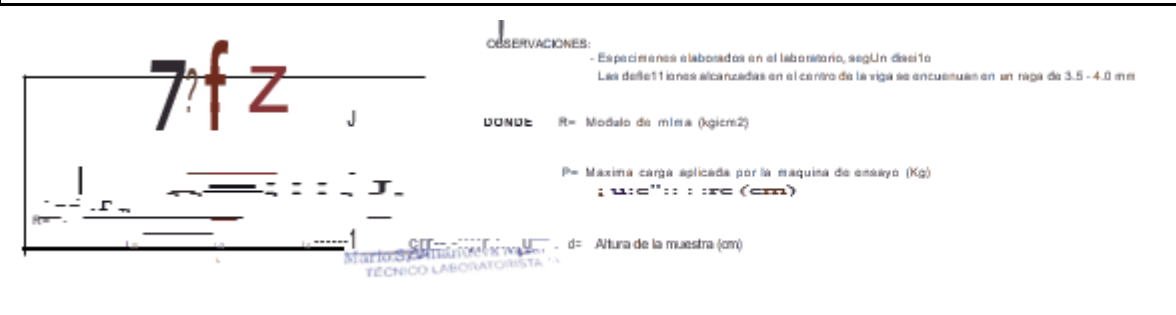
UIU!, SAN ANDRES MZ ""C" LT "6" PILL.CO MARCA - HUANUCO / CE.L: MOVCSTAR: 920093390



METODO DE ENS	SAYO PARA DETERMINAR EL MOMENTO FLECTOR (UTILIZANDO UNA VIGA SIMPLEMENTE SOPORTADA CON CARGA EN ELTERCIO DE LA LUZ)
OBRA:	TESIS: "EVALUACION DE LA RESISTENCIA A LA FLEXION SOMETIDO A ALTAS TEMPERATURAS DE VIGAS DE CONCRETO ELABORADO CON 1% DE FIBRA DE VIDRIO PARA UN 1"C=210KG/CM2 E LA CIUDAD DE UUA UCO-2023
UBICACION:	HUANUCO- HUANIJCO- FfUANIJCO
SOLICITA:	BACH, ISIDRO SALAZAR, ROSAM EL ADEL
FECHA:	DJCIEMBRE I⊳EL 2023
EQUIPO:	1>R£NSA DICITAL STYE-2000 MAH.CA KAYZACORP

ASTMC - 78 (RESISTENCIA A LA R.EKION DEL.CONCRETO METODO DEIA VIGA 51MPI£CARGADA ENLOSTE.ROOS OE LALUZJ

					DIMENSON	ES DE LA VIGA							
ELEMENTO	FECHA DE MOLDEO	FECHADE ROTURA	ANOtO INFERIOR	ANCHO SUPERIOR	ALTO1	ALT02	LONGITUD ENTRE CARGAS	LONGITUD ENTRE APOYOSEN LA BASE	MAXIMA CARGADE PRUEIIAKN	MAXIMA CARGADE PRUEIIA ICG	EDADEN DIAS	MODULO DE ROTURA (Kl/cm2)	TIPO DEFAUA
			Al(cm)	A2(an)	H1Ccm)	HZCcm)	1,/3	L					
CONCRETO EIABORADO CON 1% DEFIBRA DE VIDRIO SOMETIOO A 110-c	18/11/2023	02/12/2023	15.00	15.00	15.00	15.00	15.00	45.00	18.32	1868.09	14	24.91	Dentro del tercio cenlTal
CONCRETO ELABORAOO CON 1% DEFIBRA DE VIDRIO SOMETIDO A 110-C	18/11/2023	02/12/2023	15.00	15.00	15.00	15.00	15.00	45.00	19.21	1958.84	14	26.12	Dentro del tercio central
CONCRETO ELABORADO CON 1% DEFIBRA DE VIDRIO SOMETIDO A 170°C	18/11/2023	02/12/2023	15.00	15.00	15.00	15.00	15.00	45.00	17.52	1786.51	14	23.82	Dentro del tercio cenlTal
CONCRETO ELABORADO CON 1% DEFIBRA DE VIDRIO SOMETIDO A 170°C	18/11/2023	02/12/2023	15.00	15.00	15.00	15.00	15.00	45.00	20.35	2075.09	14	27.67	Dentro del tercio central
CONCRETO EIABORADO CON 1% DEFIBRA DE VIDRIO SOMETIDO A 170-C	18/11/2023	02/12/2023	15.00	15.00	15.00	15.00	15.00	45.00	19.74	2012.89	14	26.84	Dentro del tercio cenlTal
CONCRETO ELABORADO CON 1% DEFIBRA DE VIDRIO SOMETIDO A 110-C	18/11/2023	02/12/2023	15.00	15.00	15.00	15.00	15.00	45.00	18.49	1885.43	14	25.14	Dentro del tercio cenlTal
CONCRETO EIABORADO CON 1% DEFIBRA DE VIDRIO SOMETIDO A 110-c	18/11/2023	02/12/2023	15.00	15.00	15.00	15.00	15.00	45.00	17.88	1823.22	14	24.31	Dentro del tercio cenlTal
CONCRETO ELABORADO CON 1% DE FIBRA DE VIDRIO SOMETIDO A 110-C	18/11/2023	02/12/2023	15.00	15.00	15.00	15.00	15.00	45.00	20.35	2075.09	14	27.67	Dentro del tercio central
CONCRETO EIABORADO CON 1% DEFIBRA DE VIDRIO SOMETIDO A 170-C	18/11/2023	02/12/2023	15.00	15.00	15.00	15.00	15.00	45.00	19.65	2003.71	14	26.72	Dentro del tercio central
CONCRETO ELABORADO CON 1% DEFIBRA DE VIDRIO SOMETIDO A 170-C	18/11/2023	02/12/2023	15.00	15.00	15.00	15.00	15.00	45.00	19.01	1938.45	14	25.85	Dentro del tercio central
									PROMEDIC	1942.73		25.90	







METODO DE ENSAYO	PARA DETERMINAR EL MOMENTO FLECTOR (UTILIZANDO UNA VIGA SIMPLEMENTE SOPORTADA CON CARGA EN EL TERCIO DE LA LUZ)
OBRA:	TESIS: "EVALUACION DE LA RESISTENCIA A LA FLEXION SOMETIDO A ALTAS TEMPERATURAS DE VÍGAS DE CONCRETO ELABORADO CON t¾ DE FIBRA DE VIDRIO PARA UN F'C=2IOKG/CM2 E LA CIUDAD DE HUA UCO-2023"
UBICACION:	HUANUCO- HUANUCO- HUANUCO
SOLICITA:	HACH_ISIDRO SALAZAR,, ROSA(11£L ABEL
FECHA:	DICm \1BR£. DEL 2013
EQUIPO:	PRENSA DIGITAL STVE-2000 MARCA KA YZACORP

ASTM C-78 IRESISTENCIA A IA FIEXION DEL CONCRETO MITOOO DE LA VIGA SIMPLE CAILGAOA EN LOS TERCIOS OE IA LUZI

		FECHADE ROTURA			DIMENSON	ES DE LA VIGA							
ELEMENTO	FECHA DE MOLDEO		ANOtO INFERIOR	ANOtO SUPERIOR	ALTO 1	ALT02	LONGITUD ENTRECARGAS	APOVOS EN LA BASE	CARGADE	MAXIMA CARGADE PRUEBAKG	EDADEN DIAS	MODULO DE ROTURA (Ka/cm2)	TIPO DE FALLA
			A1(cm)	A2(cm)	H1(cm)	HZ(an)	L/3						
CONCRETO EIABORADO CON 1% OE FIBRA DE VIDRIO SOMETIDO A 170°C	18/11/2023	16/12/2023	15.00	15.00	15.00	15.00	15.00	45.00	29.35	2992.82	28	39.90	Dentro del tercio central
CONCRETO EIABORADO CON 1% DE FIBRA DE VIDRIO SOMETIDO A 170°C	18/11/2023	16/12/2023	15.00	15.00	15.00	15.00	15.00	45.00	26.85	2737.89	28	36.51	Dentro del tercio central
CONCRETO ELABORADO CON 1% DE FIBRA DE VIDRIO SOMETIDO A 170°C	18/11/2023	16/12/2023	15.00	15.00	15.00	15.00	15.00	45.00	28.45	2901.05	28	38.68	Dentro del tercio central
CONCRETO ELABORADO CON 1% DE FIBRA DE VIDRIO SOMETIDO A 170°C	18/11/2023	16/12/2023	15.00	15.00	15.00	15.00	15.00	45.00	30.52	31U.U	28	41.49	Dentro del tercio central
CONCRETO ELABORADO CON 1% OE FIBRA DE VIDRIO SOMETIOO A 170°C	18/11/2023	16/12/2023	15.00	15.00	15.00	15.00	15.00	45.00	26.32	2683.85	28	35.78	Dentro del tercio central
CONCRETO ELABORADO CON 1% OE FIBRA DE VIDRIO SOMETIOO A 170°C	18/11/2023	16/12/2023	15.00	15.00	15.00	15.00	15.00	45.00	28.81	2937.76	28	39.17	Dentro del tercio central
ONCRETO ELABORADO CON 1% OE FIBRA E VIDRIO SOMETIOO A 170°C	18/11/2023	16/12/2023	15.00	15.00	15.00	15.00	15.00	45.00	29.45	3003.02	28	40.04	Dentro del tercio central
ONCRETO ELABORADO CON 1% OE FIBRA E VIDRIO SOMETIOO A 170-C	18/11/2023	16/12/2023	15.00	15.00	15.00	15.00	15.00	45.00	31.01	3162.09	28	42.lti	Dentro del tercio central
ONCRETO ELABORADO CON 1% OE FIBRA E VIDRIO SOMETIDO A 170-C	18/11/2023	16/12/2023	15.00	15.00	15.00	15.00	15.00	45.00	27.48	2802.14	28	37.3ti	Dentro del tercio central
ONCRETO ELABORADO CON 1% DE FIBRA E VIDRIO SOMETIDO A 170°C	18/11/2023	16/12/2023	15.00	15.00	15.00	15.00	15.00	45.00	28.95	2952.03	28	39.36	Dentro del tercio central
									PROMEDI	2928.48		39.05	



OBSERVACIONES:

- Especimenes elaborados en el laboratoriO, segUn diseño
- Las deflexiones alcanzadas en el centro de la viga se encuentran en un rago de 3.5 4.0 mm

R= Modulo de rotura (kWcm2)

P- Maxima carga aplicada por la maquina de ensayo (Kg)

L= Longitud libre entre apoyos (cm) b= Ancho de la muestra (cm) d= Altura de la muestra (cm)



URB. SAN ANDRES MZ "C" LT "6" PILLCO MAR.CA - HUANUCO / CE.I..: MOVI.STAR: 920093390

ANEXO 3 PANEL FOTOGRÁFICO

Cuarteado del agregado grueso



Pesado de los agregados gruesos



Ensayo de granulometría del agregado grueso



Ensayo de granulometría del agregado grueso



Ensayo de granulometría del agregado grueso



Ensayo de granulometría del agregado grueso





Ensayo del peso volumétrico del agregado grueso





Ensayo del peso volumétrico del agregado grueso





Cuarteado del agregado fino





Ensayo de granulometría de los agregados finos



Ensayo de granulometría de los agregados finos



Ensayo de granulometría de los agregados finos





Ensayo del peso volumétrico de los agregados finos





Ensayo del peso volumétrico de los agregados finos



Ensayo del peso volumétrico de los agregados finos



Ensayo del peso volumétrico de los agregados finos



Ensayo de contenido de humedad



Ensayo de contenido de humedad

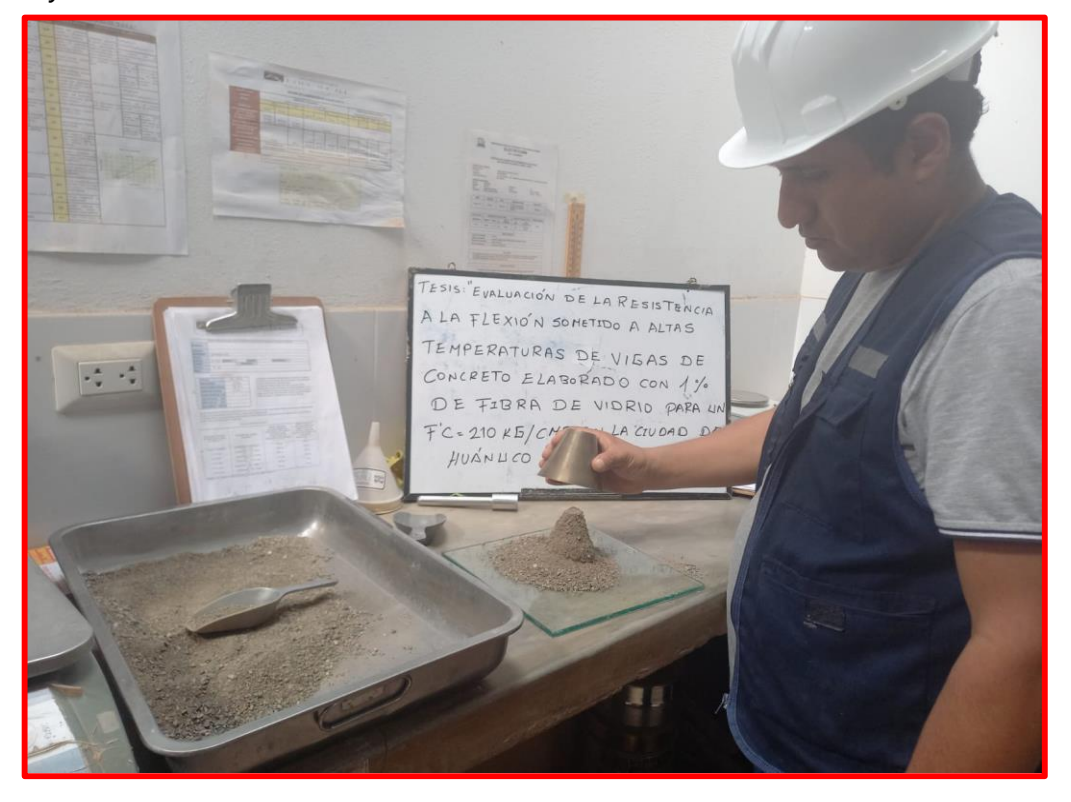




Ensayo de densidad













Ensayo de densidad





Ensayo de desgaste de los ángeles



Ensayo de desgaste de los ángeles



Cuantificación de materiales



Ensayo de rotura a flexión



Ensayo de rotura a flexión



Ensayo de rotura a flexión



Ensayo de rotura a flexión



Ensayo de rotura a flexión



Ensayo de rotura a flexión

